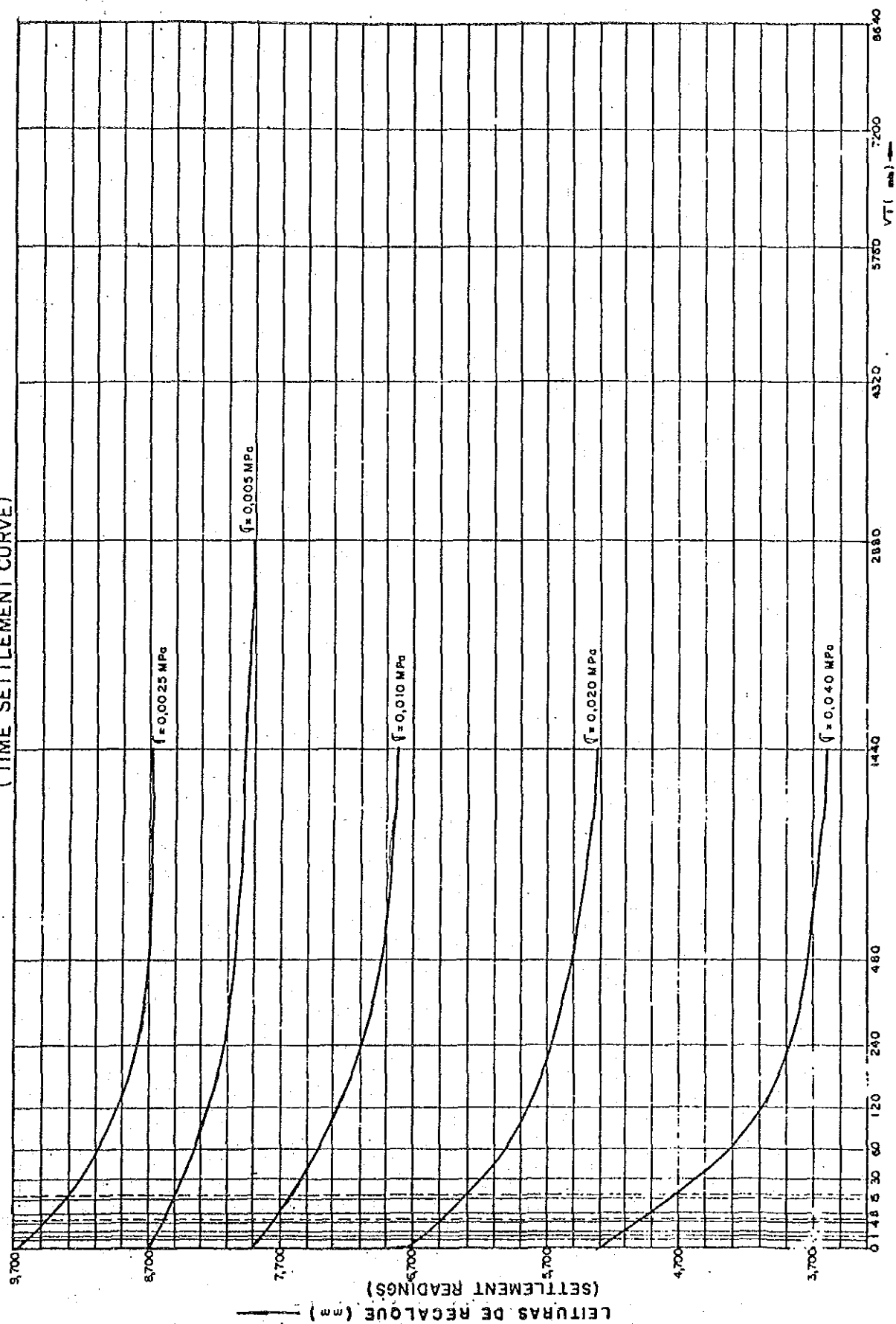
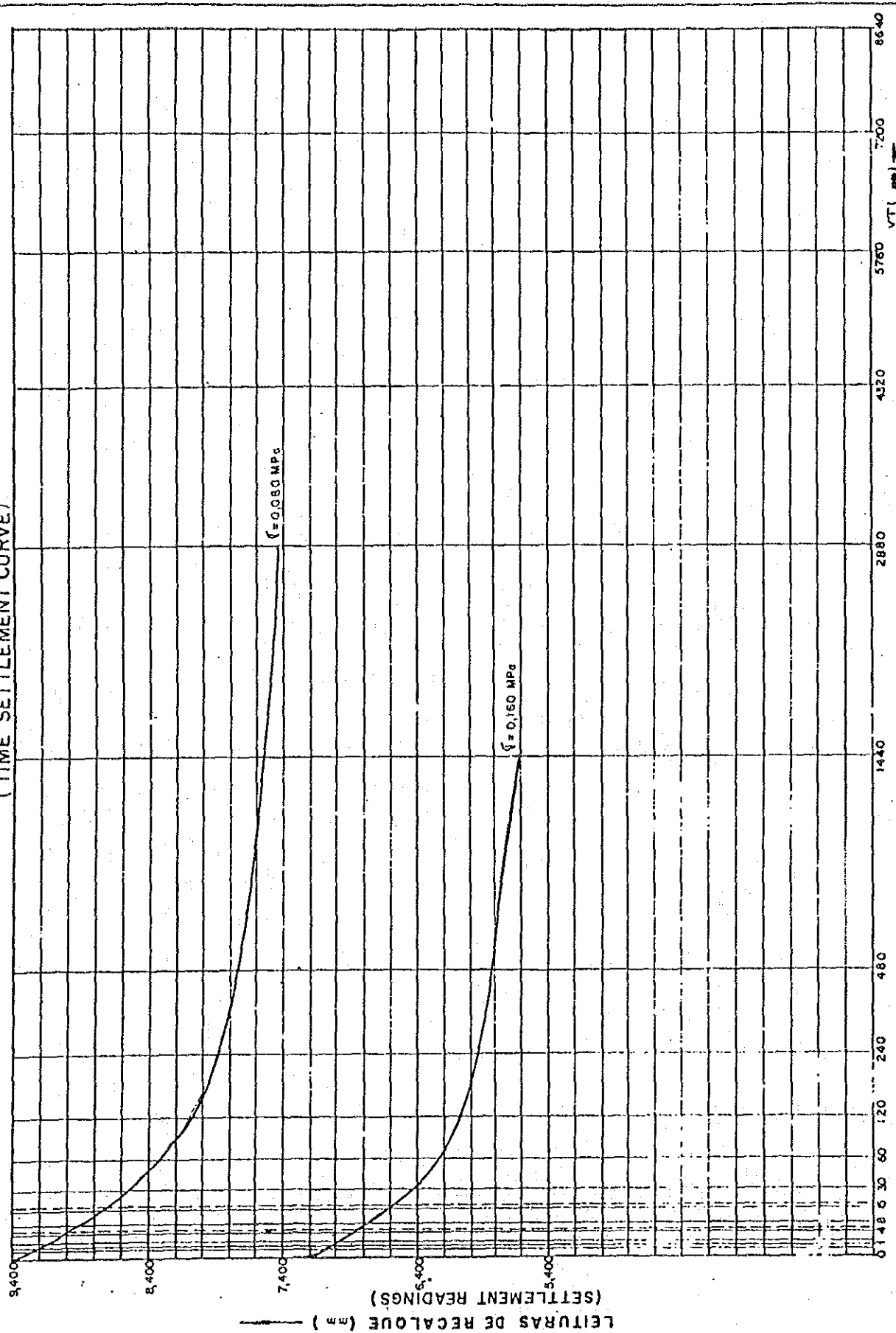


# CURVA TEMPO - RECALQUE (TIME SETTLEMENT CURVE)



Site : Floodway Route to Piçarras Coast (Fp-4)

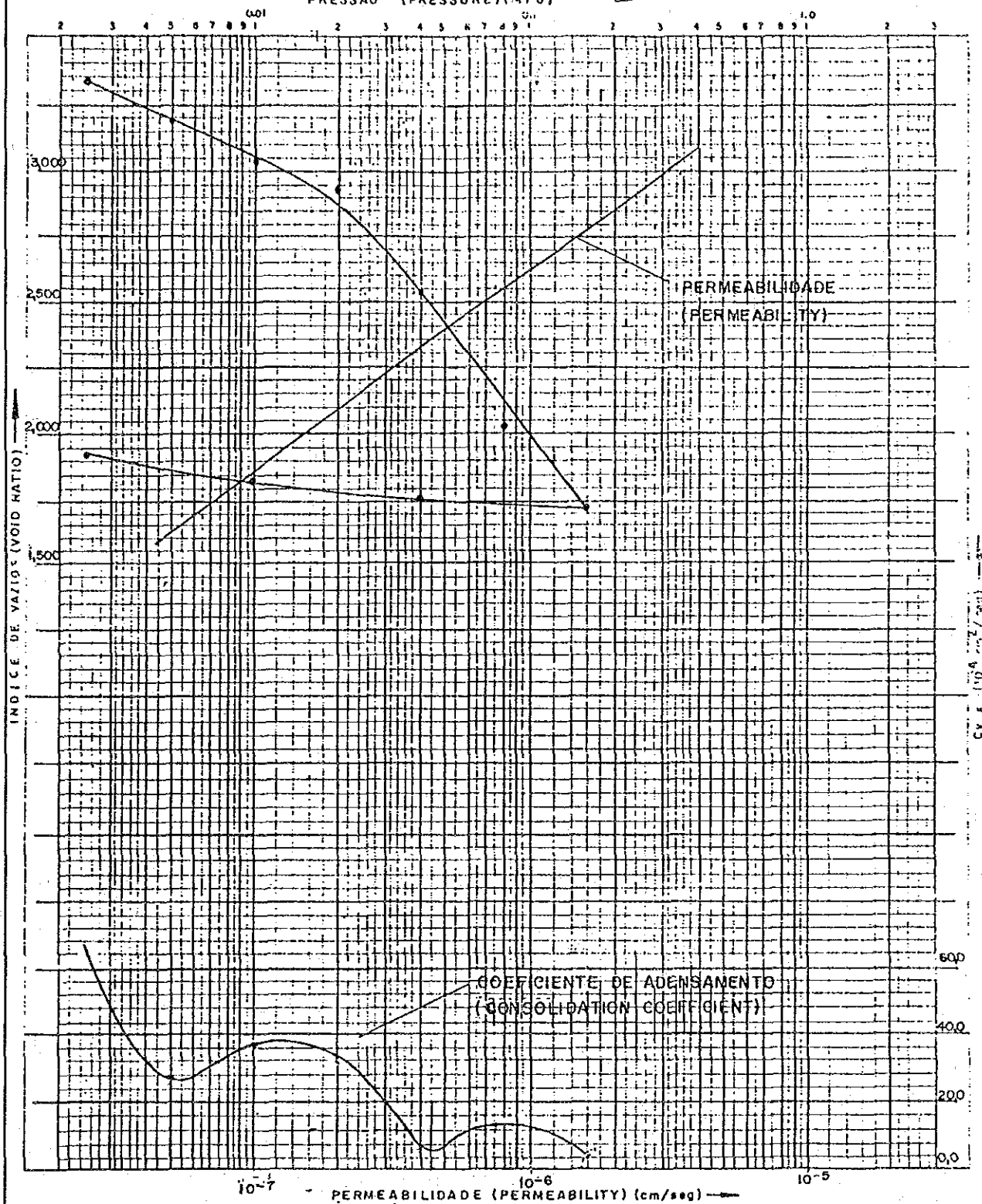
CURVA TEMPO - RECALQUE  
(TIME SETTLEMENT CURVE)



Site : Floodway Route to Piçarras Coast (Fp-4)

# ENSAIO DE ADENSAMENTO — (CONSOLIDATION TEST)

PRESSÃO (PRESSURE) (MPa)



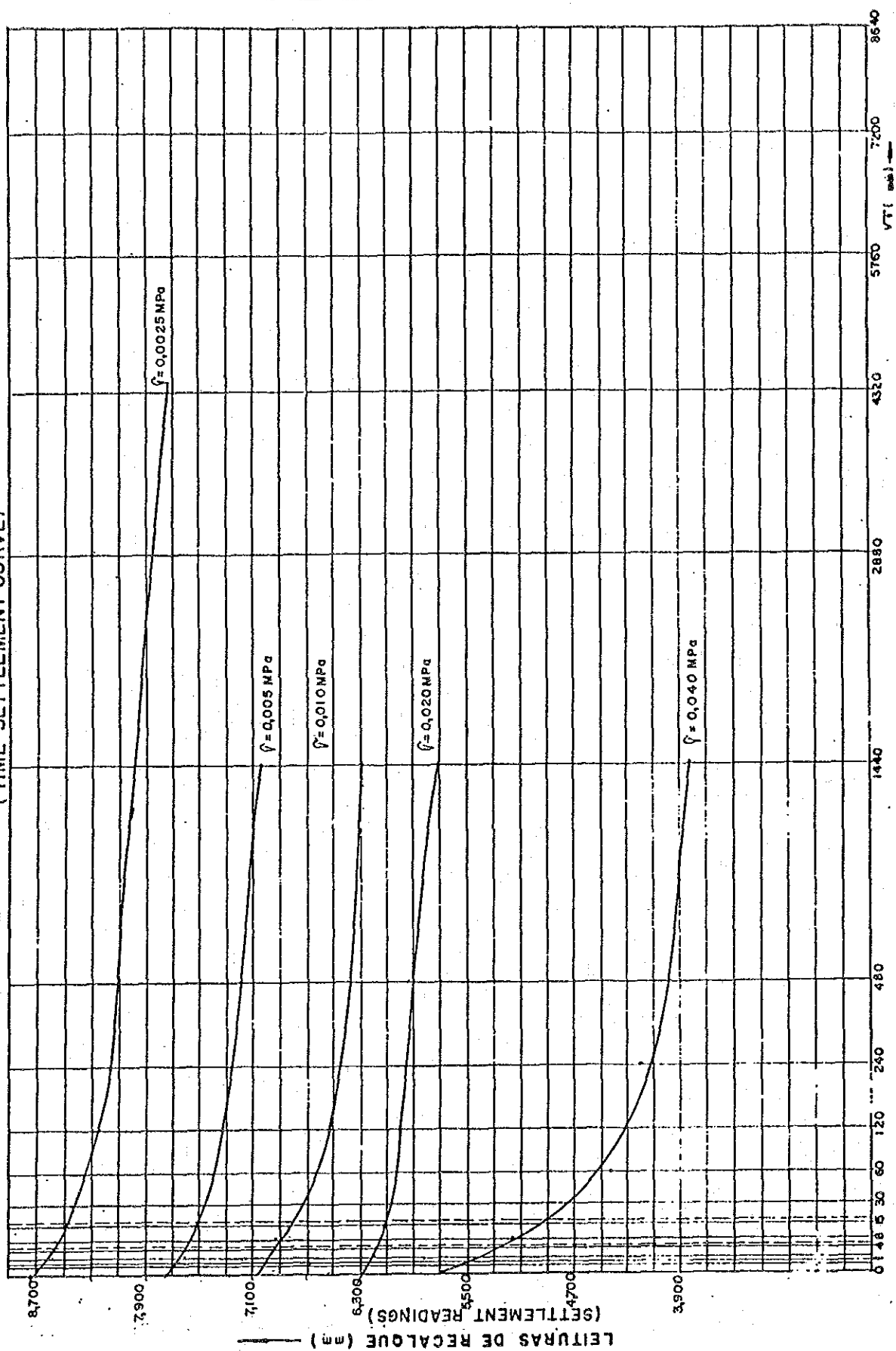
FURO (BORING): FP-6

AMOSTRA (SAMPLE): 2

PROF. (m) (DEPTH): 2,00 - 3,00

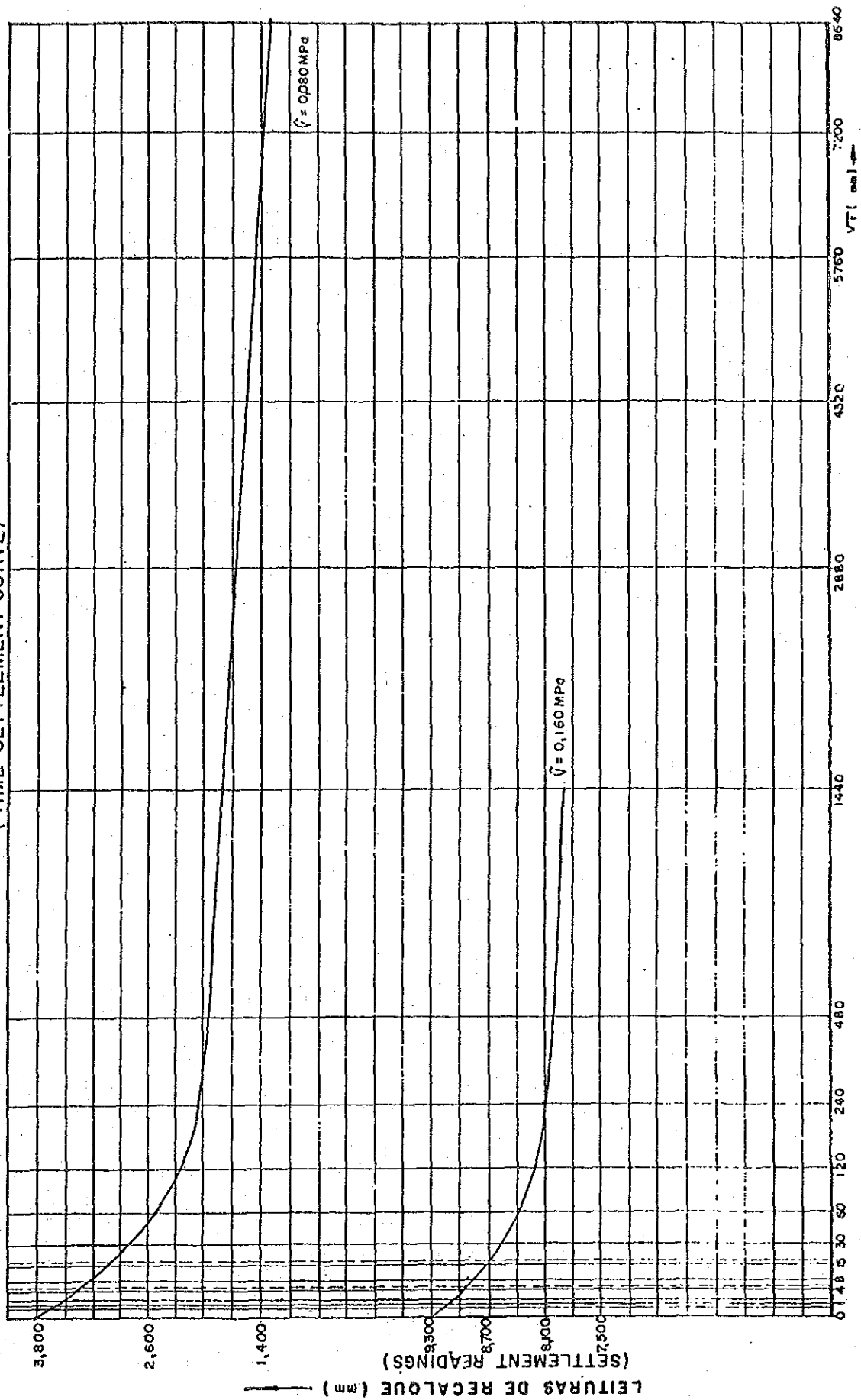
Pré-adensamento (Pre-consolidation)	{	Pressão (MPa) (Pressure): 0,068
Índice de (Index of)		Índice de vazios (Void Ratio): 2,948
	{	Compressão (Compression): 0,848
		Vazios inicial (Initial Void Ratio): 3,542
		Expansão (Expansion): 0,102

CURVA TEMPO -- RECALQUE  
(TIME SETTLEMENT CURVE)



Site : Floodway Route to Piçarras Coast (Fp-6)

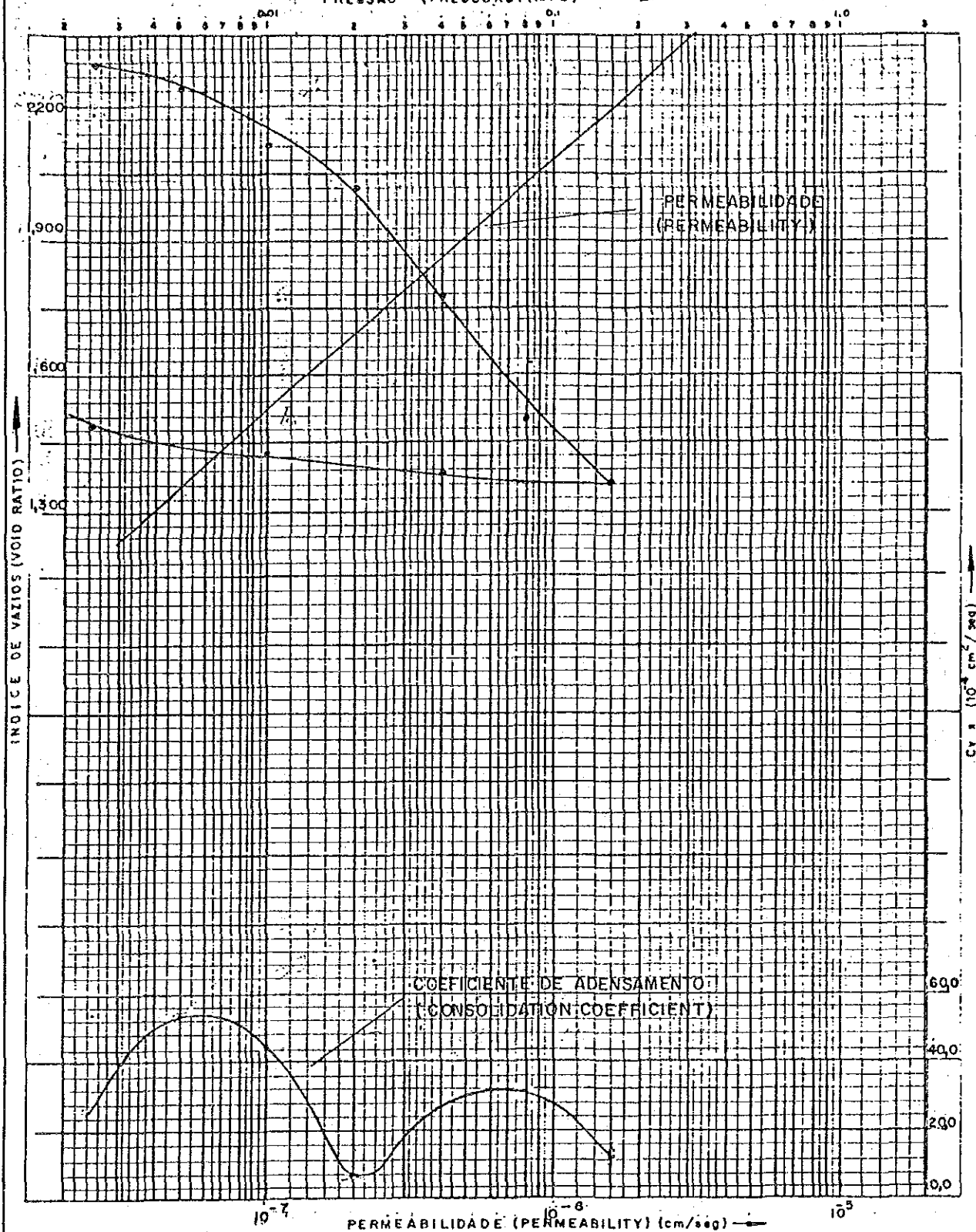
# CURVA TEMPO - RECALQUE (TIME SETTLEMENT CURVE)



Site : Floodway Route to Piçarras Coast (Fp-6)

# ENSAIO DE ADENSAMENTO — (CONSOLIDATION TEST)

PRESSÃO (PRESSURE) (MPa)



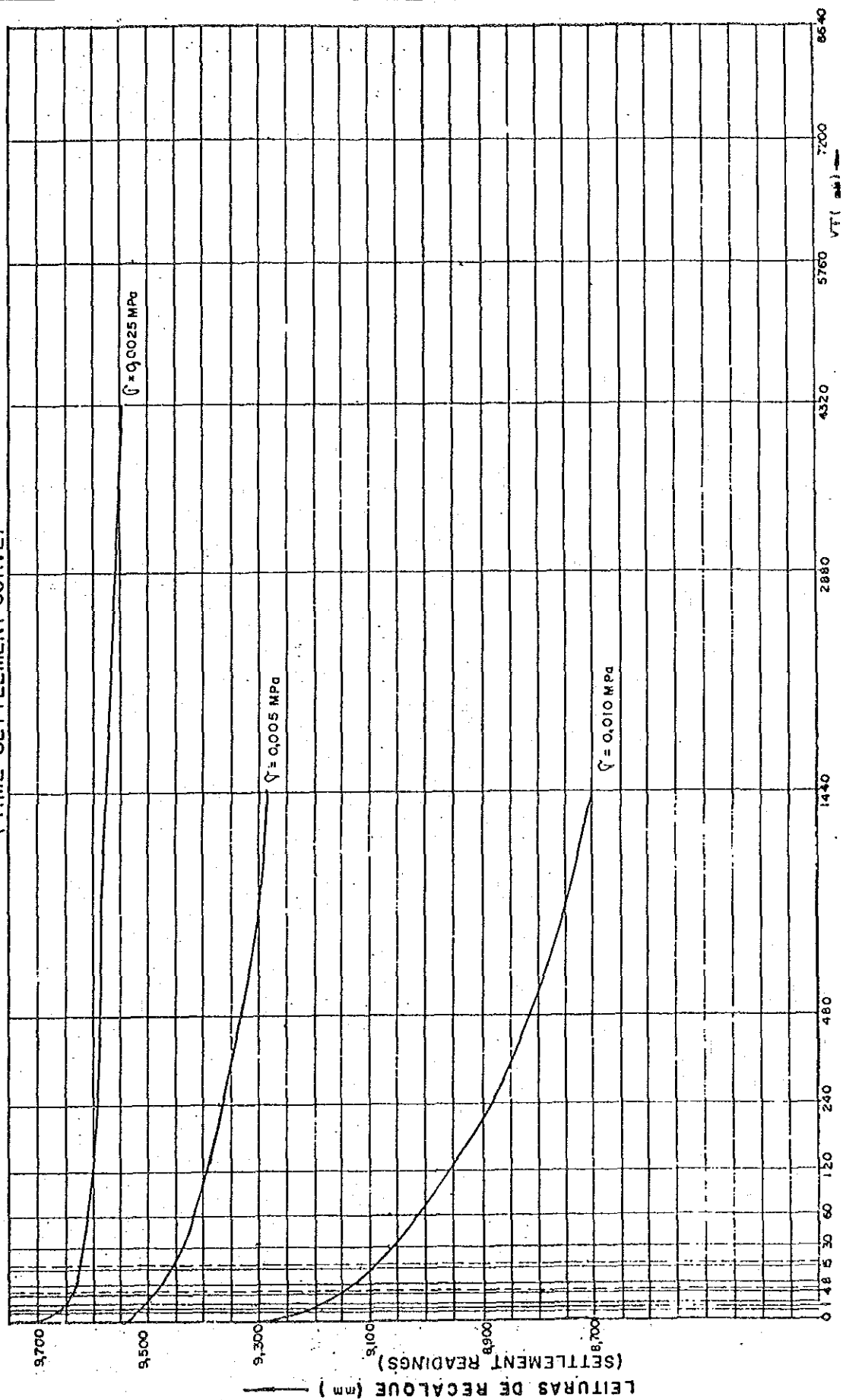
FURO (BORING): PP-8

AMOSTRA (SAMPLE): 1

PROF. (m) (DEPTH): 2,50 — 3,50

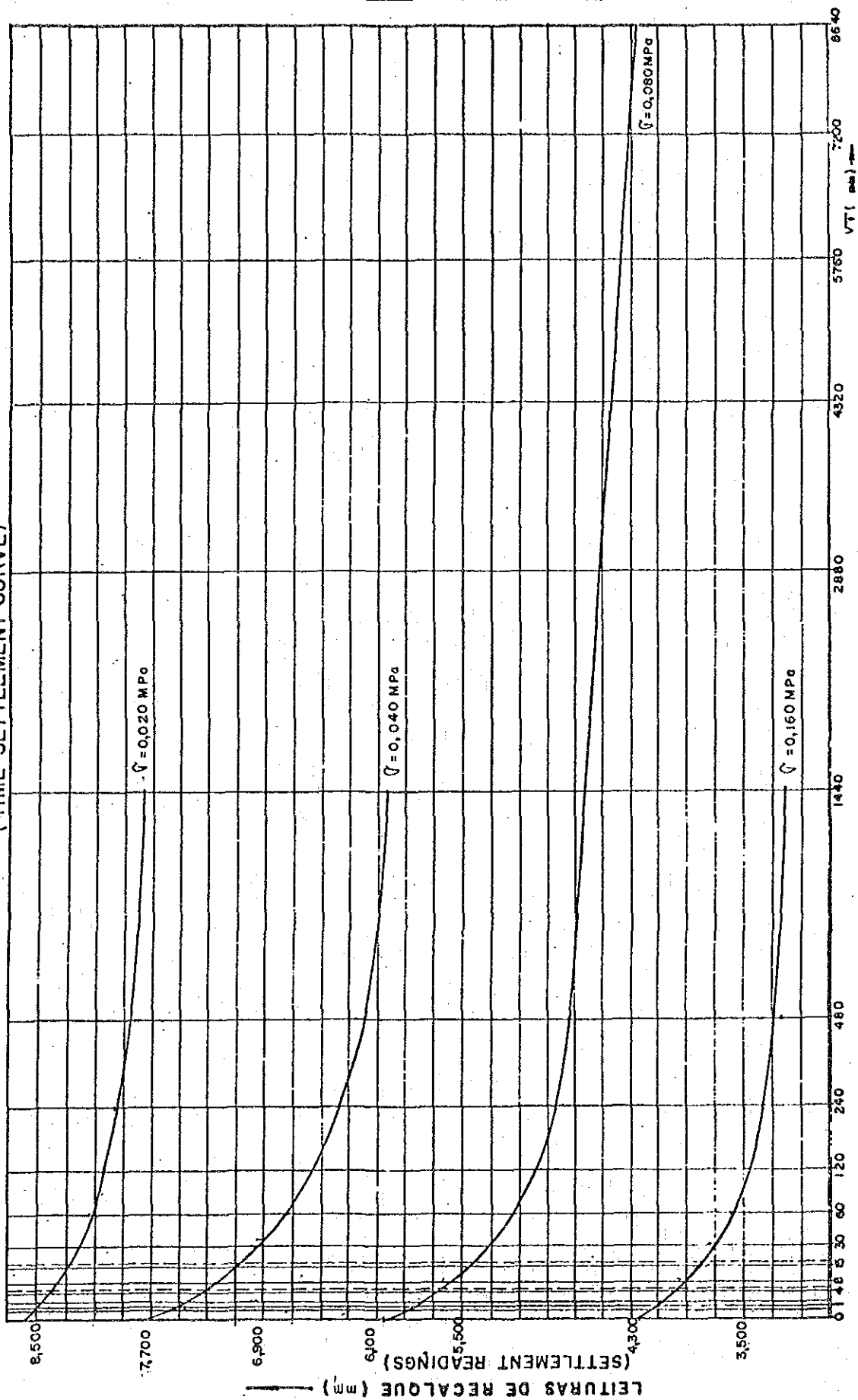
Pré-adensamento (Pre-consolidation)	{	Pressão (MPa) (Pressure): 0,023
Índice de (Index of)		Índice de vazios (Void Ratio): 2,125
	{	Compressão (Compression): 0,645
		Vazios Inicial (Initial Void Ratio): 2,314
		Expansão (Expansion): 0,060

# CURVA TEMPO - RECALQUE (TIME SETTLEMENT CURVE)



Site : Floodway Route to Piçarras Coast (Fp-8)

CURVA TEMPO - RECALQUE  
(TIME SETTLEMENT CURVE)

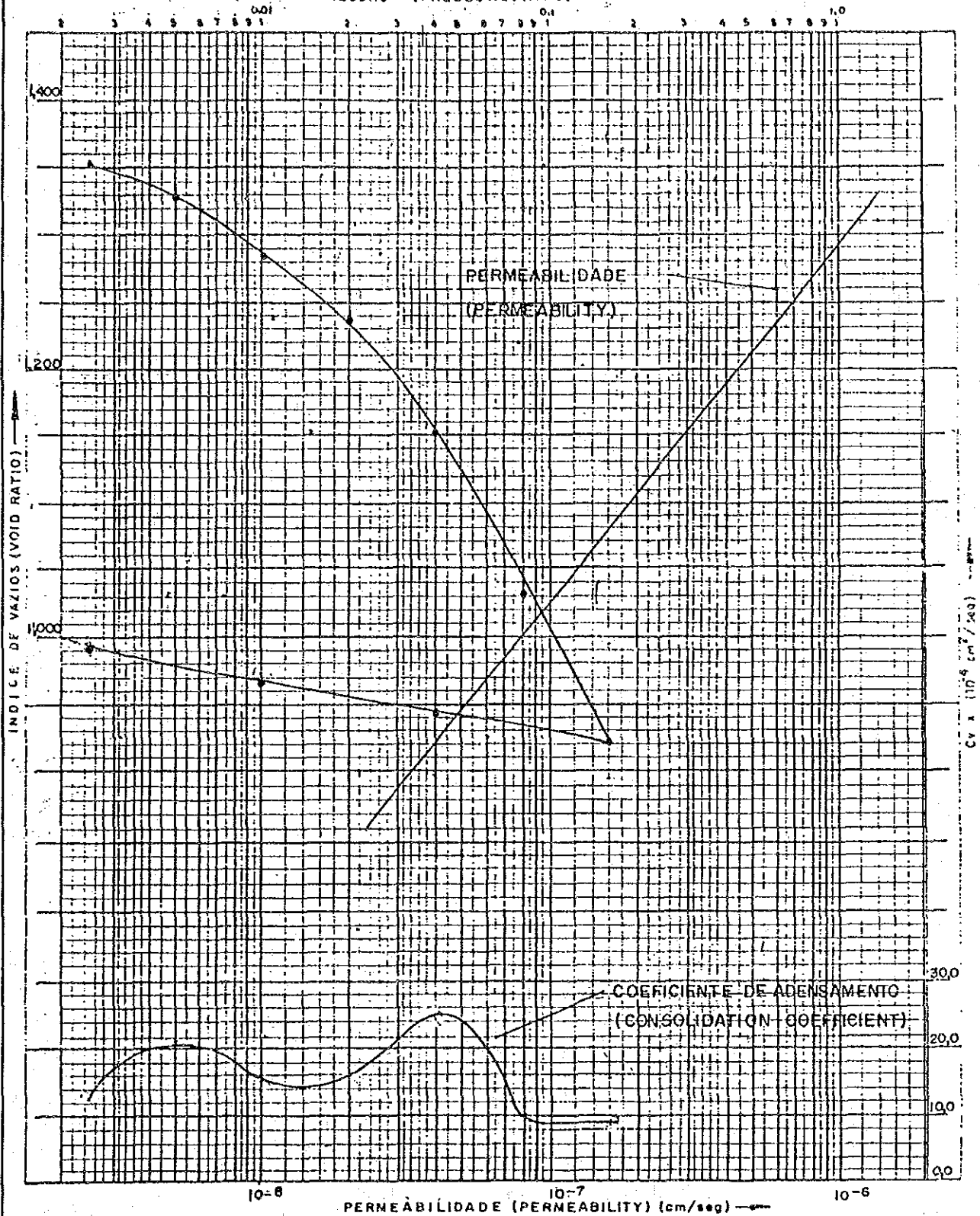


Site : Floodway Route to Piçarras Coast (Fp-8)



# ENSAIO DE ADENSAMENTO — (CONSOLIDATION TEST)

PRESSÃO (PRESSURE) (MPa)



FURO (BORING): FP-8

AMOSTRA (SAMPLE): 2

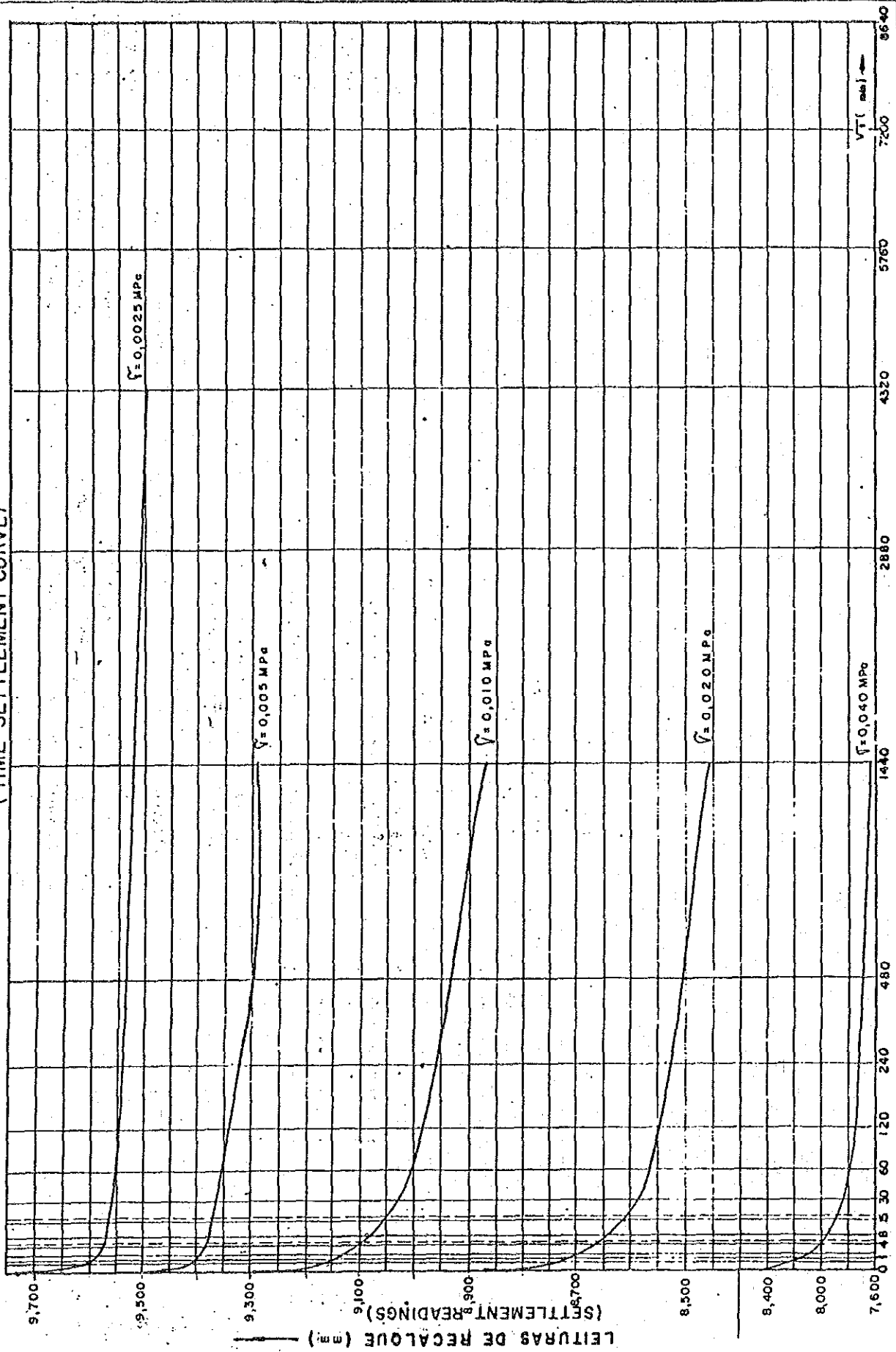
PROF. (m) (DEPTH): 10,00 — 11,00

Pré-adensamento  
(Pre-consolidation)

Índice de  
(Index of)

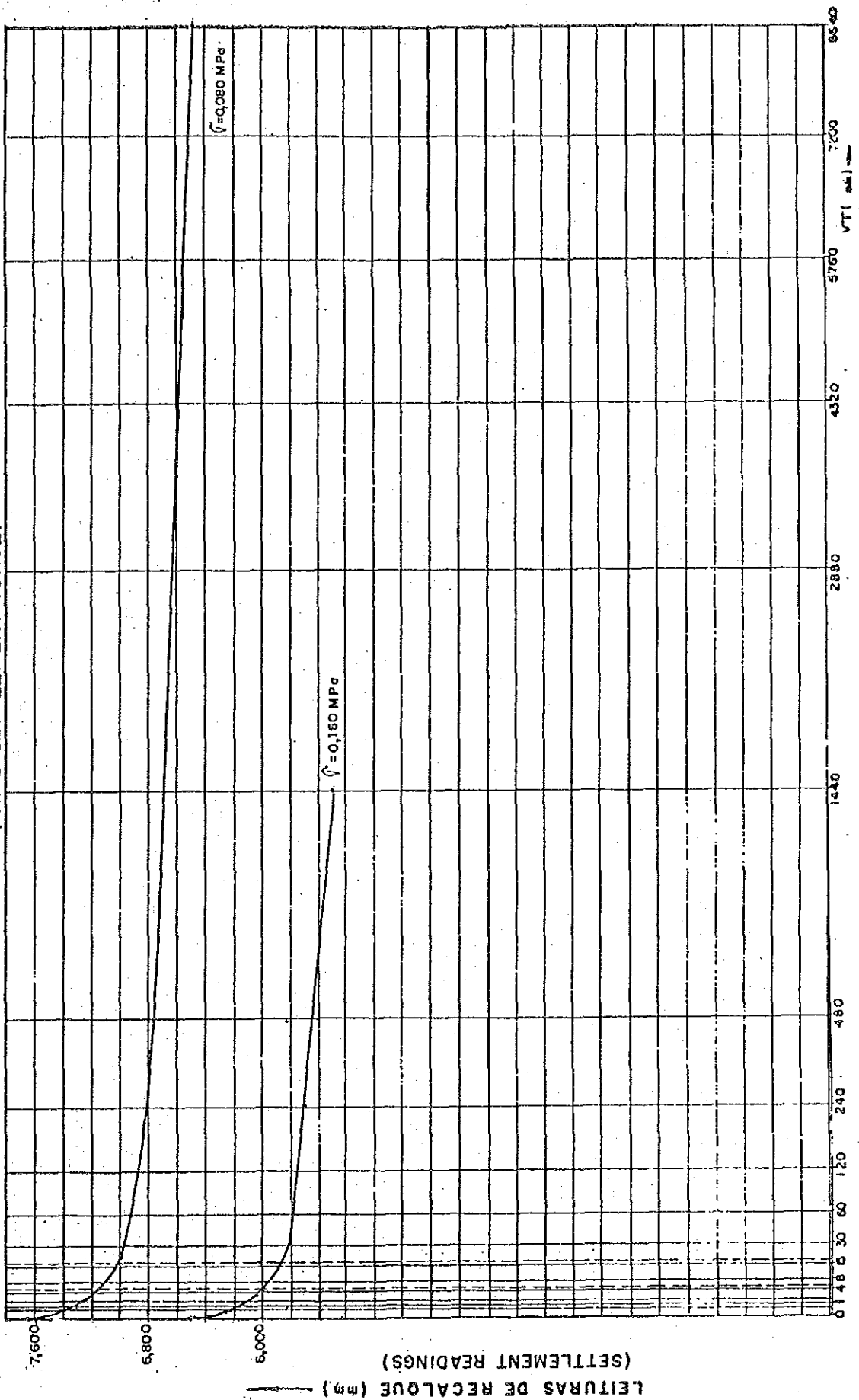
Pressão (MPa) (Pressure): 0,037  
Índice de vazios (Void Ratio): 1,189  
Compressão (Compression): 0,360  
Vazios inicial (Initial Void Ratio): 1,377  
Expansão (Expansion): 0,041

CURVA TEMPO - RECALQUE  
(TIME SETTLEMENT CURVE)



Site : Floodway Route to Piçarras Coast (Fp-8)

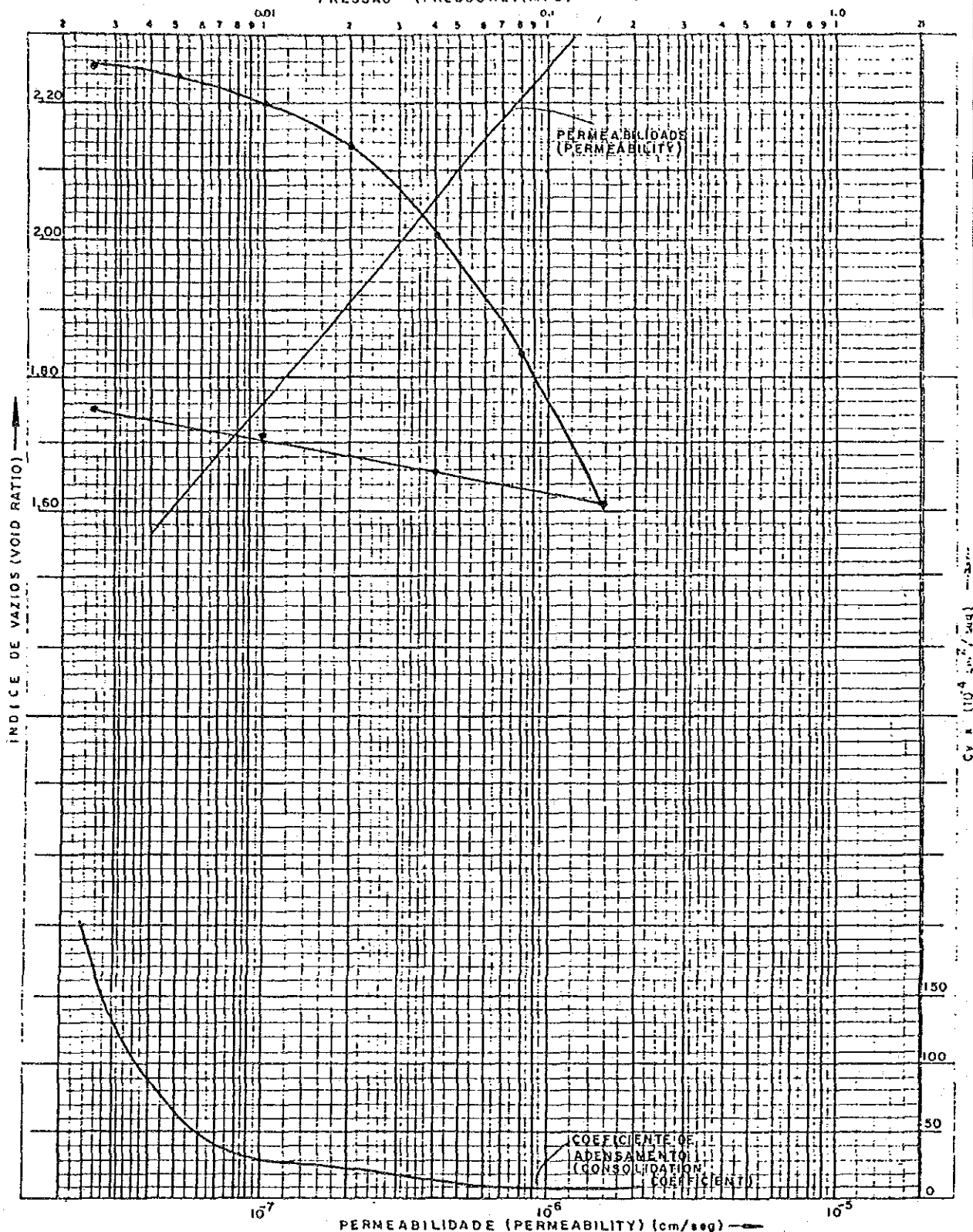
CURVA TEMPO — RECALQUE  
(TIME SETTLEMENT CURVE)



Site : Floodway Route to Piçarras Coast (Fp-8)

# ENSAIO DE ADENSAMENTO — (CONSOLIDATION TEST)

PRESSÃO (PRESSURE) (MPa)



FURO (BORING): Fd-1

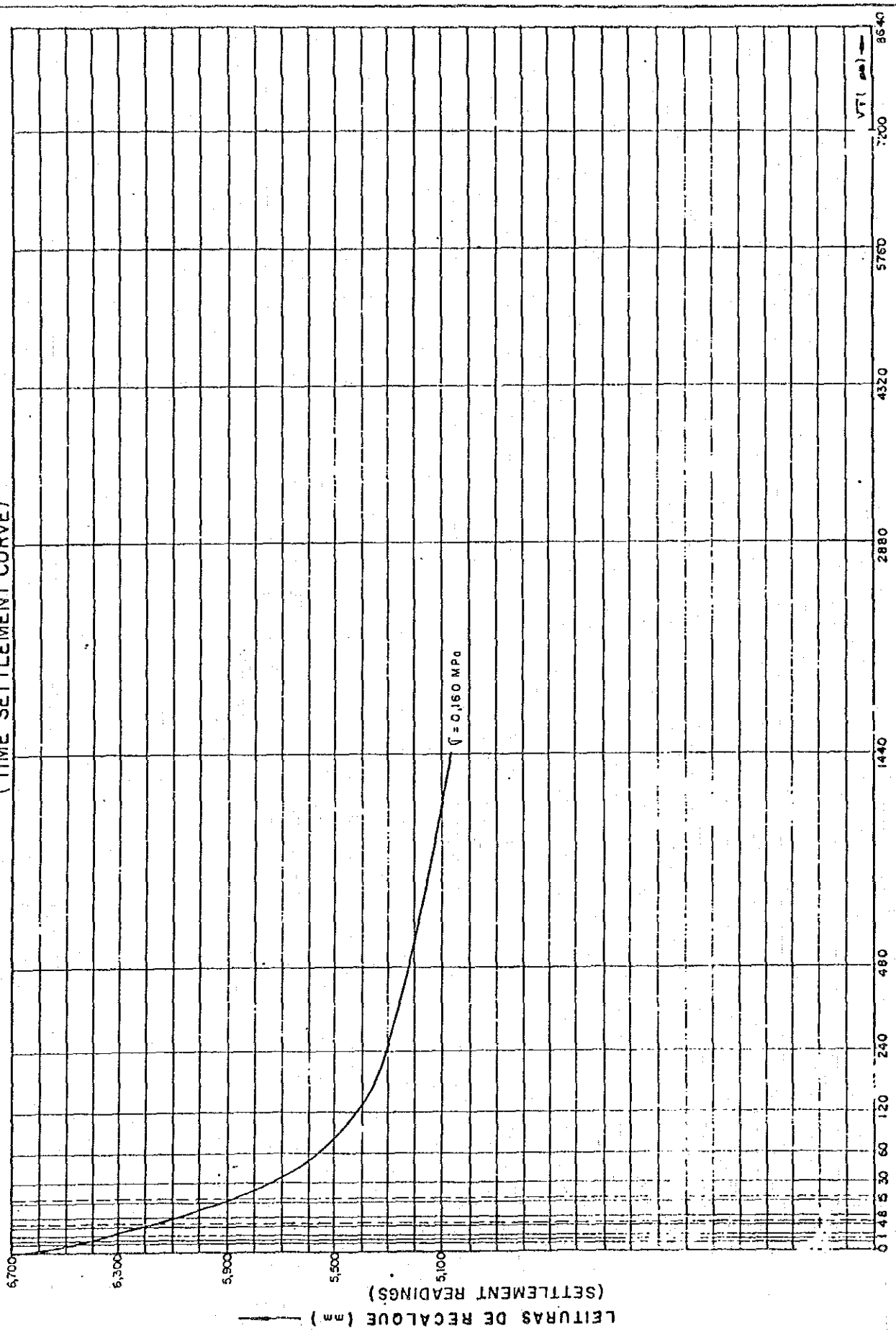
AMOSTRA (SAMPLE): -

PROF. (m) (DEPTH): 3,50-4,50

Pré-adensamento (Pre-consolidation)	{	Pressão (MPa) (Pressure): 0,038
Índice de (Index of)		Índice de vazios (Void Ratio): 2,110
	{	Compressão (Compression): 0,798
		Vazios inicial (Initial Void Ratio): 2,263
		Expansão (Expansion): 0,080



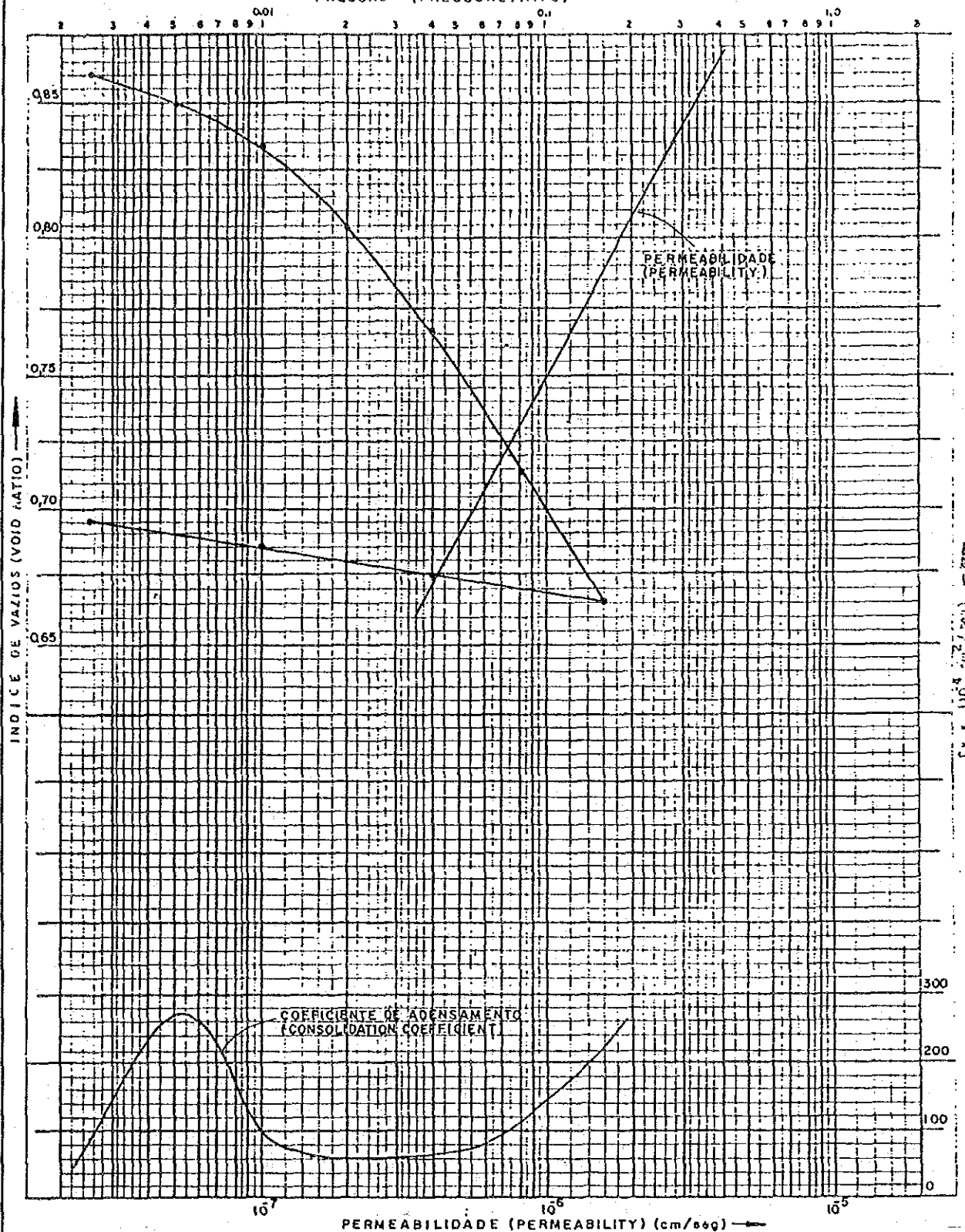
CURVA TEMPO - RECALQUE  
(TIME SETTLEMENT CURVE)



Site : Floodway Route to Navegantes Coast (Fa-1)

# ENSAIO DE ADENSAMENTO — (CONSOLIDATION TEST)

PRESSÃO (PRESSURE) (MPa)



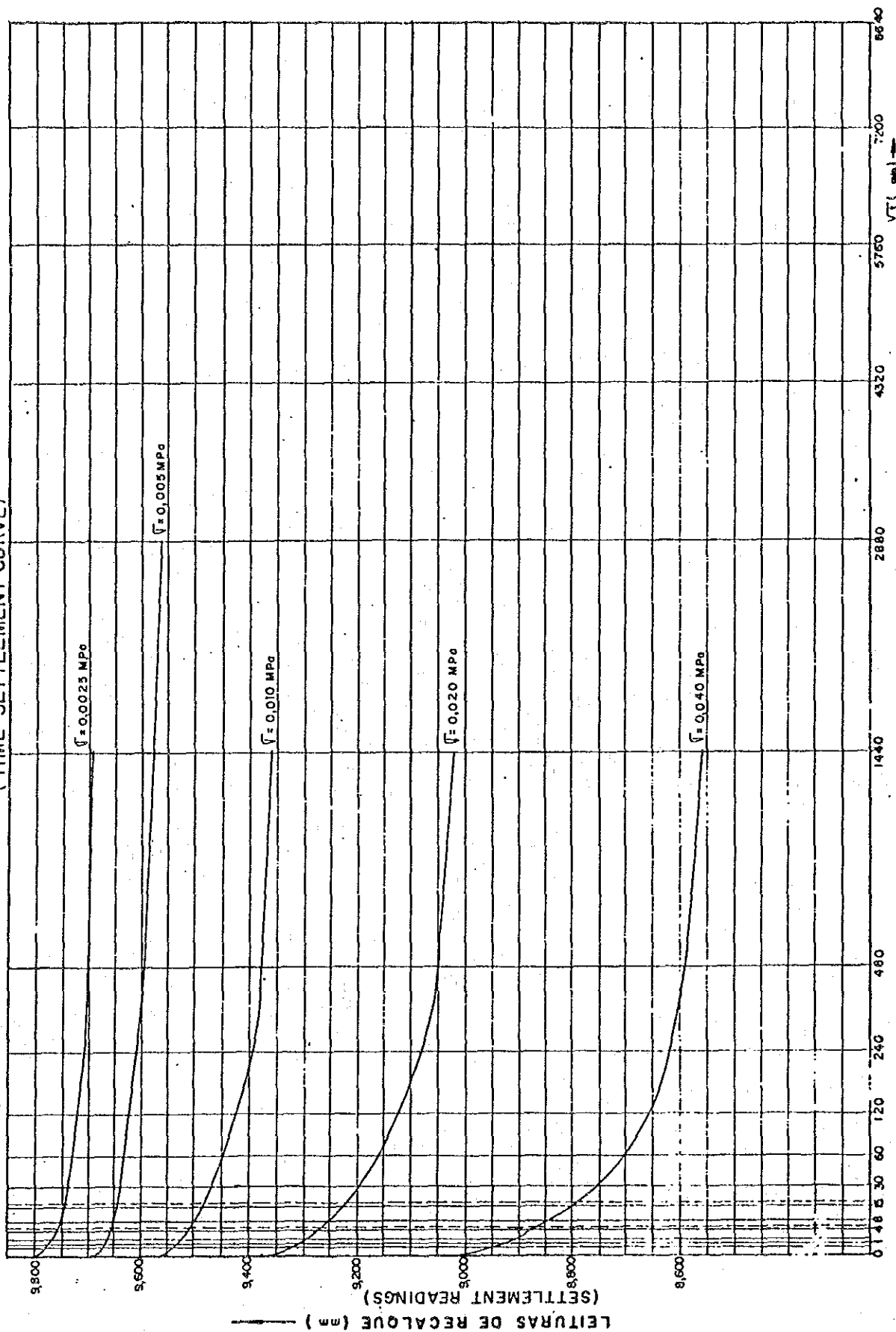
FURO (BORING): Fa-2

AMOSTRA (SAMPLE): 1

PROF (m) (DEPTH): 5,00-6,00

Pré-adensamento (Pre-consolidation)	{	Pressão (MPa) (Pressure): 0,020
Índice de vazios (Void Ratio): 0,815		
Índice de (Index of)	{	Compressão (Compression): 0,165
		Vazios inicial (Initial Void Ratio): 0,869
		Expansão (Expansion): 0,018

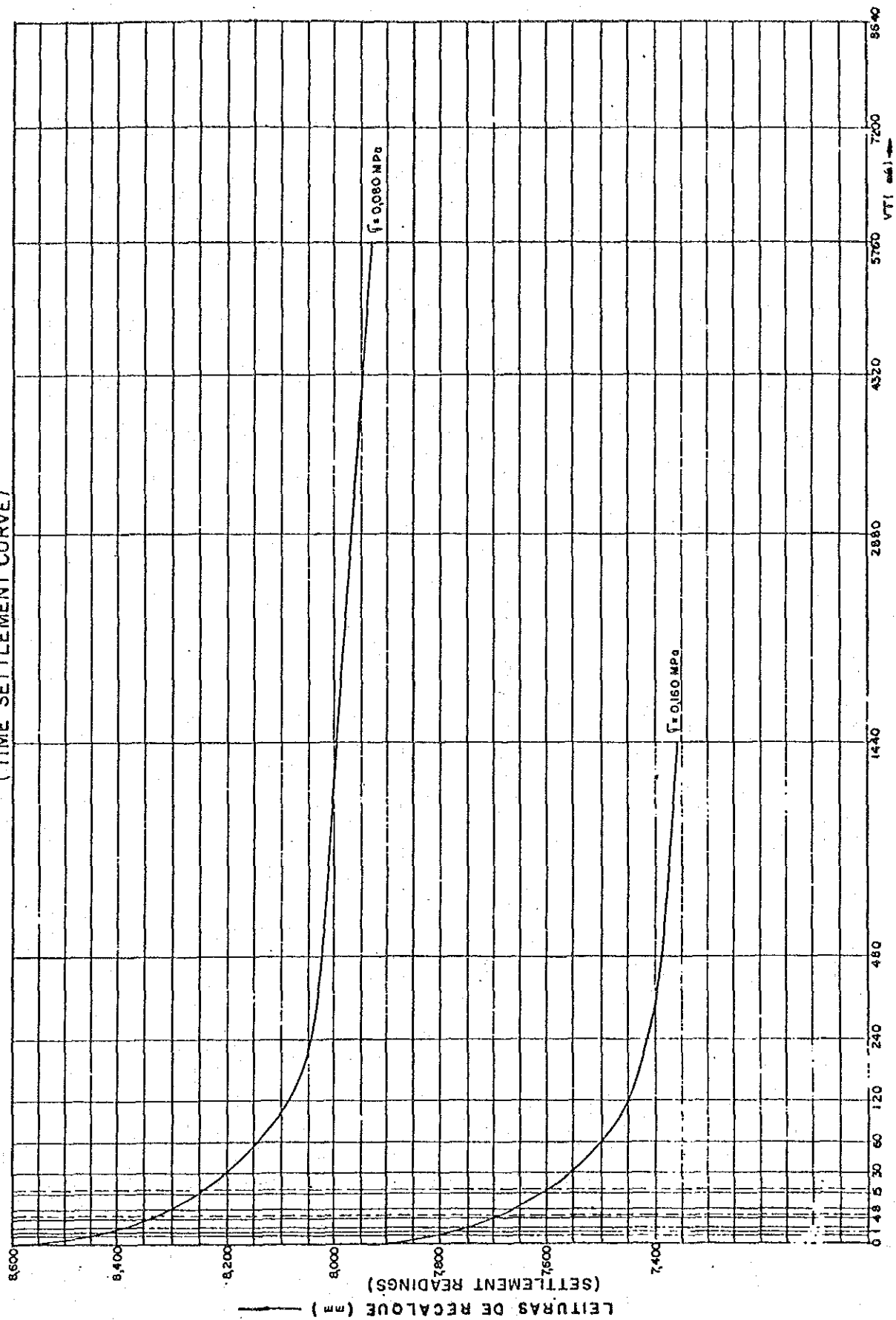
# CURVA TEMPO - RECALQUE (TIME SETTLEMENT CURVE)



Site : Floodway Route to Navegantes Coast (Pa-2)



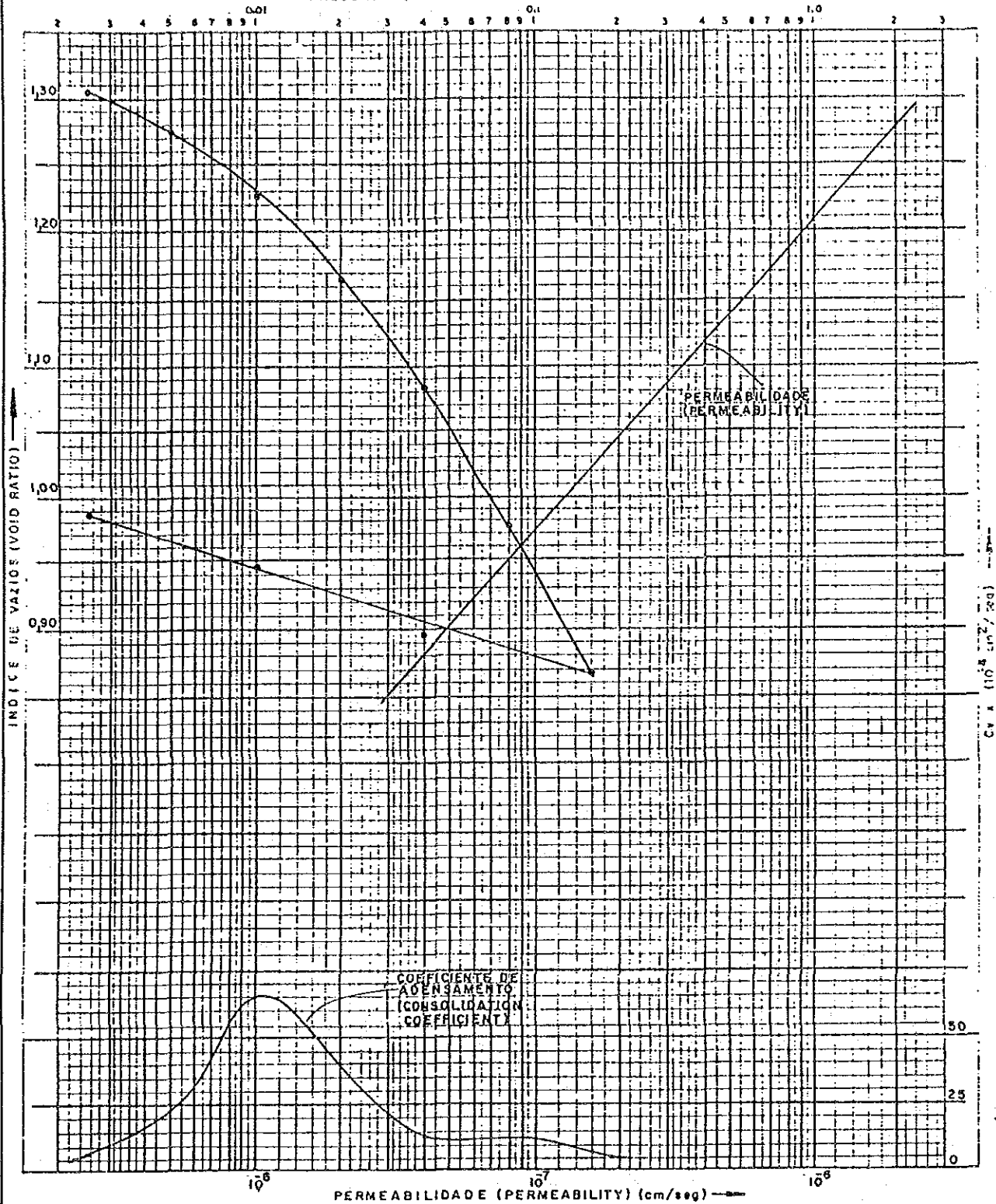
CURVA TEMPO - RECALQUE  
(TIME SETTLEMENT CURVE)



Site : Floodway Route to Navegantes Coast (Fa-2)

# ENSAIO DE ADENSAMENTO — (CONSOLIDATION TEST)

PRESSÃO (PRESSURE) (MPa)



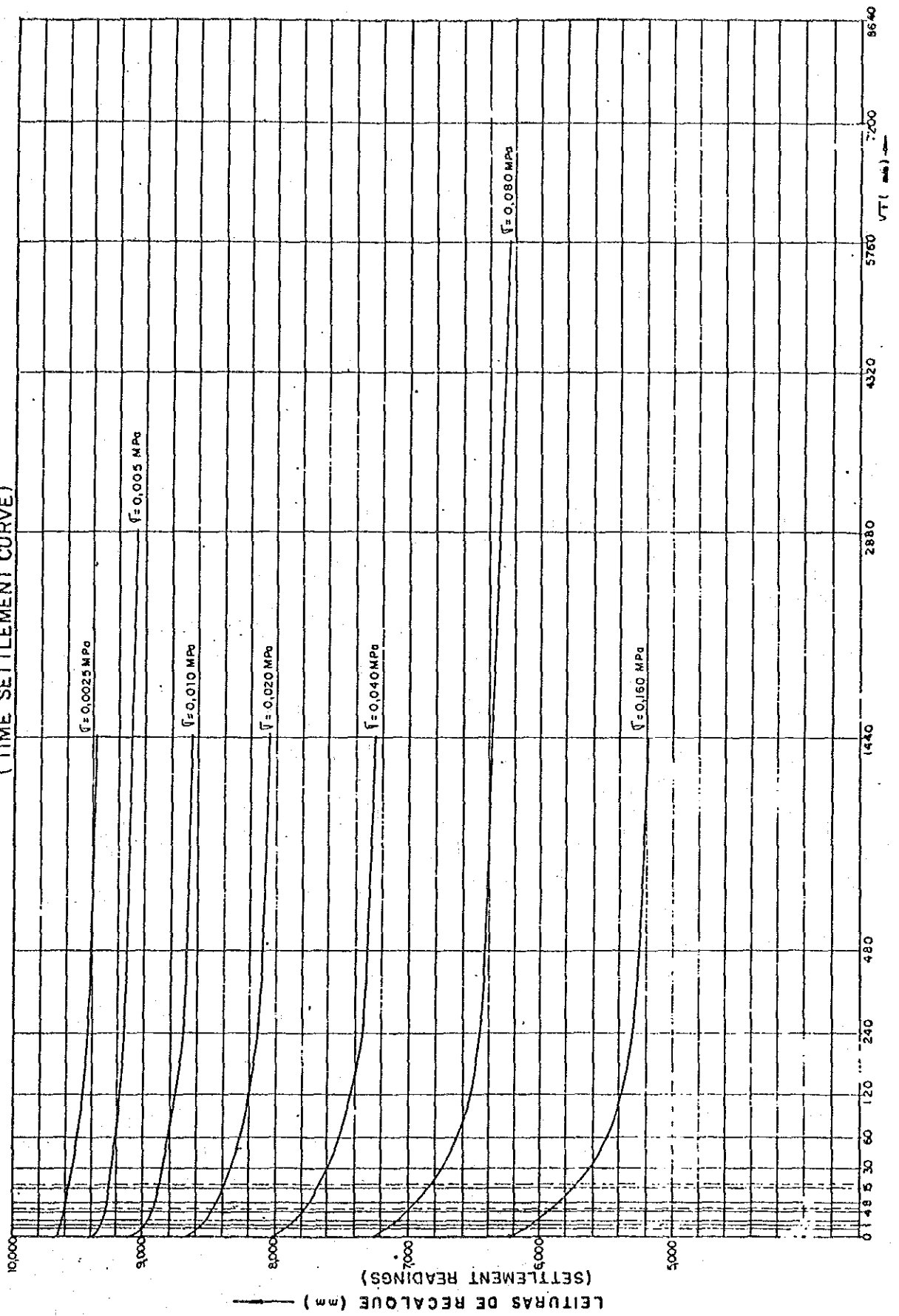
FURO (BORING): F0-3

AMOSTRA (SAMPLE): 1

PROF. (m) (DEPTH): 9,00-10,00

Pré-adensamento (Pre-consolidation)	{	Pressão (MPa) (Pressure): 0,020
Índice de (Index of)		Índice de vazios (Void Ratio): 1,190
	{	Compressão (Compression): 0,360
		Vazios Inicial (Initial Void Ratio): 1,334
		Expansão (Expansion): 0,067

CURVA TEMPO - RECALQUE  
(TIME SETTLEMENT CURVE)



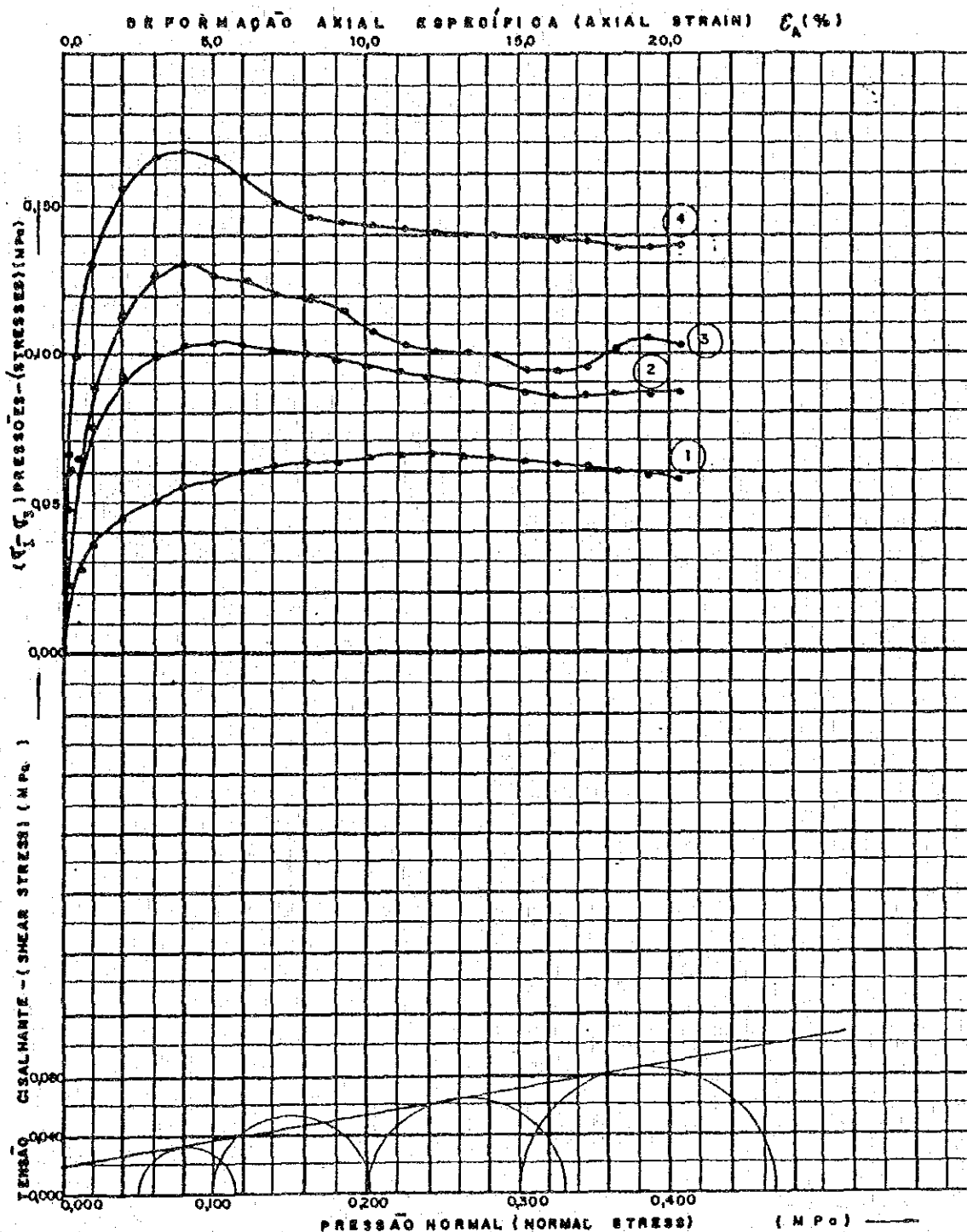
Site : Floodway Route to Navegantes Coast (Fa-3)



### ***B.3 Triaxial Compression Test***



## ( TRIAXIAL COMPRESSION TEST )


$$(d_1) \approx 4,93 \text{ cm}$$
$$\{h_1\} \approx 9,97 \text{ cm}$$

Velocidade Axial  $1,465 \times 10^2$  mm/s  
(Axial Velocity)

C. P.	$T_{H1}$ (K <sub>0</sub> M)	$n_1$ (%)	$\phi_1$	$\theta_1$ (%)	$\sigma_0$ (MPa)	$(\sigma_{2M})$ (MPa)	$(\sigma_{3M})$ (MPa)	$(\sigma_{11})$ (MPa)	$(\sigma_{12})$ (MPa)	$(\epsilon_{11})$ (%)	(UM (MPa)
1	1.504	83.2	2.11	101	-	0.030	-	-	0.065	10.14	-
2	1.623	64.6	1.59	104	-	0.100	-	-	0.103	5.06	-
3	1.538	77.1	1.94	102	-	0.200	-	-	0.130	4.08	-
4	1.725	48.8	1.22	104	-	0.300	-	-	0.167	4.09	-

COMPRESSÃO TRIAXIAL  
(TRIAxIAL COMPRESSIOn)

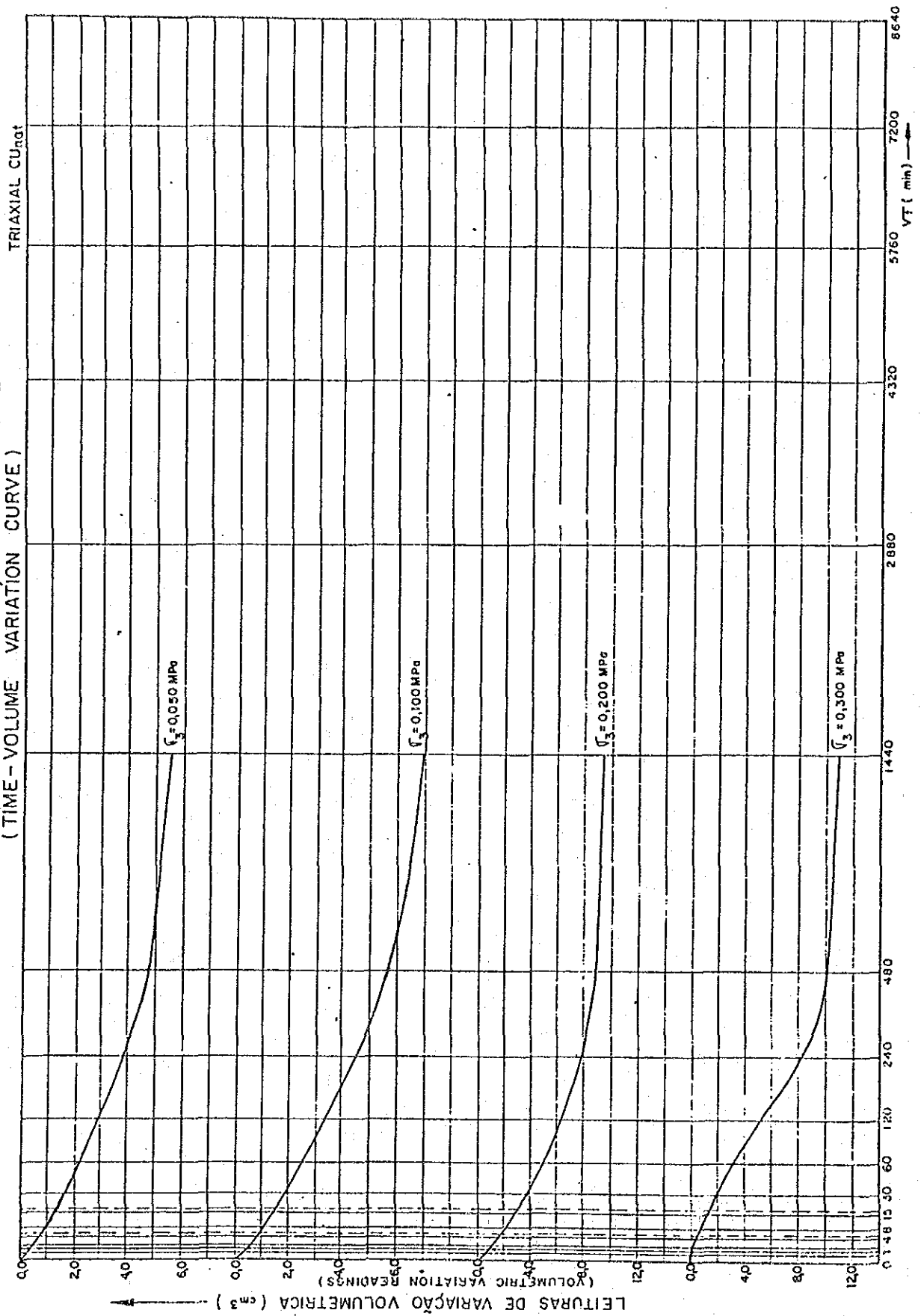
Tipo (Type) Adensado rápido  
(Quick consolidated)  
Amostra (Sample) Natural

Umidade (Water Content) Natural.  
C = 0.019 ( M P a )

10

Client (Client)	JICA	Pure (Boring) W-1	Prof. (Depth) 14.00 14.50 m	Des. (Dr'gby) <i>[Signature]</i>	Des. (Drawn) 22.8.22	Ref.
Local (Site)	SITE W - GATED OVERFLOW WEIR SITE	Anastre (Sample) --	Dtd (Date) 18/01/89	Eng. <i>[Signature]</i>	Appr. (Check'd by) <i>[Signature]</i>	PR-SC 608

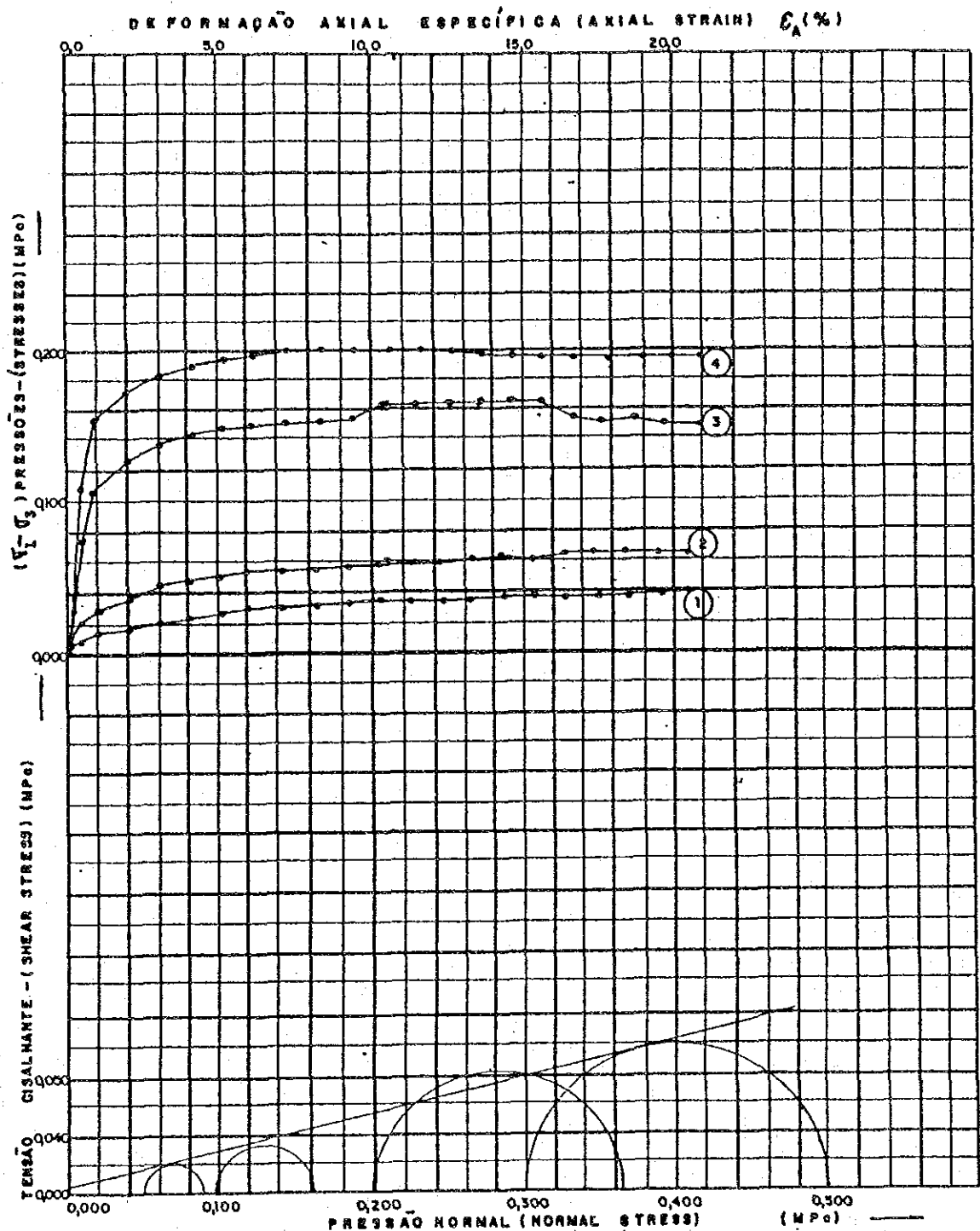
# CURVA TEMPO - VARIAÇÃO DE VOLUME (TIME - VOLUME VARIATION CURVE)



Site : Gated Overflow Weir Site (W-1)



( TRIAXIAL COMPRESSION TEST )



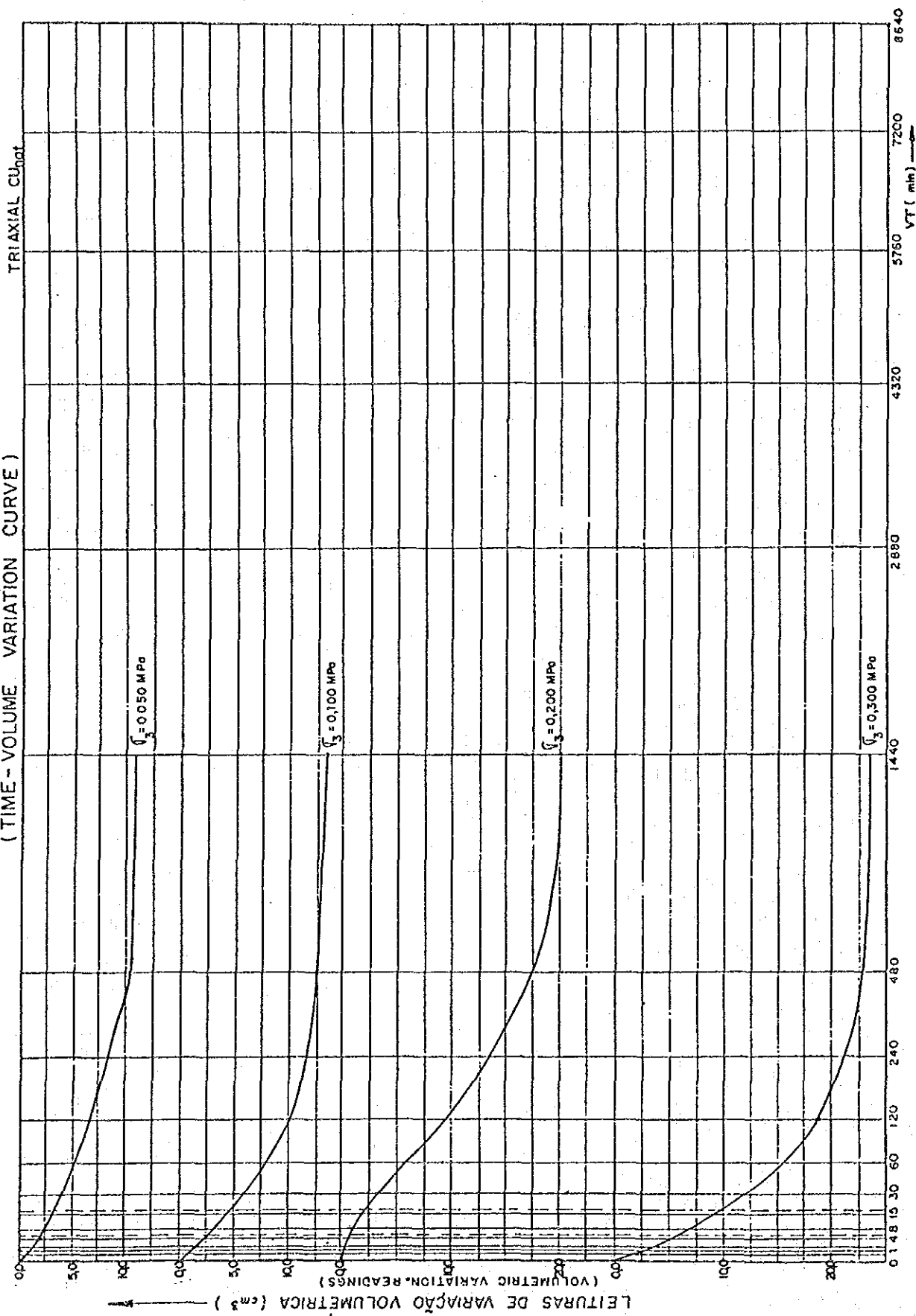
C.P.	$\bar{\sigma}_1$ (Kg/cm <sup>2</sup> )	$h_1$ (%)	$e_1$	$s_1$ (%)	$\bar{\sigma}_c$ (MPa)	$\bar{\sigma}_{3H}$ (MPa)	$\bar{\sigma}_{3H}$ (MPa)	$\bar{\sigma}_{3H}$ (MPa)	$\bar{\sigma}_{3H}$ (MPa)	$\epsilon_{AH}$ (%)	UX (MPa)
1	1.613	102,3	2,27	117	0,050	0,050	-	-	0,040	20,49	-
2	1.565	97,2	2,28	111	0,100	0,100	-	-	0,062	14,53	-
3	1.635	97,4	2,10	121	0,200	0,200	-	-	0,155	10,45	-
4	1.637	94,8	2,09	118	0,300	0,300	-	-	0,201	8,44	-

COMPRESSÃO TRIAXIAL  
(TRIAXIAL COMPRESSION)

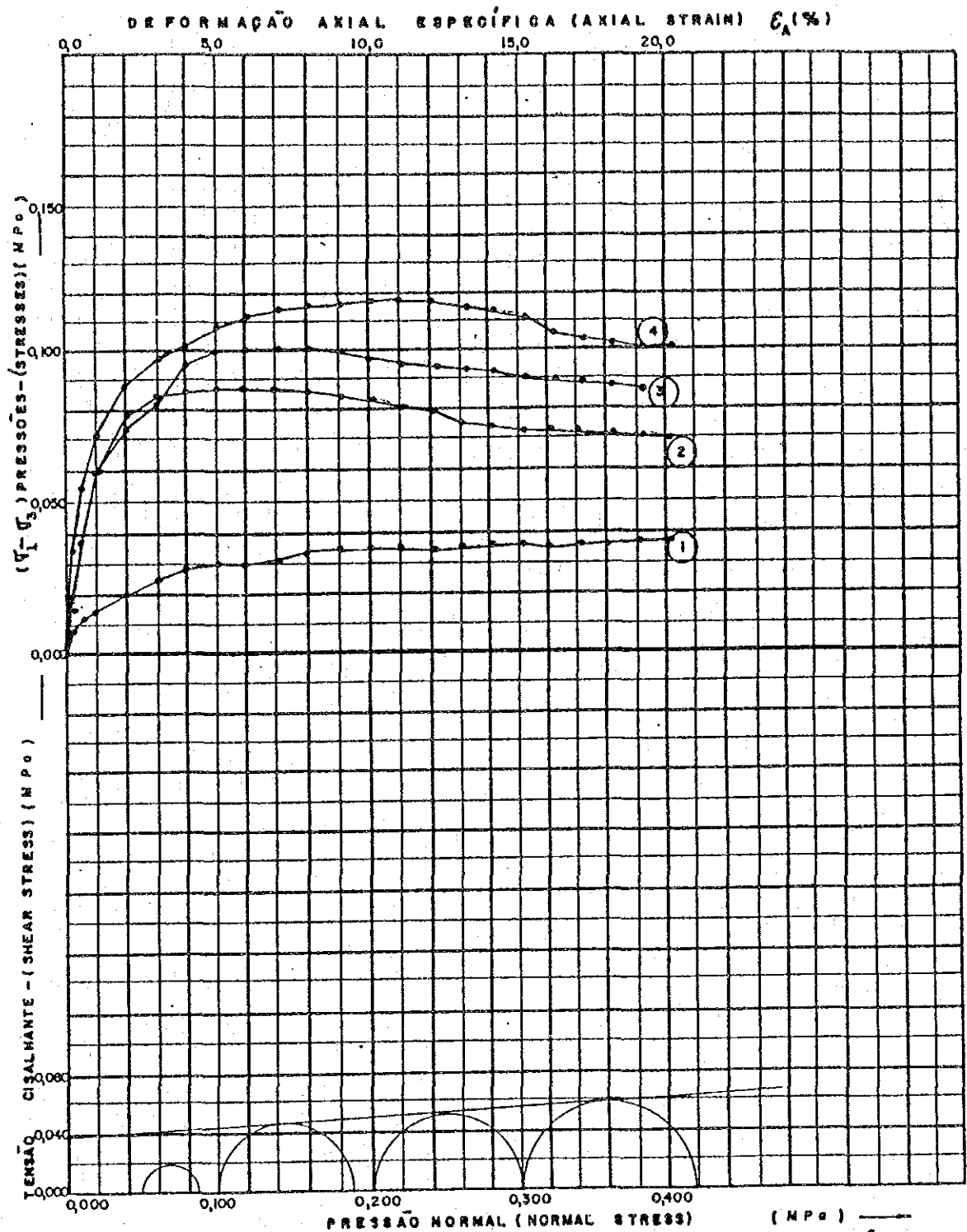
Tipo (Type) Adensado rápido  
(Quick consolidated)  
Amostra (Sample) Natural  
Umidade (Water Content) Natural  
C = 0,004 (MPa)  
p = 14

Cliente (Client)	JICA	Furo (Boring)	W-3	Prof. (Depth)	3,00 - 3,80 m	Des. (Drift by)	Des. (Drawn)	223.624	Ref.
Lote (Site)	SITE W - GATED OVERFLOW WEIR SITE	Amostra (Sample)	1	Data (Date)	10/02/88	Des. (Drawn)	Des. (Drawn)	223.624	PR-SC 808

CURVA TEMPO -- VARIAÇÃO DE VOLUME  
(TIME - VOLUME VARIATION CURVE)



( TRIAXIAL COMPRESSION TEST )



Velocidade Axial  $1,465 \times 10^{-2}$  mm/s  
(Axial Velocity)

( $d_1$ )  $\approx$  5,00 cm

( $h_1$ )  $\approx$  9,98 cm

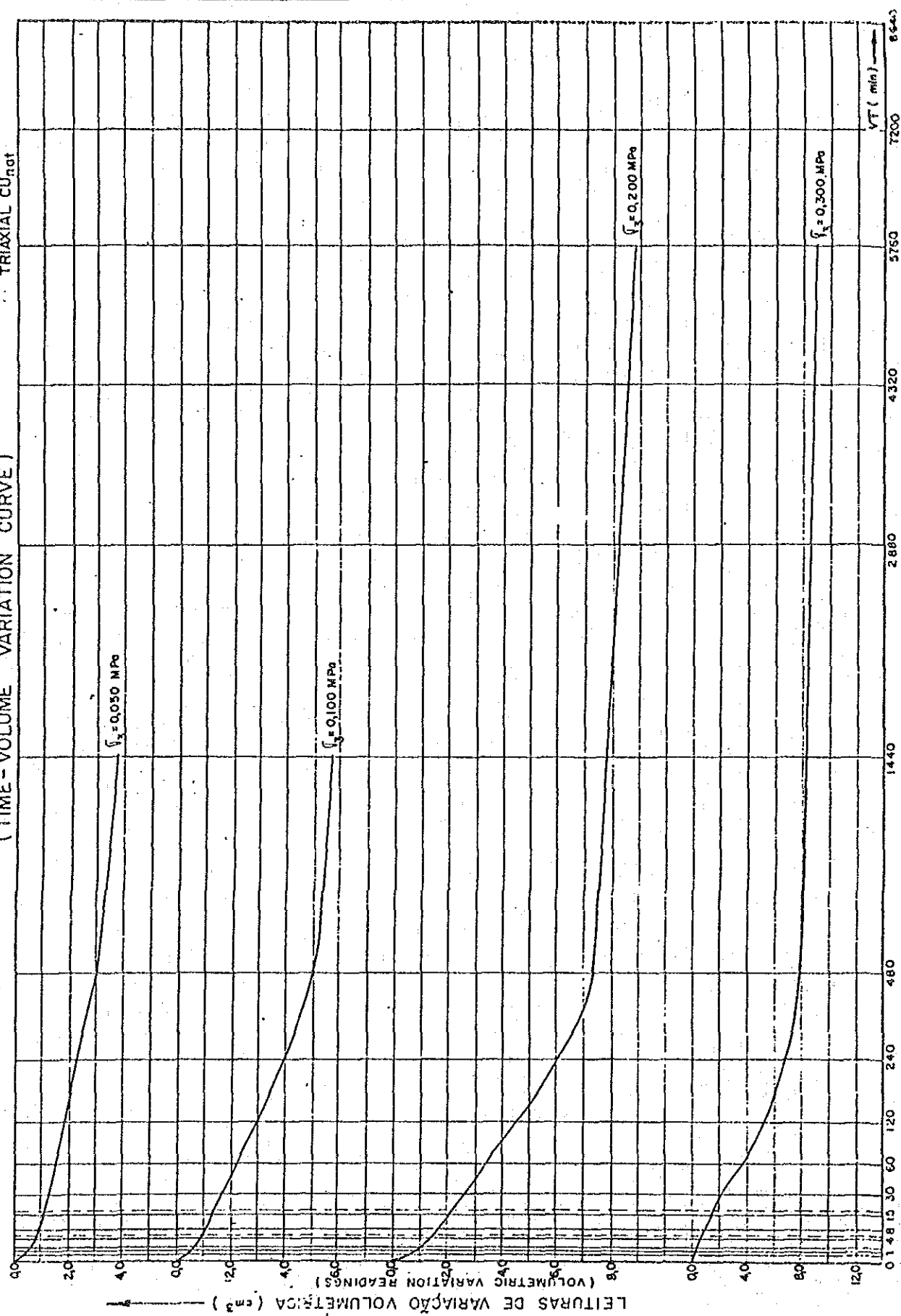
C. P.	$\gamma_{h1}$ (kg/m <sup>3</sup> )	$h_1$ (%)	$\sigma_1$ (%)	$\sigma_3$ (%)	$\sigma_0$ (MPa)	$\sigma_{2H}$ (MPa)	$\bar{\sigma}_3$ (MPa)	$\bar{\sigma}_1$ (MPa)	$(\sigma_1 - \sigma_3)_f$ (MPa)	$\epsilon_A$ (%)	(UX (MPa)
1	1,721	50,7	1,29	103	0,050	0,050	-	-	0,035	10,10	-
2	1,734	49,6	1,23	105	0,100	0,100	-	-	0,087	5,06	-
3	1,758	46,4	1,18	103	0,200	0,200	-	-	0,101	7,12	-
4	1,751	51,0	1,25	107	0,300	0,300	-	-	0,118	10,17	-

COMPRESSÃO TRIAXIAL  
(TRIAXIAL COMPRESSION)  
ADENSADO RÁPIDO  
Tipo (Type) (QUICK CONSOLIDATED)  
Amostra (Sample) NATURAL  
Umidade (Water Content) NATURAL  
C=0,039 (MPa)  
p<sub>e</sub> 3

CLIENTE (Client)	JICA	Furo (Boring)	Fp-3	Prof. (Depth)	2,50 - 3,80 m	Des. (Dr'g by)	Des. 223.828	Rel.	
Local (Site)	SITE FP - PLANNED FLOODWAY SITE	Amostra (Sample)	1	Data (Date)	16/02/89	Rev. EAB	Aprov. (Check'd by)		PR-SC 608

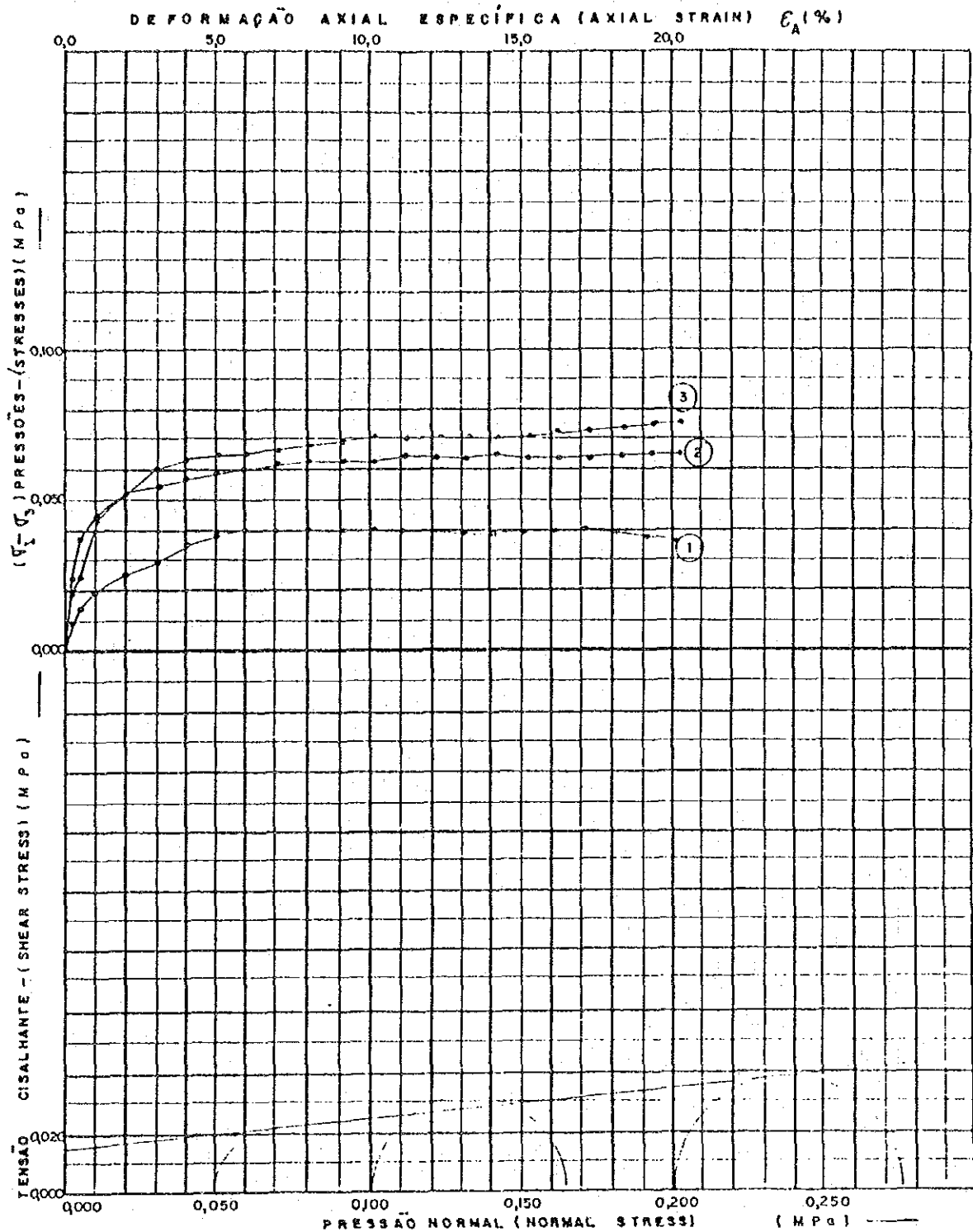
CURVA TEMPO -- VARIAÇÃO DE VOLUME  
(TIME - VOLUME VARIATION CURVE)

TRIAXIAL  $CU_{nat}$



Site : Floodway to Piçarras Coast (Fp-3)

( TRIAXIAL COMPRESSION TEST )



Velocidade Axial  $1,463 \times 10^{-2}$  mm/s  
(Axial Velocity)

( $d_1$ )  $\approx 4,93$  cm

( $h_1$ )  $\approx 10,01$  cm

COMPRESSÃO TRIAXIAL  
(TRIAXIAL COMPRESSION)

Tipo (Type) Adensado rápido  
(Quick consolidated)  
Amostra (Sample) Natural

Umidade (Water Content) Natural  
C = 0,015 (M Pa)

$p^* = 6$

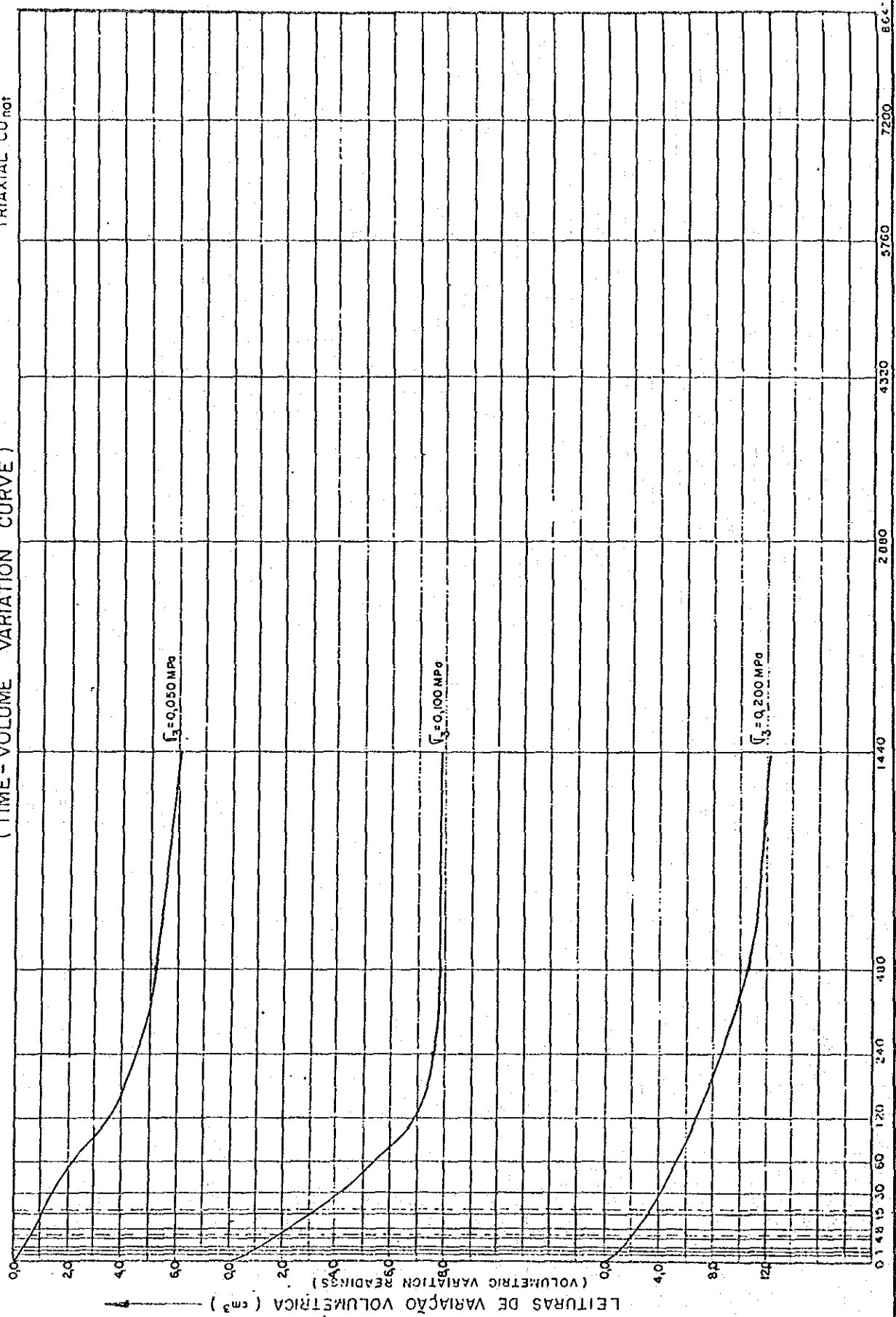
4°C - IMPOSSIBILIDADE DE MOLDAGEM

C. P.	$\gamma_{h1}$ (Kg/m <sup>3</sup> )	$h_1$ (%)	$e_1$	$s_1$ (%)	$\sigma_c$ (M Pa)	$(\sigma_3)_H$ (M Pa)	$(\sigma_3)_I$ (M Pa)	$(\sigma_1)_I$ (M Pa)	$(\sigma_1)_H$ (M Pa)	$\epsilon_A$ (%)	(UH) (M Pa)
1	1,759	43,5	1,05	104	0,050	0,050	-	-	0,040	6,05	-
2	1,963	28,6	0,65	110	0,100	0,100	-	-	0,065	14,20	-
3	1,879	33,8	0,79	108	0,200	0,200	-	-	0,076	20,41	-
4	-	-	-	-	-	-	-	-	-	-	-

Cliente (Client) JICA	Furo (Boring) Fp-4	Prof. (Depth) 3,00 - 4,00 m	Des. (Dr'n'd by)	Des. (Drwn) 223.828	Ref.
Local (Site) SITE FP - PLANNED FLOODWAY SITE	Amostra (Sample) 1	Data (Date) 10/02/89	Enq.	Aprov. (Check'd by)	PR-SC 608

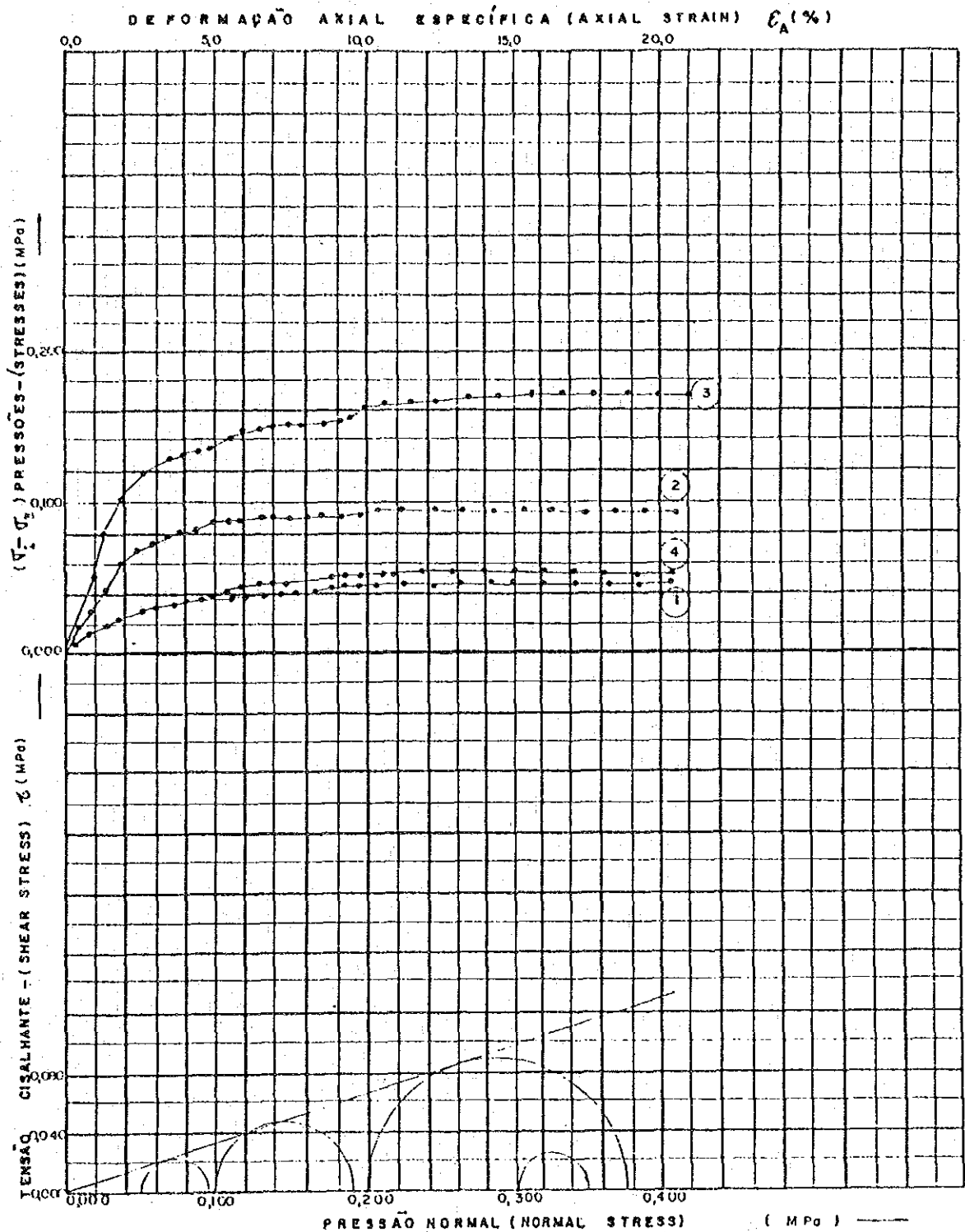
CURVA TEMPO - VARIAÇÃO DE VOLUME  
(TIME - VOLUME VARIATION CURVE)

TRIAXIAL  $CU_{nat}$



Site : Floodway to Piçarras Coast (Fp-4)

( TRIAXIAL COMPRESSION TEST )



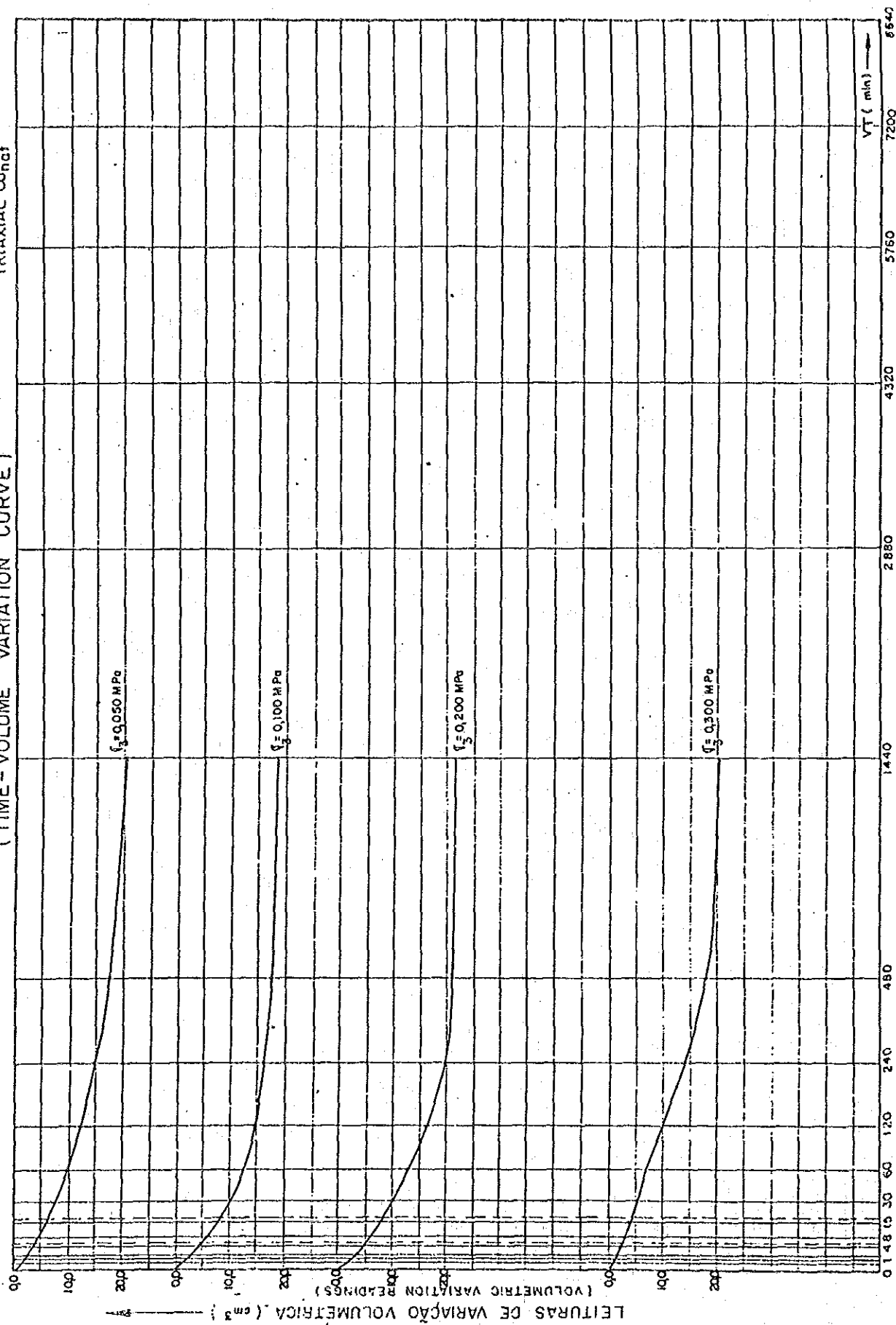
COMPRESSÃO TRIAXIAL  
(TRIAXIAL COMPRESSION)  
ADENSADO RÁPIDO  
Tipo (Type) (QUICK CONSOLIDATED)  
Amostra (Sample) NATURAL  
Umidade (Water Content) NATURAL  
 $C = 0,00 \text{ kg/cm}^2$   
 $\phi = 18$

G. P.	$\bar{\gamma}_h$ (kg/m <sup>3</sup> )	$h_1$ (%)	$a_1$	$s_1$ (%)	$\bar{\sigma}_c$ (MPa)	$\bar{\sigma}_{3H}$ (MPa)	$\bar{\sigma}_{3H}$ (MPa)	$\bar{\sigma}_{1H}$ (MPa)	$\bar{\sigma}_{1H}$ (MPa)	$\bar{\sigma}_{1H}$ (MPa)	$\epsilon_A$ (%)	UN (MPa)
1	1,519	78,3	2,01	100	0,050	0,050	-	-	0,046	14,26	-	-
2	1,558	58,1	1,60	93	0,100	0,100	-	-	0,090	9,61	-	-
3	1,672	44,2	1,21	94	0,200	0,200	-	-	0,176	19,93	-	-
4	1,424	110,1	2,79	101	0,300	0,300	-	-	0,049	11,86	-	-

Cliente (Client)	JICA	Furo (Boring)	Fp-6	Prof. (Depth)	2,00 - 3,00 m	Des. (D'd by)	Des. n.º (Drawn)	Ref.
Local (Site)	SITE FP-PLANNED FLOODWAY SITE.	Amostra (Sample)	2	Data (Date)	19/01/89	Edg.	223.830	PR-SC 608
							Aprov. (Check'd by)	

CURVA TEMPO - VARIAÇÃO DE VOLUME  
(TIME - VOLUME VARIATION CURVE)

TRIAxIAL  $C_{hat}$



Site : Floodway to Piçarras Coast (Fp-6)



# ( TRIAXIAL COMPRESSION TEST )



Velocidade Axial  $1,455 \times 10^{-2}$  mm/s  
(Axial Velocity)

( $d_1$ )  $\approx 5,09$  cm

( $h_1$ )  $\approx 10,13$  cm

## COMPRESSÃO TRIAXIAL (TRIAXIAL COMPRESSION)

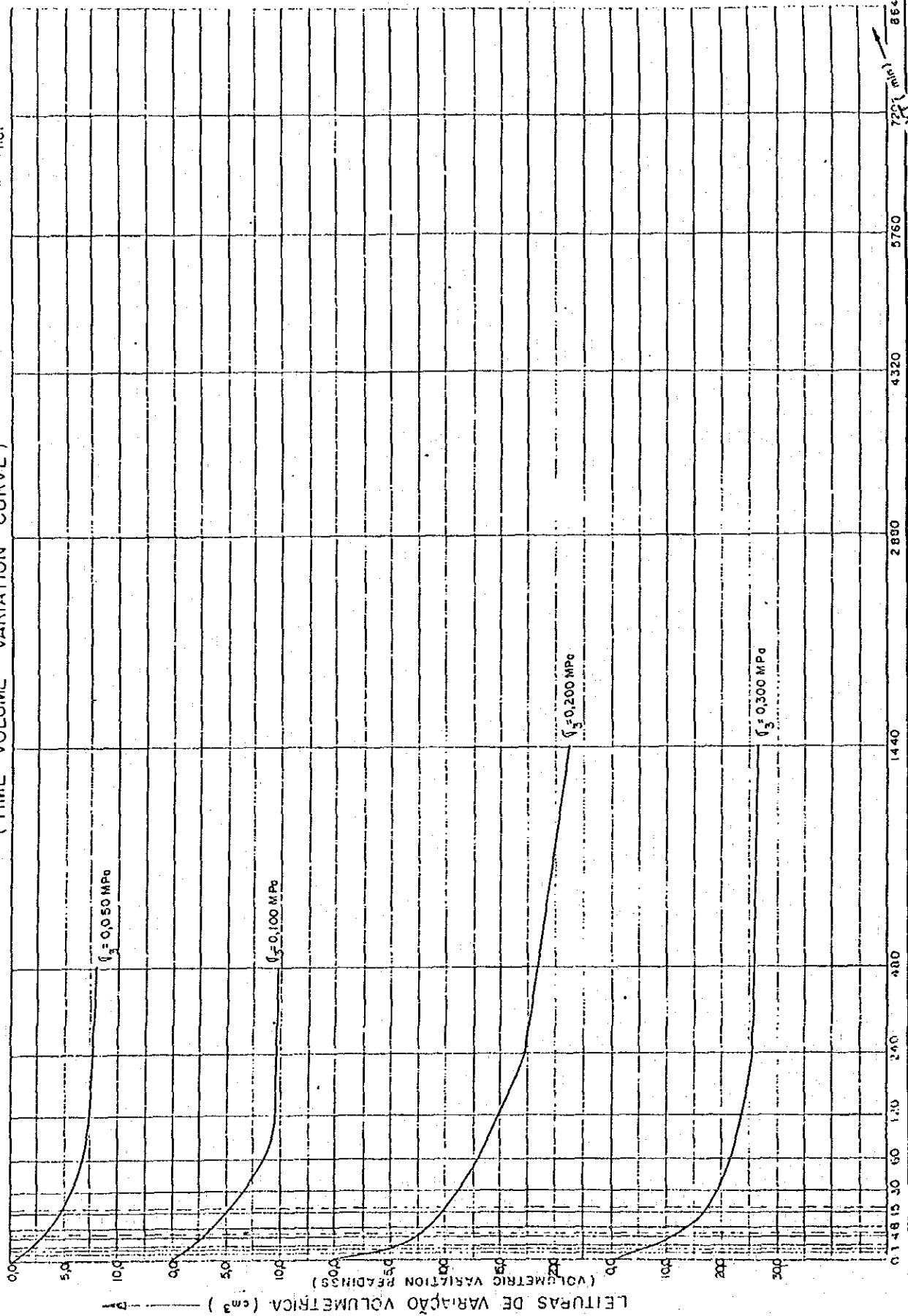
Tipo (Type) ADENSADO RÁPIDO  
(QUICK CONSOLIDATED)  
Amostra (Sample) NATURAL  
Umidade (Water Content) NATURAL  
C = 0,017 (M P a)  
 $\phi^0 13$

C. P.	$\gamma_{h1}$ (kg/m <sup>3</sup> )	$n_1$ (%)	$e_1$	$s_1$ (%)	$\sigma_c$ (M P a)	$\sigma_{3H}$ (M P a)	$\sigma_{3H}$ (M P a)	$\sigma_{1H}$ (M P a)	$\sigma_{1H}$ (M P a)	$\epsilon_A$ (%)	(UX) (M P a)
1	1,680	56,5	1,40	104	0,050	0,050	-	-	0,069	11,78	-
2	1,755	48,7	1,18	106	0,100	0,100	-	-	0,106	13,99	-
3	1,686	61,2	1,46	108	0,200	0,200	-	-	0,131	7,88	-
4	1,690	42,6	1,17	94	0,300	0,300	-	-	0,221	7,57	-

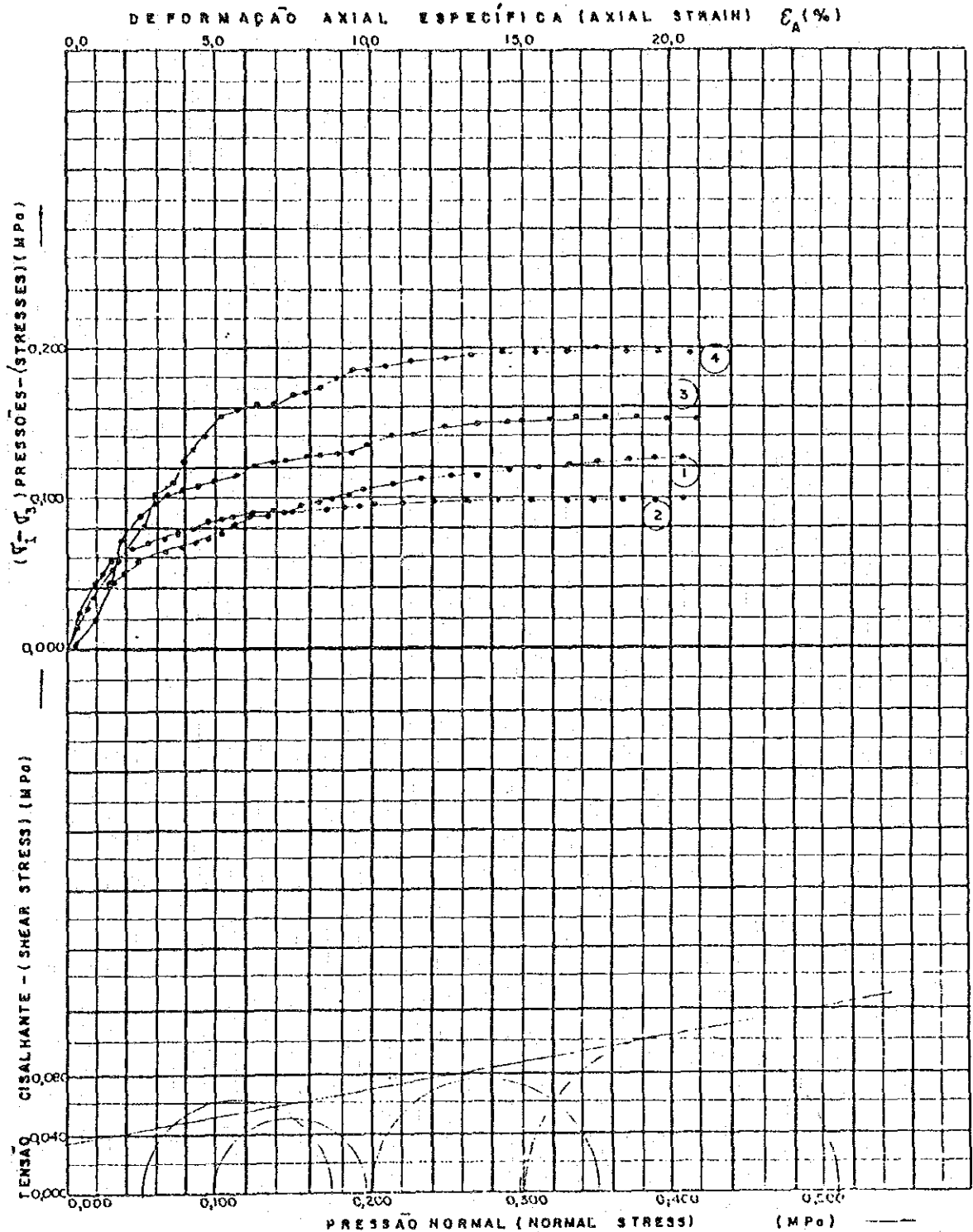
Cliente (Client)	JICA	Furo (Boring)	Fp - 8	Prof. (Depth)	2,50 ~ 3,50 m	Des. (Drawn by)	Des. (Drawn)	Ref.
Local (Site)	SITE FP - PLANNED FLOODWAY SITE	Amostra (Sample)	1	Data (Date)	16/02/89	Eng	223.832	PR-SC 108
							Aprov. (Check'd by)	

CURVA TEMPO - VARIAÇÃO DE VOLUME  
(TIME - VOLUME VARIATION CURVE)

TRIAXIAL  $CU_{not}$



( TRIAXIAL COMPRESSION TEST )



Velocidade Axial  $1,465 \times 10^{-2}$  mm/s  
(Axial Velocity)

$(\sigma_1) \approx 5,05$  cm

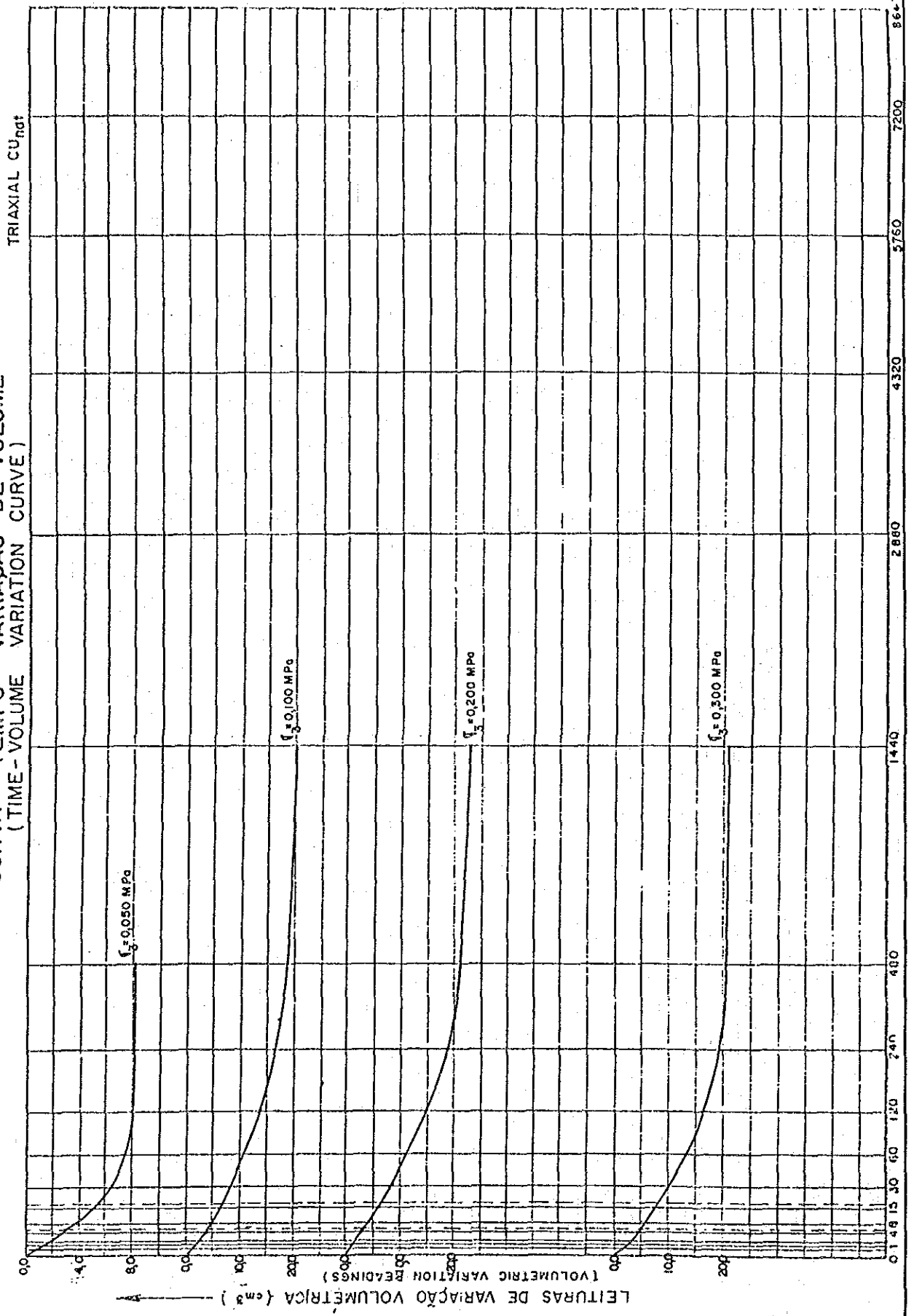
$(h_1) \approx 9,98$  cm

C. P.	$R_{h1}$ (Kg/cm <sup>2</sup> )	$h_1$ (%)	$\sigma_1$ (%)	$\sigma_3$ (%)	$\sigma_c$ (MPa)	$\sigma_{3H}$ (MPa)	$(\sigma_1)_f$ (MPa)	$(\sigma_3)_f$ (MPa)	$(\sigma_1 - \sigma_3)_f$ (MPa)	$(\epsilon_A)_f$ (%)	(UH) (MPa)
1	1,912	44,4	1,05	109	0,050	0,050	-	-	0,124	20,54	-
2	1,369	71,6	1,81	102	0,100	0,100	-	-	0,097	12,09	-
3	1,713	58,2	1,37	109	0,200	0,200	-	-	0,150	14,63	-
4	1,673	62,6	1,49	108	0,300	0,300	-	-	0,210	17,75	-

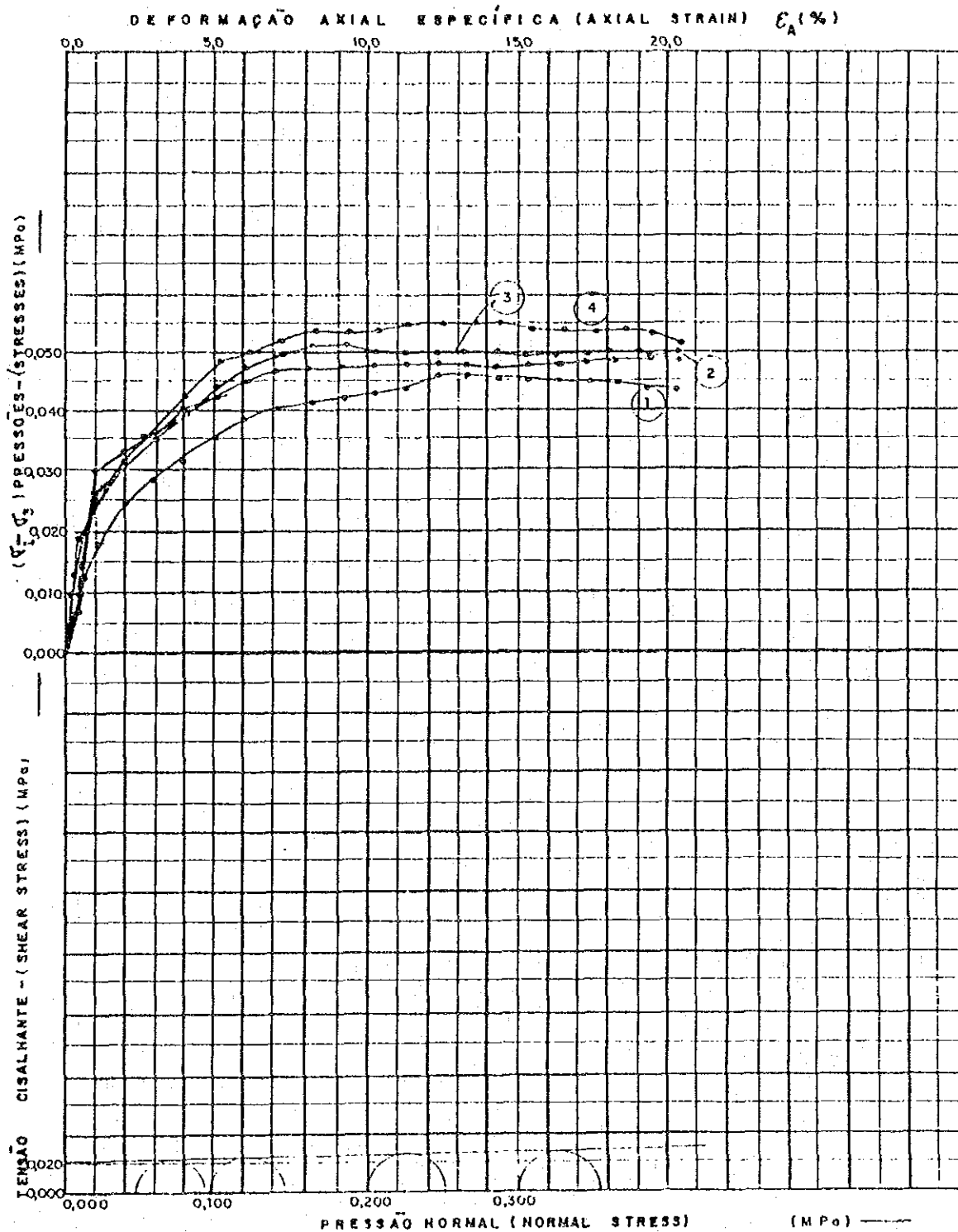
COMPRESSÃO TRIAXIAL  
(TRIAXIAL COMPRESSION)  
ADENSADOR RÁPIDO  
Tipo (Type) (QUICK CONSOLIDATED)  
Amostra (Sample) NATURAL  
Umidade (Water Content) NATURAL  
 $C = 0,035$  (MPa)  
 $\phi^0 = 10$

Cliente (Client)	JICA	Furo (Boring)	Fp-8	Prof. (Depth)	10,00 - 1,00 m	Des. (Dr'd by)	Desen. (Drawn)	Ref.
Local (Site)	SITE FP - PLANNED FLOODWAY SITE	Amostra (Sample)	2	Data (Date)	16/02/89	Eng.	Aprov. (Checked by)	PR-SC 009

CURVA TEMPO - VARIAÇÃO DE VOLUME  
(TIME - VOLUME VARIATION CURVE)



( TRIAXIAL COMPRESSION TEST )



$(d_1) \approx 5,04 \text{ cm}$

$(h_1) \approx 9,99 \text{ cm}$

Velocidade Axial  $1,455 \times 10^{-2} \text{ mm/s}$   
(Axial Velocity)

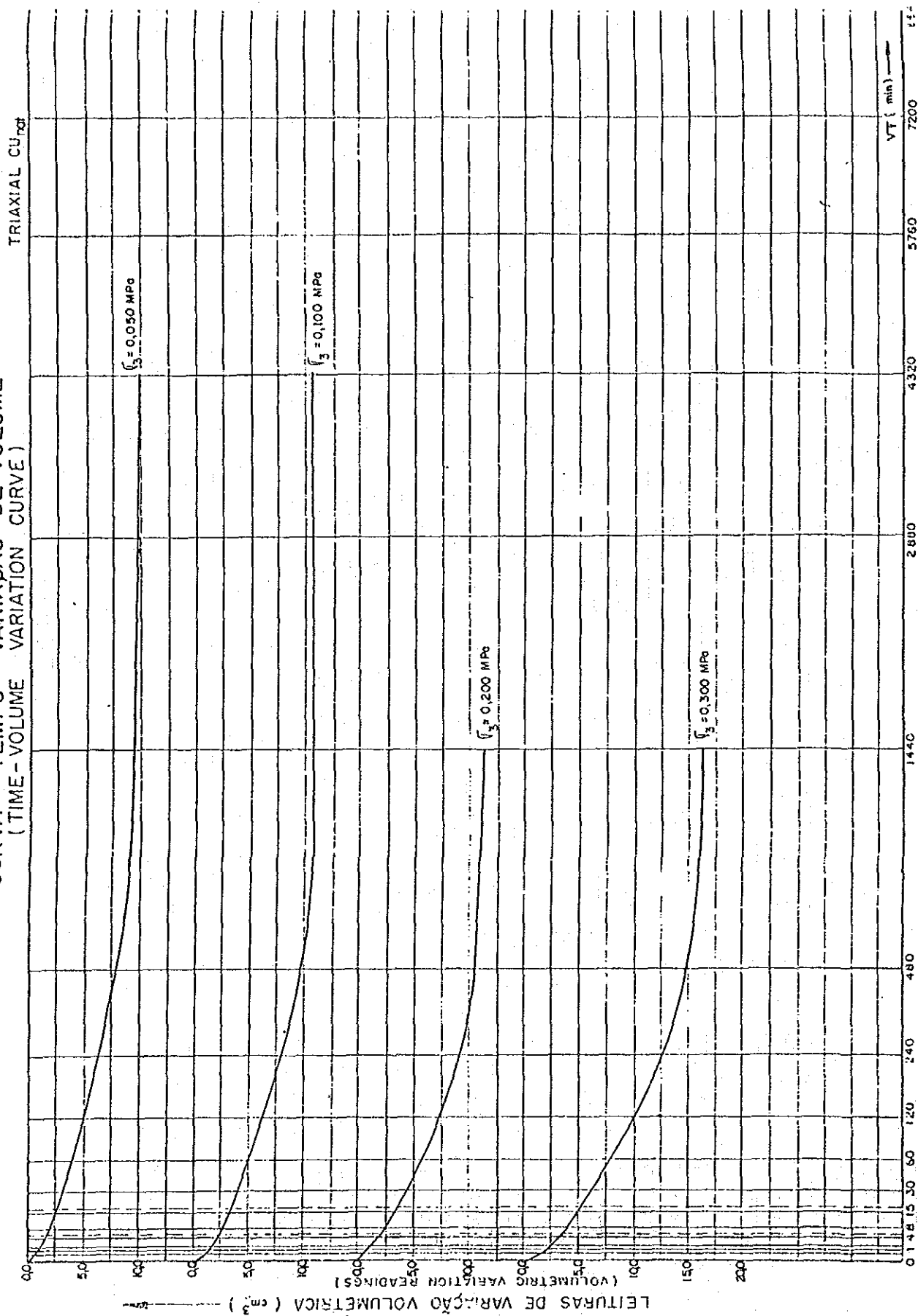
COMPRESSÃO TRIAXIAL  
(TRIAXIAL COMPRESSION)

Tipo (Type) Adensado rápido  
(Quick consolidated)  
Amostra (Sample) Natural  
Umidade (Water Content) Natural  
 $C = 0,021 \text{ (MPa)}$   
 $\rho = 1$

C. P.	$\gamma_{h1}$ (kg/m <sup>3</sup> )	$n_1$ (%)	$e_1$	$q_1$ (%)	$\sigma_c$ (MPa)	$(\sigma_3)_f$ (MPa)	$(\sigma_1)_f$ (MPa)	$(\sigma_1 - \sigma_3)_f$ (MPa)	$\epsilon_{Af}$ (%)	(UH)
1	1,518	83,4	2,12	101	-	0,050	-	-	0,046	12,22
2	1,504	87,4	2,21	102	-	0,100	-	-	0,048	10,21
3	1,548	87,9	2,13	106	-	0,200	-	-	0,051	8,15
4	1,454	96,1	2,48	100	-	0,300	-	-	0,054	8,26

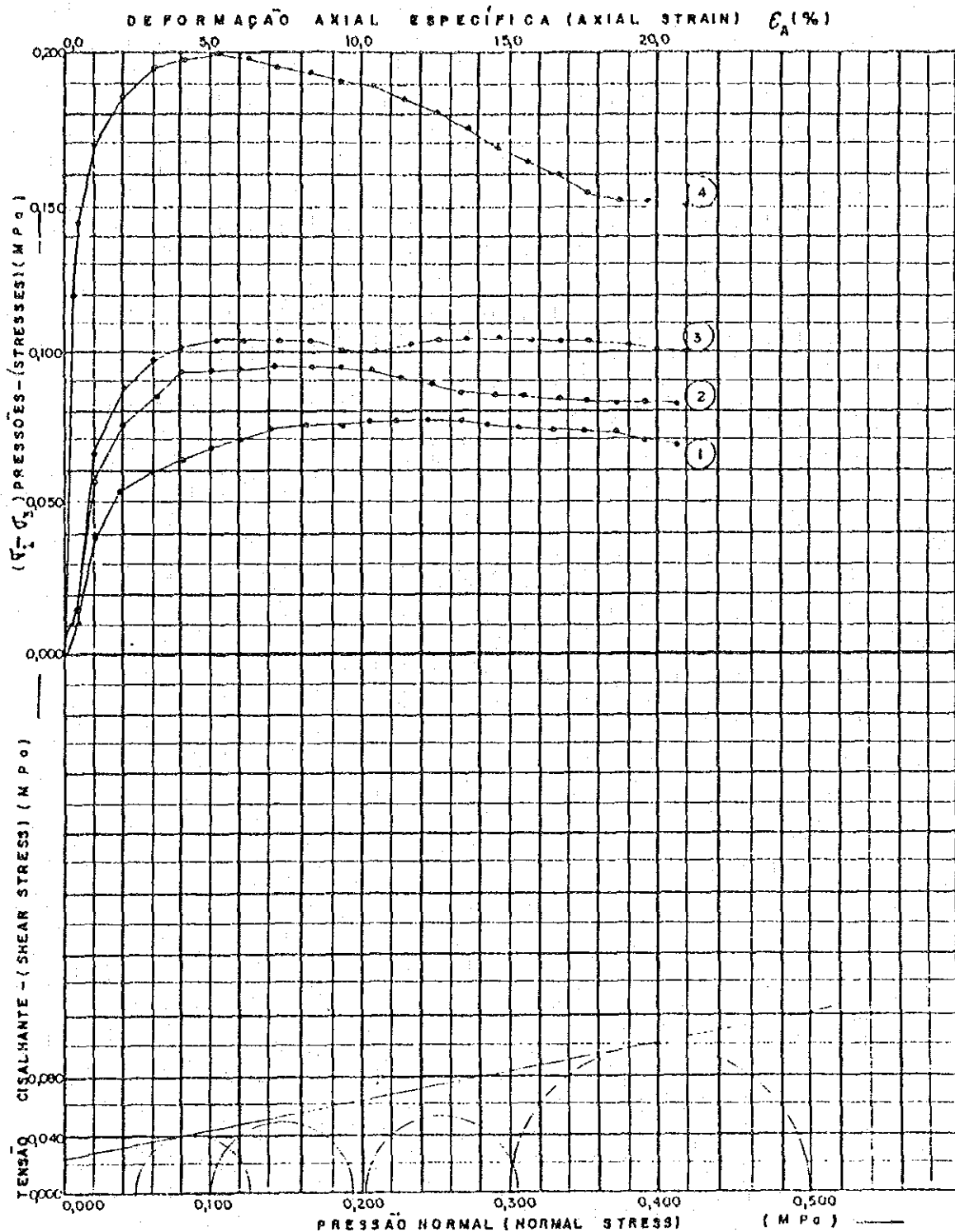
Cliente (Client)	JICA	Furo (Boring)	Fa-1	Prof. (Depth)	3,50-4,50m	Des. (Dr't'd by)	Des. (Drawn)	223.836	Ref.
Local (Site)	SIIE FA - ALTERNATIVE FLOODWAY SITE	Amostra (Sample)	-	Data (Date)	19/01/89	Eng.	Aprov. (Check'd by)	PR-SC CCR	

CURVA TEMPO - VARIAÇÃO DE VOLUME  
(TIME - VOLUME VARIATION CURVE)



Site : Floodway Route to Navegantes (Fa-1)

( TRIAXIAL COMPRESSION TEST )



Velocidade Axial  $1,455 \times 10^{-2}$  mm/s  
(Axial Velocity)

$(d_1) \approx 4,93$  cm

$(h_1) \approx 9,97$  cm

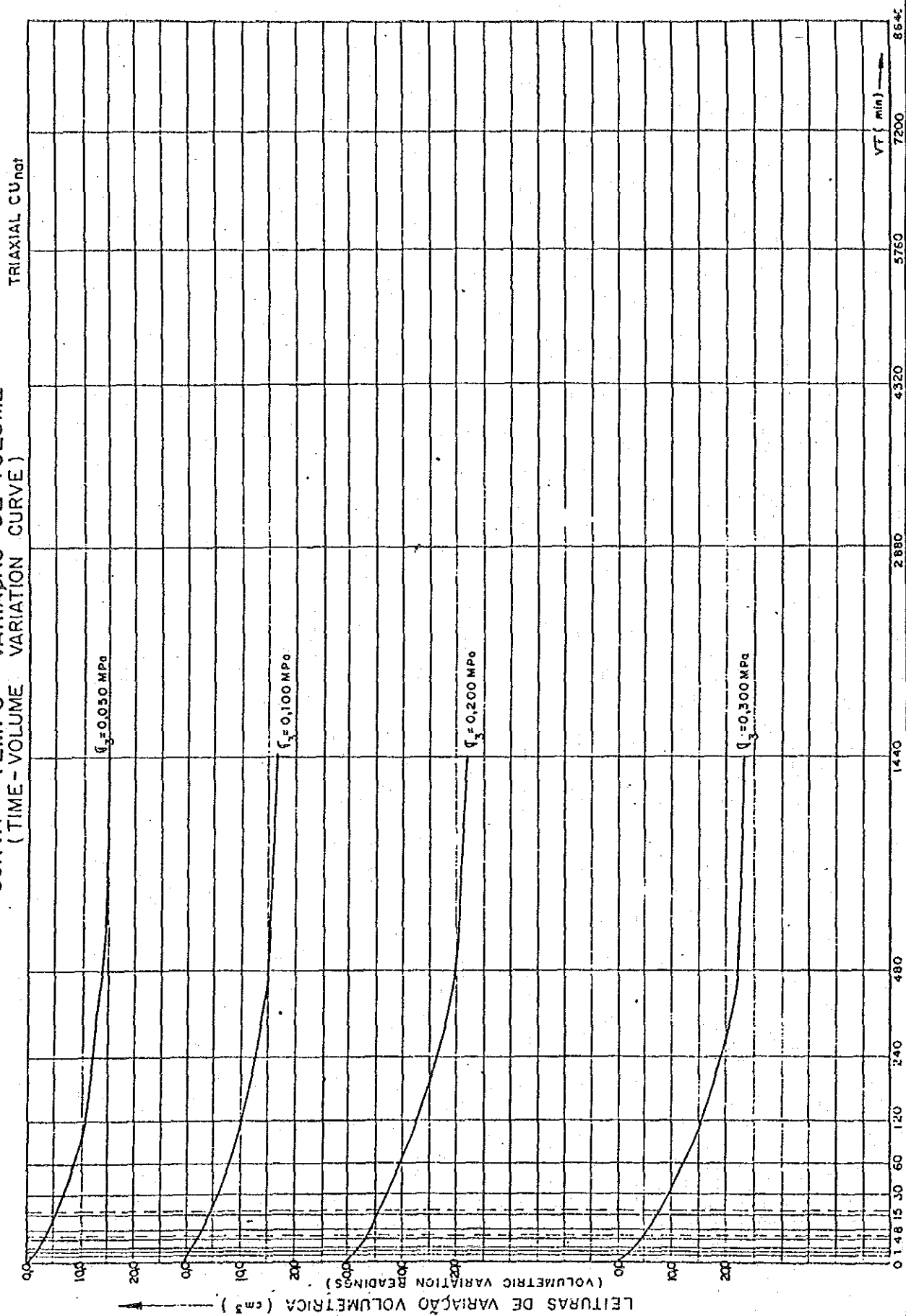
COMPRESSÃO TRIAXIAL  
(TRIAXIAL COMPRESSION)

Tipo (Type) ADENSADO RÁPIDO  
(QUICK CONSOLIDATED)  
Amostra (Sample) NATURAL  
Umidade (Water Content) NATURAL  
 $C = 0,023$  (M P a)  
 $\phi = 11$

C. P.	$\gamma_{hi}$ (Kg/m <sup>3</sup> )	$n_i$ (%)	$e_i$	$g_i$ (%)	$\sigma_c$ (M P a)	$(\sigma_3)_f$ (M P a)	$(\sigma_1)_f$ (M P a)	$(\sigma_1 - \sigma_3)_f$ (M P a)	$\epsilon_{Af}$ (%)	$(\sigma_1 - \sigma_3)_f$ (M P a)
1	1,751	54,3	1,30	109	0,050	0,050	-	-	0,077	12,36
2	1,750	41,5	1,11	98	0,100	0,100	-	-	0,095	7,23
3	1,695	63,9	1,52	110	0,200	0,200	-	-	0,104	6,28
4	1,739	43,3	1,15	98	0,300	0,300	-	-	0,199	5,21

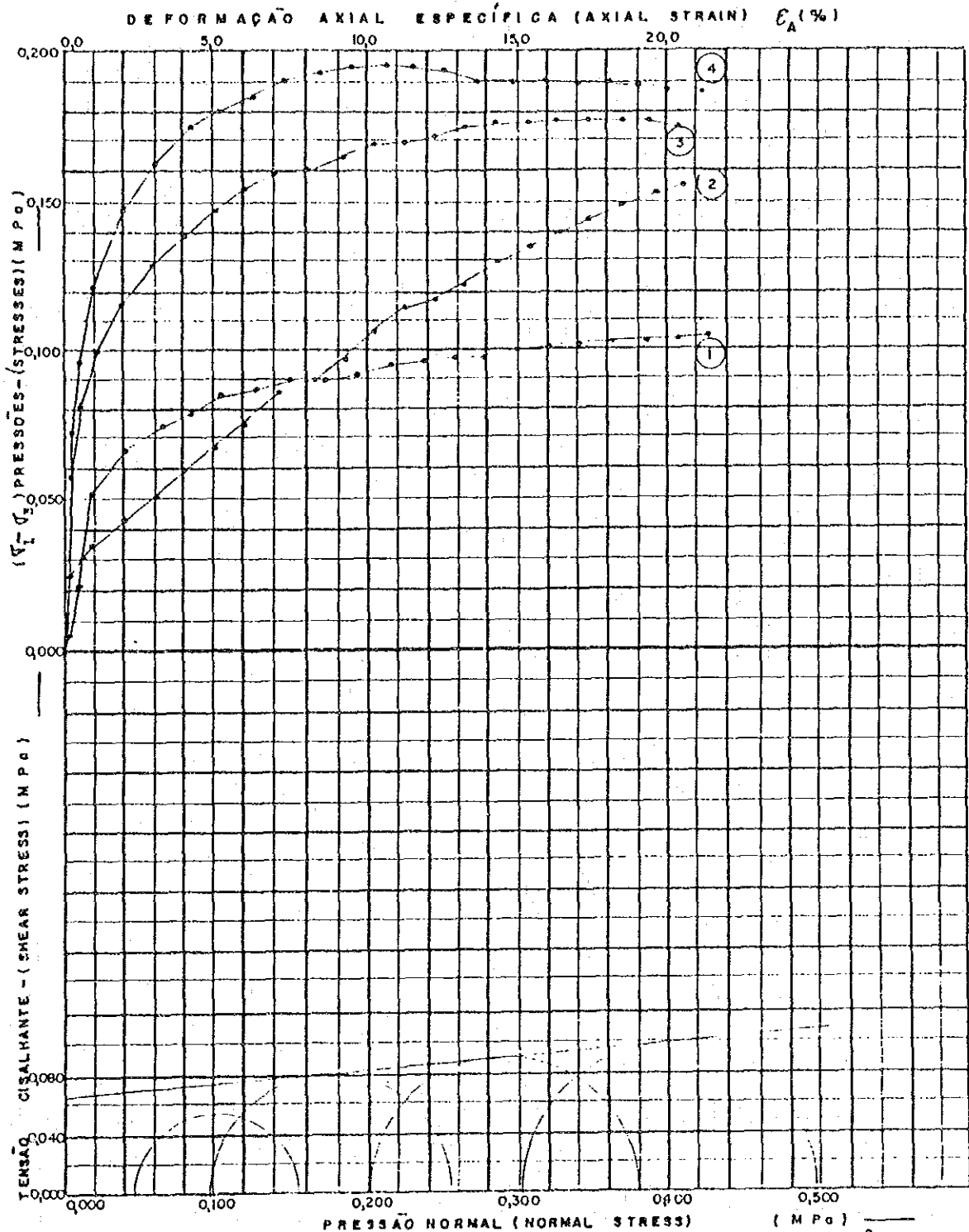
Cliente (Client)	JICA	Furo (Boring)	Fo-2	Prof. (Depth)	5,00 - 6,00 m	Des. (Data by)	Des. (Drawn)	Ref.
Local (Site)	SITE FP - PLANNED FLOODWAY SITE	Amostra (Sample)	1	Data (Date)	16/02/89	Eng.	223.838	PR-SC 608
							Aprov. (Check'd by)	

CURVA TEMPO - VARIAÇÃO DE VOLUME  
(TIME - VOLUME VARIATION CURVE)





( TRIAXIAL COMPRESSION TEST )



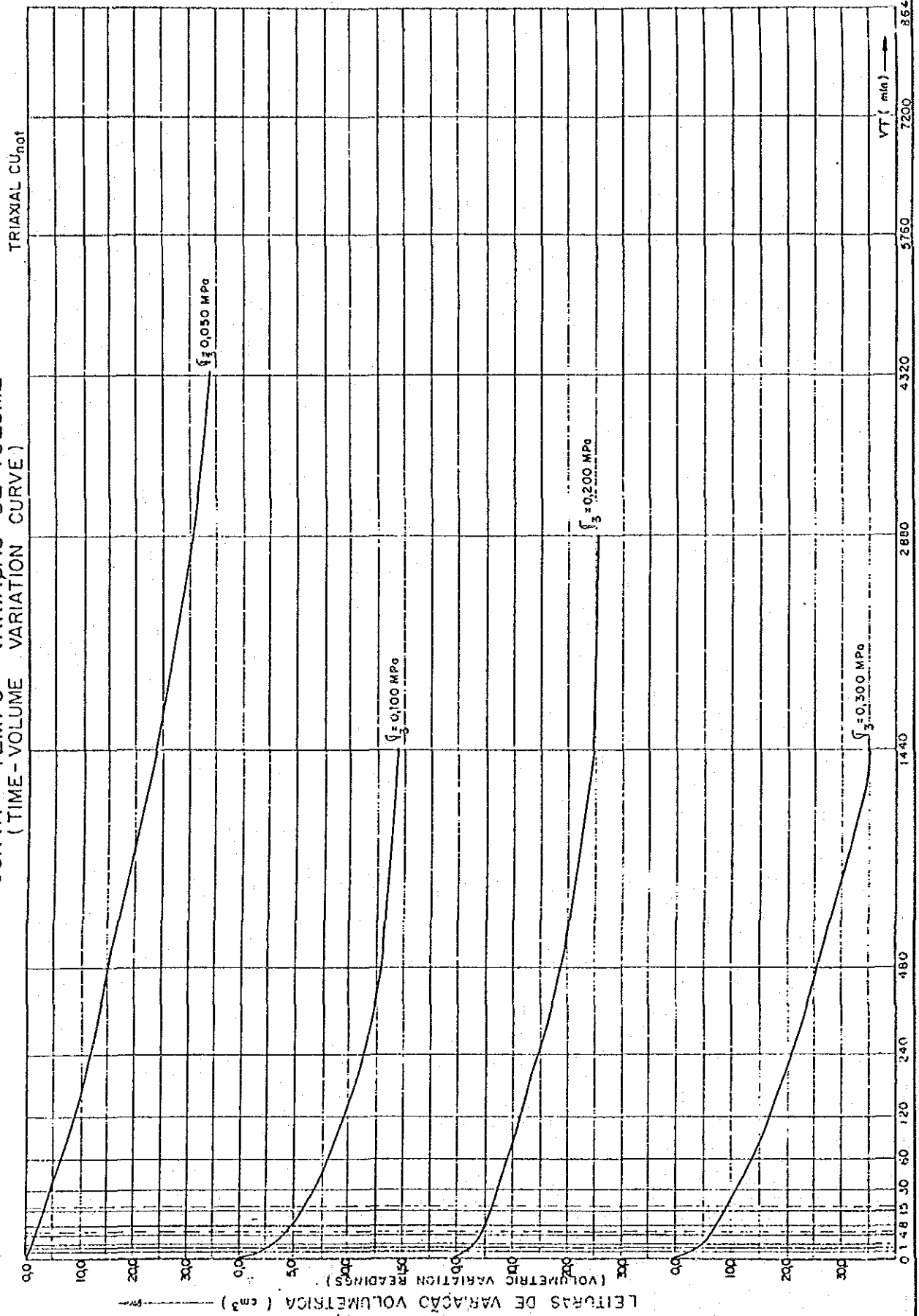
C. P.	$\bar{\sigma}_{h1}$ (kg/m <sup>2</sup> )	$h_1$ (%)	$\sigma_1$ (%)	$\sigma_3$ (%)	$\sigma_c$ (MPa)	$\sigma_{sh}$ (MPa)	$\sigma_{311}$ (MPa)	$\sigma_{211}$ (MPa)	$\sigma_{11311}$ (MPa)	$\epsilon_{A11}$ (%)	UX (MPa)
1	1.655	65,8	1,51	106	0,050	0,050	-	-	0,104	21,46	-
2	1.799	48,3	1,14	110	0,100	0,100	-	-	0,156	20,60	-
3	1.773	32,4	0,94	90	0,200	0,200	-	-	0,177	15,34	-
4	1.636	72,0	1,73	108	0,300	0,300	-	-	0,196	10,64	-

COMPRESSÃO TRIAXIAL  
(TRIAXIAL COMPRESSION)

Tipo (Type) ADENSADO RÁPIDO  
(QUICK CONSOLIDATED)  
Amostra (Sample) NATURAL  
Umidade (Water Content) NATURAL  
C=0,065 (M Pa)  
p<sup>o</sup> 5

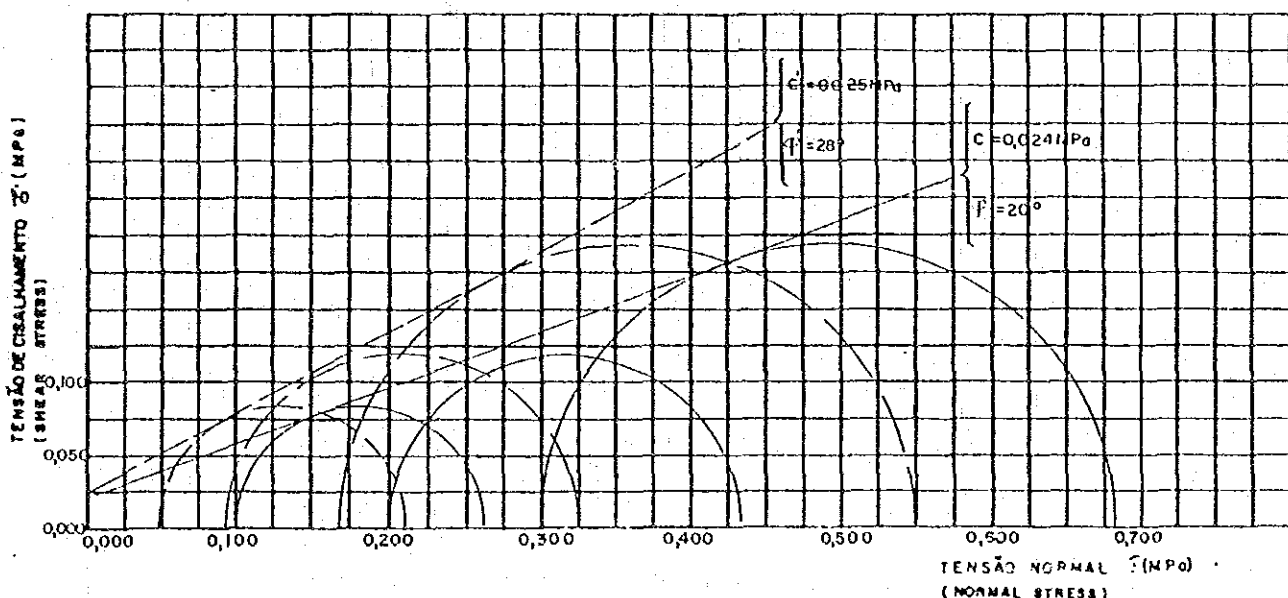
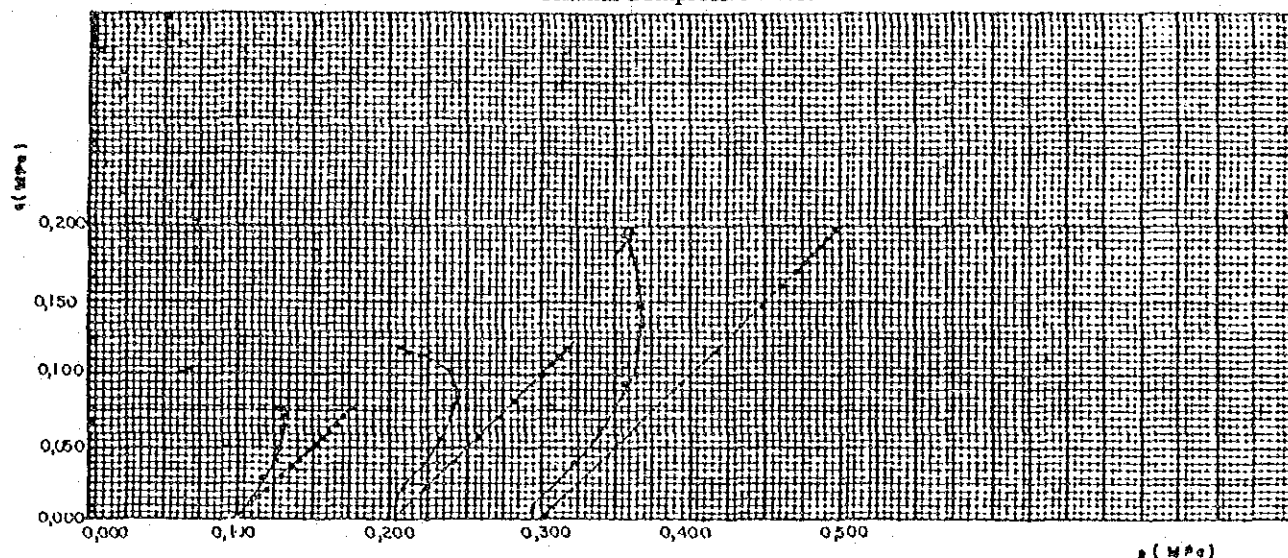
Cliente (Client) JICA	Furo (Boring) Fa-3	Prof. (Depth) 9,00 m	Des. (Dr'd. by) <i>[Signature]</i>	Desen <sup>o</sup> (Drawn) 223.840	Rel.
Local (Site) SITE FA - ALTERNATIVE FLOODWAY SITE	Amostra (Sample) 1	Data (Date) 16/02/89	Eng. <i>[Signature]</i>	Aprov. (Checked by)	PR-6C 608

CURVA TEMPO - VARIAÇÃO DE VOLUME  
(TIME - VOLUME VARIATION CURVE)



Site : Floodway Route to Navegantes (Fa-3)

# Triaxial Compression Test



CP	$h_i$ (%)	$\gamma_{h_i}$ (kg/m <sup>3</sup> )	$H_i$ (cm)	$D_i$ (cm)	$e_i$	$S$ (%)	$e_c$	$\bar{\sigma}_c$ (MPa)	$(\bar{\sigma}_3)_f$ (MPa)	$(\bar{\sigma}_1)_f$ (MPa)	$(\bar{\sigma}_1)_f$ (MPa)	$(\bar{\sigma}_1 - \bar{\sigma}_3)_f$ (MPa)	$(\bar{\sigma}_1 / \bar{\sigma}_3)_f$	(A)f	$(\epsilon_A)_f$ (%)	$(\mu)_f$ (MPa)
1	32,1	1,538	9,98	5,06	1,22	68	1,06	0,100	0,100	0,049	0,210	0,161	4,28	0,32	13,25	0,051
2	31,9	1,534	9,97	5,08	1,22	67	1,15	0,200	0,200	0,092	0,328	0,236	3,56	0,46	15,29	0,108
3	32,0	1,512	10,08	5,08	1,25	66	1,06	0,300	0,300	0,170	0,552	0,382	3,25	0,34	11,21	0,130

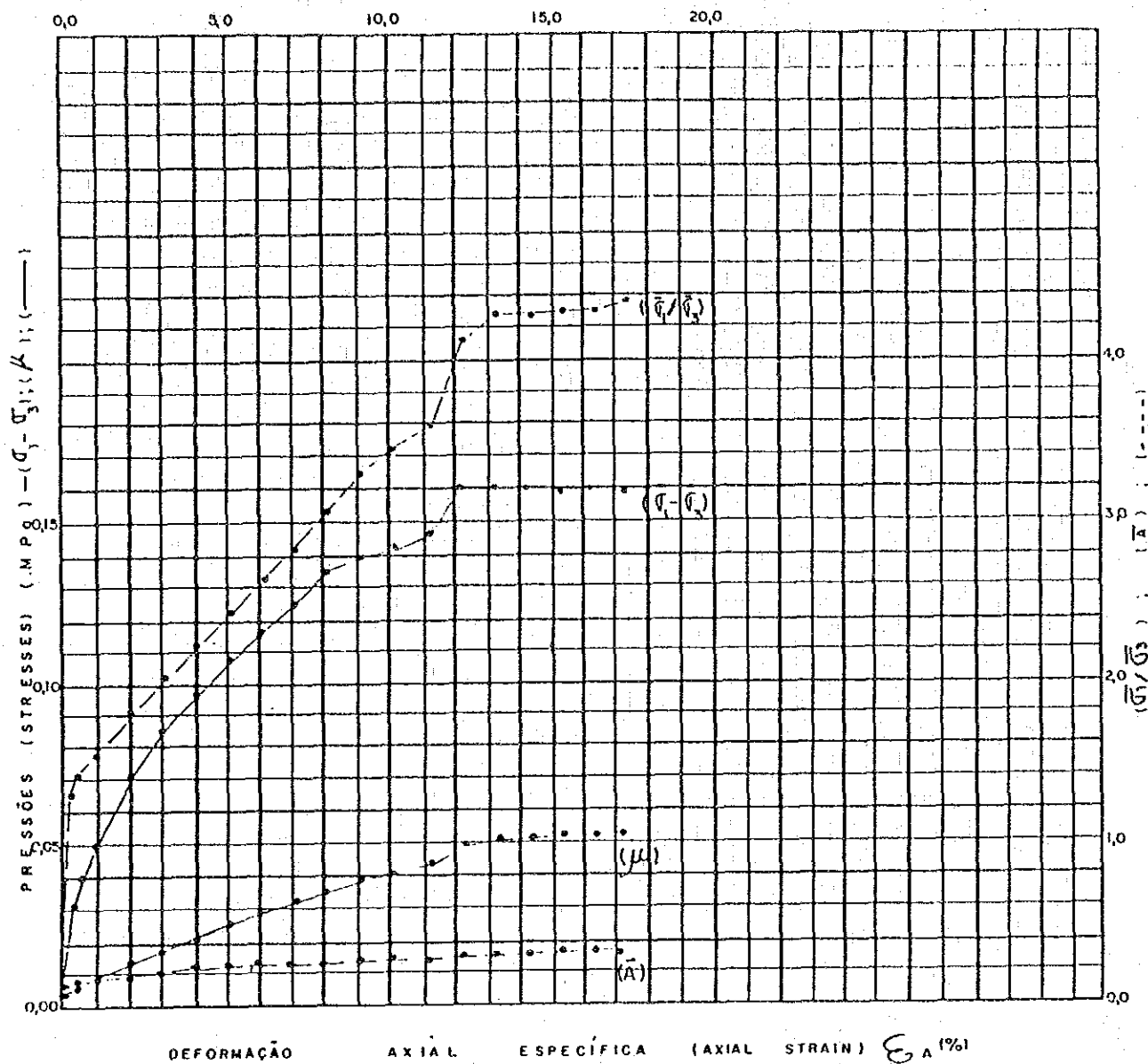
## LEGENDA

$h$ — UMIDADE (MOISTURE CONTENT)	$\bar{\sigma}_3$ — TENSÃO PRINCIPAL MENOR TOTAL (MINOR PRINCIPAL TOTAL STRESS)
$\gamma$ — PESO ESPECÍFICO AMAENTE ÚMIDO (WET UNIT WEIGHT)	$\bar{\sigma}_3$ — TENSÃO PRINCIPAL MENOR EFETIVA (MINOR PRINCIPAL EFFECTIVE STRESS)
$H$ — ALTURA DO CORPO DE PROVA (SPECIMEN HEIGHT)	$\bar{\sigma}_1$ — TENSÃO PRINCIPAL MAIOR EFETIVA (MAJOR PRINCIPAL EFFECTIVE STRESS)
$D$ — DIÂMETRO DO CORPO DE PROVA (SPECIMEN DIAMETER)	$\bar{\sigma}_1 - \bar{\sigma}_3$ — DIFERENÇA ENTRE AS TENSÕES PRINCIPAIS MAIOR E MENOR (DEVIATOR STRESS)
$e$ — ÍNDICE DE VAZIOS (VOID RATIO)	$\bar{\sigma}_1 / \bar{\sigma}_3$ — RAZÃO ENTRE TENSÕES PRINCIPAIS EFETIVAS (PRINCIPAL EFFECTIVE STRESS RATIO)
$S$ — GRAU DE SATURAÇÃO (DEGREE OF SATURATION)	$A$ — PARÂMETRO "A" DE PRESSÃO NEUTRA (PORE PRESSURE PARAMETER A)
$I$ — CONDIÇÕES INICIAIS (INITIAL CONDITIONS)	$\epsilon_A$ — DEFORMAÇÃO AXIAL ESPECÍFICA (AXIAL STRAIN)
$e_c$ — ÍNDICE DE VAZIOS APÓS O ADENSAMENTO (VOID RATIO AFTER CONSOLIDATION)	$\mu$ — TENSÃO NEUTRA (PORE PRESSURE)
$\bar{\sigma}_c$ — PRESSÃO EFETIVA DE ADENSAMENTO (CONSOLIDATION EFFECTIVE PRESSURE)	$f$ — CONDIÇÕES NA ROTURA (FAILURE CONDITIONS)

Cliente (Client)	JICA	Furo (Boring) Fa - 1	Prof. (m) (Depth) 3,50 - 4,50	Cond. (Int. A. by) 11/10/06	Obs. n.º (Drawn) 223.842	Ref. no 00000
---------------------	------	-------------------------	----------------------------------	--------------------------------	-----------------------------	------------------

Site : Floodway to Navegantes Coast (Fa-1)

# Triaxial Compression Test



TIPO (TYPE) ADENSAÇÃO RÁPIDO CÚ NATURAL (QUICK CONSOLIDATED)

VELOCIDADE AXIAL (AXIAL VELOCITY)  $0,135 \times 10^{-2}$  mm/s.

CP	n <sub>i</sub>	$\bar{\sigma}_{h_i}$	$H_i$	$O_i$	$\epsilon_i$	$S_i$	$\epsilon_c$	$\bar{\sigma}_c$	$(\sigma_3)_c$	$(\bar{\sigma}_3)_c$	$(\bar{\sigma}_1)_c$	$(\sigma_1 - \sigma_3)_c$	$(\bar{\sigma}_1 - \bar{\sigma}_3)_c$	(A)	$(\epsilon_h)_c$	$(\mu)_c$
Specimen	(%)	(Kg/m <sup>2</sup> )	(cm)	(cm)		(%)		(MPa)	(MPa)	(MPa)	(MPa)	(MPa)			(%)	(MPa)
1	32,1	1.538	9,98	5,06	1,22	68	1,06	0,100	0,100	0,049	0,210	0,161	4,28	0,32	13,25	0,051

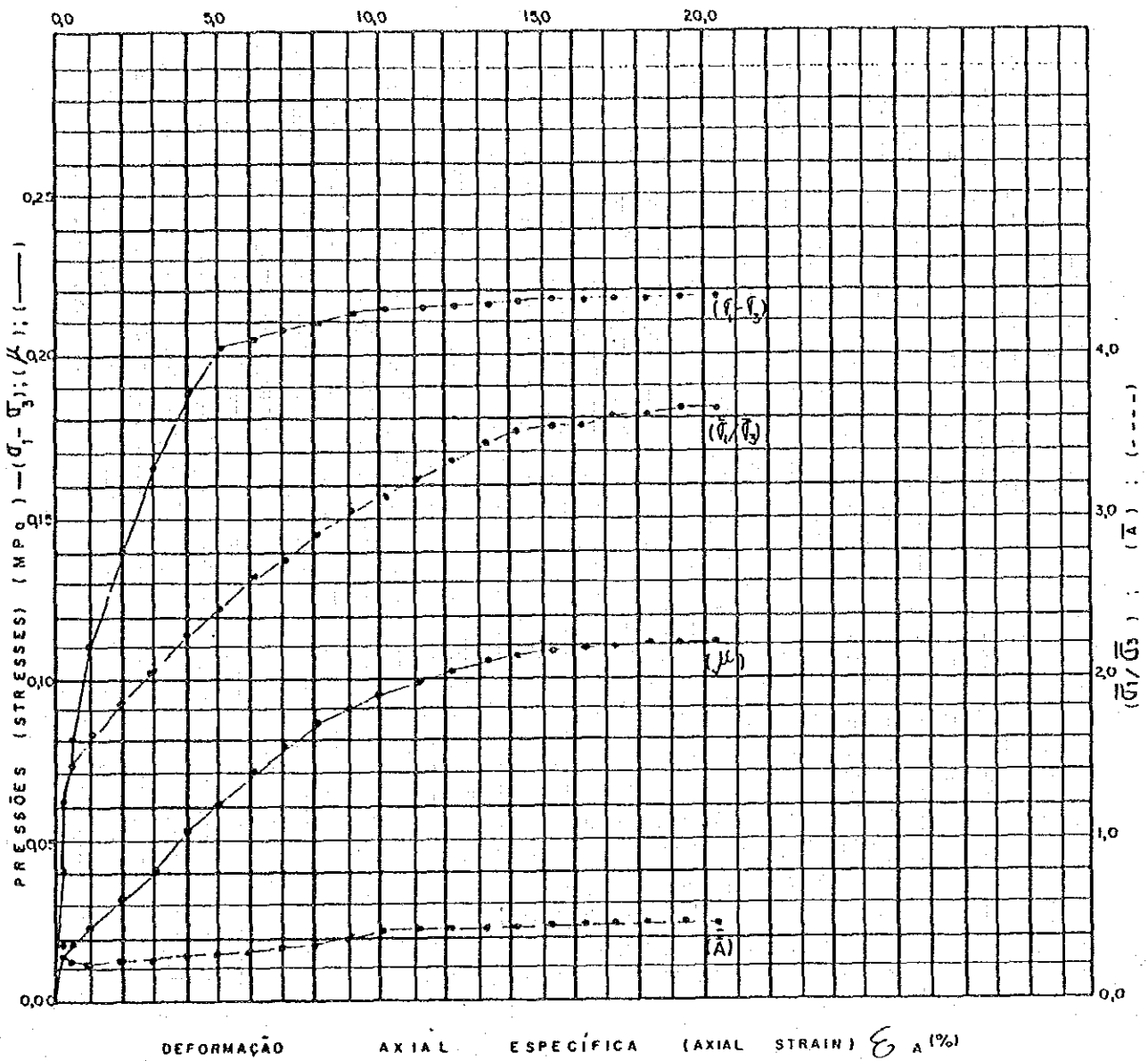
FURO (BORING) Fa - 1

AMOSTRA (SAMPLE) -

PROFUNDIDADE (DEPTH) 3,50 - 4,50 m

Site : Floodway to Navegantes Coast (Fa-1)

# Triaxial Compression Test



TIPO (TYPE) ADENSADO RÁPIDO CŪ NATURAL (QUICK CONSOLIDATED)

VELOCIDADE AXIAL (AXIAL VELOCITY)  $0,139 \times 10^{-2}$  mm/s.

CP	$h_i$	$\bar{\sigma}_{hi}$	$H_i$	$D_i$	$\sigma_i$	$S_i$	$\epsilon_i$	$\bar{\sigma}_c$	$(\sigma_3)_i$	$(\bar{\sigma}_3)_i$	$(\bar{\sigma}_1)_i$	$(\sigma_1 - \sigma_3)_i$	$(\bar{\sigma}_1/\bar{\sigma}_3)_i$	$(A)_i$	$(\epsilon_A)_i$	$(\mu)_i$
Specimen	(%)	(Kg/cm <sup>2</sup> )	(cm)	(cm)		(%)		(MPa)	(MPa)	(MPa)	(MPa)	(MPa)			(%)	(MPa)
2	31,9	6534	9,97	5,08	1,22	67	1,13	0,200	0,200	0,092	0,328	0,236	3,56	0,46	13,23	0,108

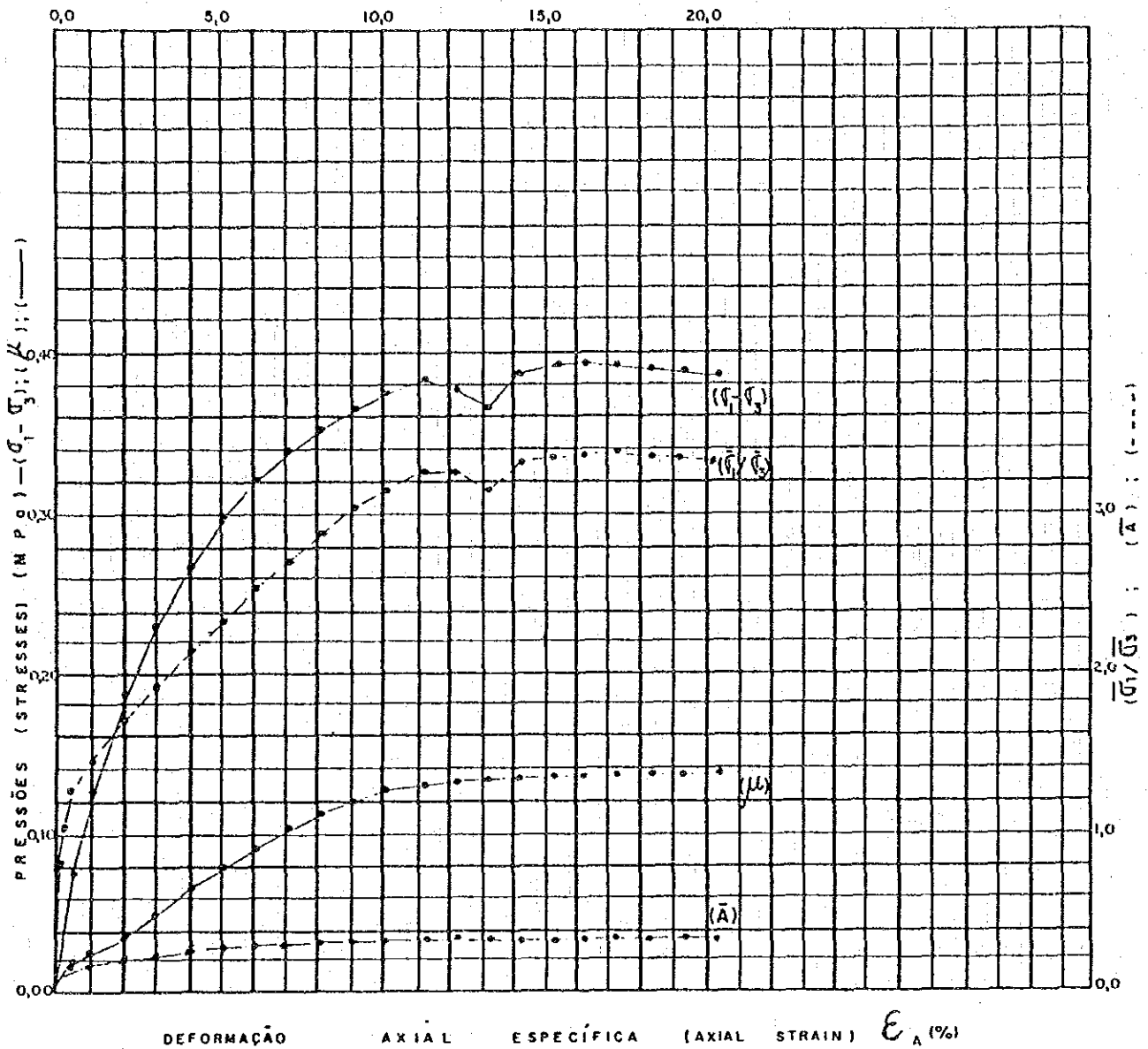
FURO (BORING) Fa-1

AMOSTRA (SAMPLE) --

PROFUNDIDADE (DEPTH) 3,50-4,50 m

Site : Floodway to Navegantes Coast (Fa-1)

# Triaxial Compression Test



TIPO (TYPE) ADENSADO RÁPIDO CÚ NATURAL (QUICK CONSOLIDATED)

VELOCIDADE AXIAL (AXIAL VELOCITY)  $0.139 \times 10^{-2}$  mm/s.

CP Specimen	n <sub>i</sub> (%)	$\tau_{h_i}$ (Kg/m <sup>3</sup> )	H <sub>i</sub> (cm)	D <sub>i</sub> (cm)	e <sub>i</sub>	S <sub>i</sub> (%)	e <sub>c</sub>	$\bar{\sigma}_c$ (MPa)	$(\sigma_3)_i$ (MPa)	$(\bar{\sigma}_3)_i$ (MPa)	$(\bar{\sigma}_1)_i$ (MPa)	$(\sigma_1 - \sigma_3)_i$ (MPa)	$(\bar{\sigma}_1 - \bar{\sigma}_3)_i$ (MPa)	(A) <sub>i</sub>	( $\epsilon_A$ ) <sub>i</sub> (%)	( $\mu$ ) <sub>i</sub> (MPa)
3	32,0	1.512	10,08	5,08	1,25	66	1,06	0,300	0,300	0,170	0,352	0,302	3,25	0,34	11,21	0,130

FURO (BORING) Fa - 1

AMOSTRA (SAMPLE) —

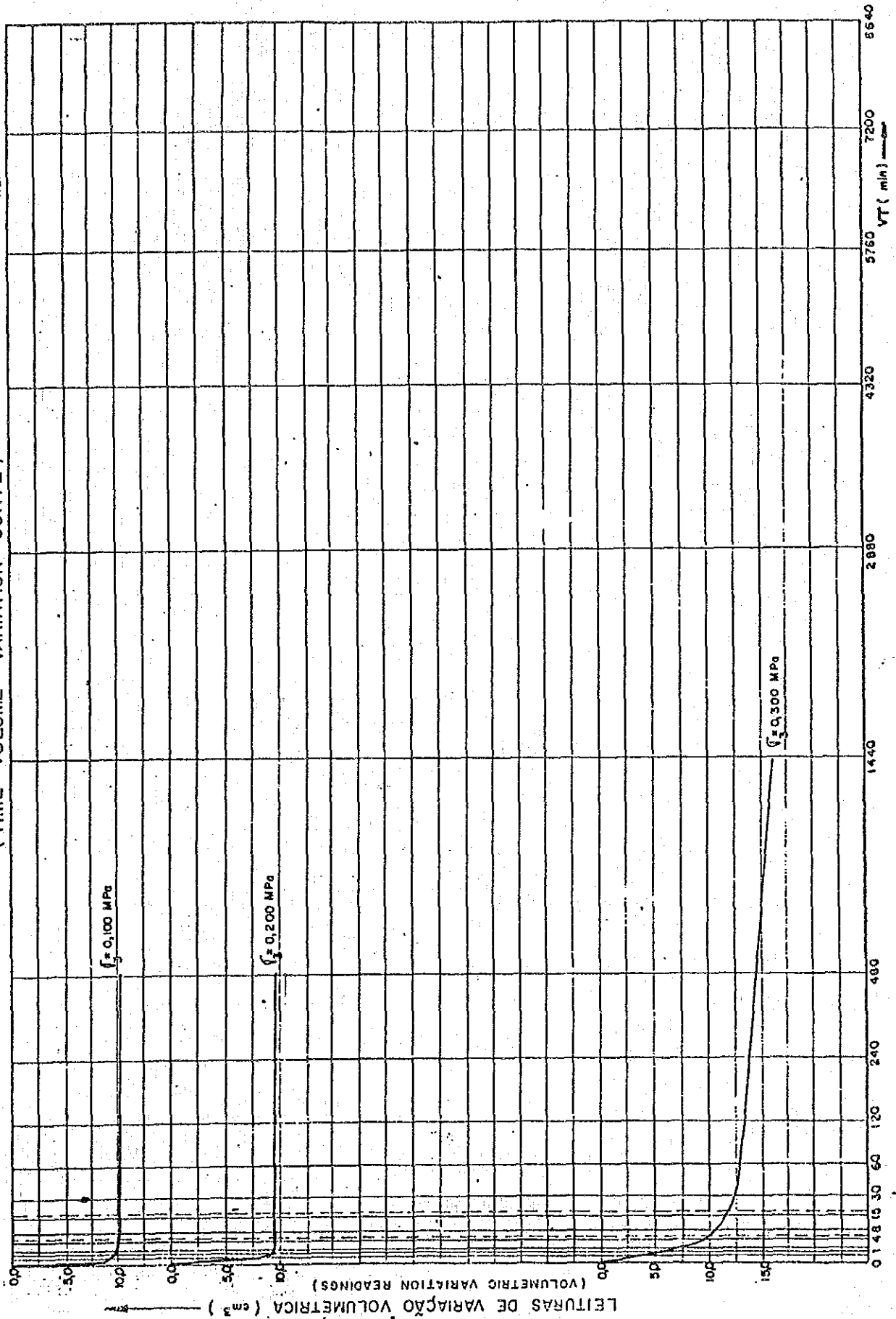
PROFUNDIDADE (DEPTH) 3,50 - 4,50 m

Site : Floodway to Navegantes Coast (Fa-1)

# Triaxial Compression Test

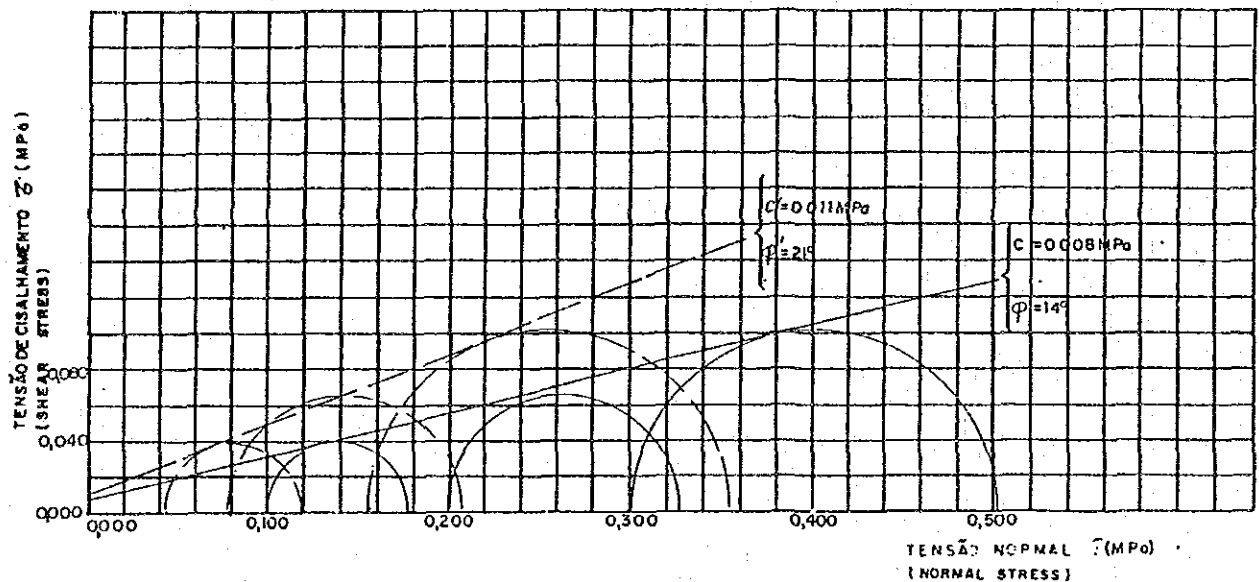
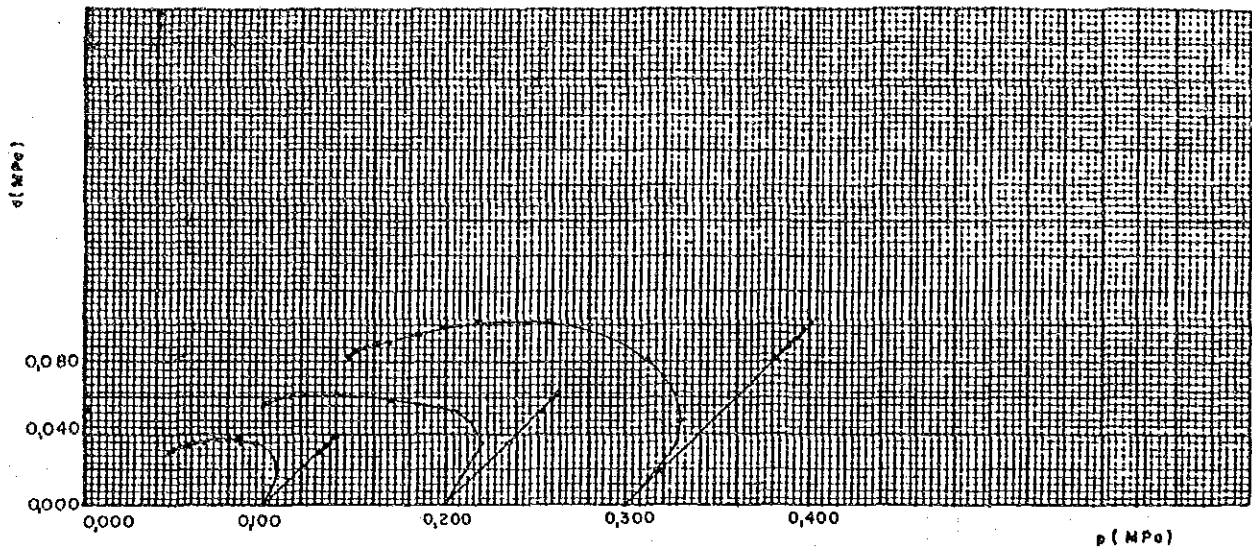
## CURVA TEMPO - VARIAÇÃO DE VOLUME (TIME - VOLUME VARIATION CURVE)

TRIAXIAL  $\bar{\sigma}_3$



Site : Floodway to Navegantes Coast (Fa-1)

# Triaxial Compression Test



CP	$h_i$ (%)	$\gamma_{hi}$ (kg/m <sup>3</sup> )	$H_i$ (cm)	$D_i$ (cm)	$e_i$	$S$ (%)	$e_c$	$\bar{\sigma}_c$ (MPa)	$(\bar{\sigma}_3)_i$ (MPa)	$(\bar{\sigma}_3)_f$ (MPa)	$(\bar{\sigma}_1)_i$ (MPa)	$(\bar{\sigma}_1)_f$ (MPa)	$(\bar{\sigma}_1 - \bar{\sigma}_3)_i$ (MPa)	$(\bar{\sigma}_1 - \bar{\sigma}_3)_f$ (MPa)	$(\bar{\sigma}_1 / \bar{\sigma}_3)_f$	$(A)_i$	$(\epsilon_A)_i$ (%)	$(\mu)_i$ (MPa)
1	17,3	1,767	9,95	5,08	0,73	62	0,83	0,100	0,100	0,043	0,119	0,076	2,77	0,75	1,01	0,057		
2	17,1	1,786	9,95	5,06	0,71	63	0,80	0,200	0,200	0,078	0,205	0,127	2,63	0,96	2,04	0,122		
3	17,5	1,770	9,96	5,07	0,73	63	0,72	0,300	0,300	0,156	0,358	0,202	2,29	0,71	2,03	0,144		

## LEGENDA

$h$ — UNIDADE (MOISTURE CONTENT)	$\bar{\sigma}_3$ — TENSÃO PRINCIPAL MENOR TOTAL (MINOR PRINCIPAL TOTAL STRESS)
$\gamma$ — PESO ESPECÍFICO APARENTE ÚMIDO (WET UNIT WEIGHT)	$\bar{\sigma}_3$ — TENSÃO PRINCIPAL MENOR EFETIVA (MINOR PRINCIPAL EFFECTIVE STRESS)
$H$ — ALTURA DO CORPO DE PROVA (SPECIMEN HEIGHT)	$\bar{\sigma}_1$ — TENSÃO PRINCIPAL MAIOR EFETIVA (MAJOR PRINCIPAL EFFECTIVE STRESS)
$D$ — DIÂMETRO DO CORPO DE PROVA (SPECIMEN DIAMETER)	$\bar{\sigma}_1 - \bar{\sigma}_3$ — DIFERENÇA ENTRE AS TENSÕES PRINCIPAIS MAIOR E MENOR (DEVIATOR STRESS)
$e$ — ÍNDICE DE VAZIOS (VOID RATIO)	$\bar{\sigma}_1 / \bar{\sigma}_3$ — RAZÃO ENTRE TENSÕES PRINCIPAIS EFETIVAS (PRINCIPAL EFFECTIVE STRESSES RATIO)
$S$ — GRAU DE SATURAÇÃO (DEGREE OF SATURATION)	$A$ — PARÂMETRO "A" DE PRESSÃO NEUTRA (PORE PRESSURE PARAMETER A)
$i$ — CONDIÇÕES INICIAIS (INITIAL CONDITIONS)	$\epsilon_A$ — DEFORMAÇÃO AXIAL ESPECÍFICA (AXIAL STRAIN)
$e_c$ — ÍNDICE DE VAZIOS APÓS O ADENSAMENTO (VOID RATIO AFTER CONSOLIDATION)	$\mu$ — TENSÃO NEUTRA (PORE PRESSURE)
$\bar{\sigma}_c$ — PRESSÃO EFETIVA DE ADENSAMENTO (CONSOLIDATION EFFECTIVE PRESSURE)	$f$ — CONDIÇÕES NA ROTURA (FAILURE CONDITIONS)

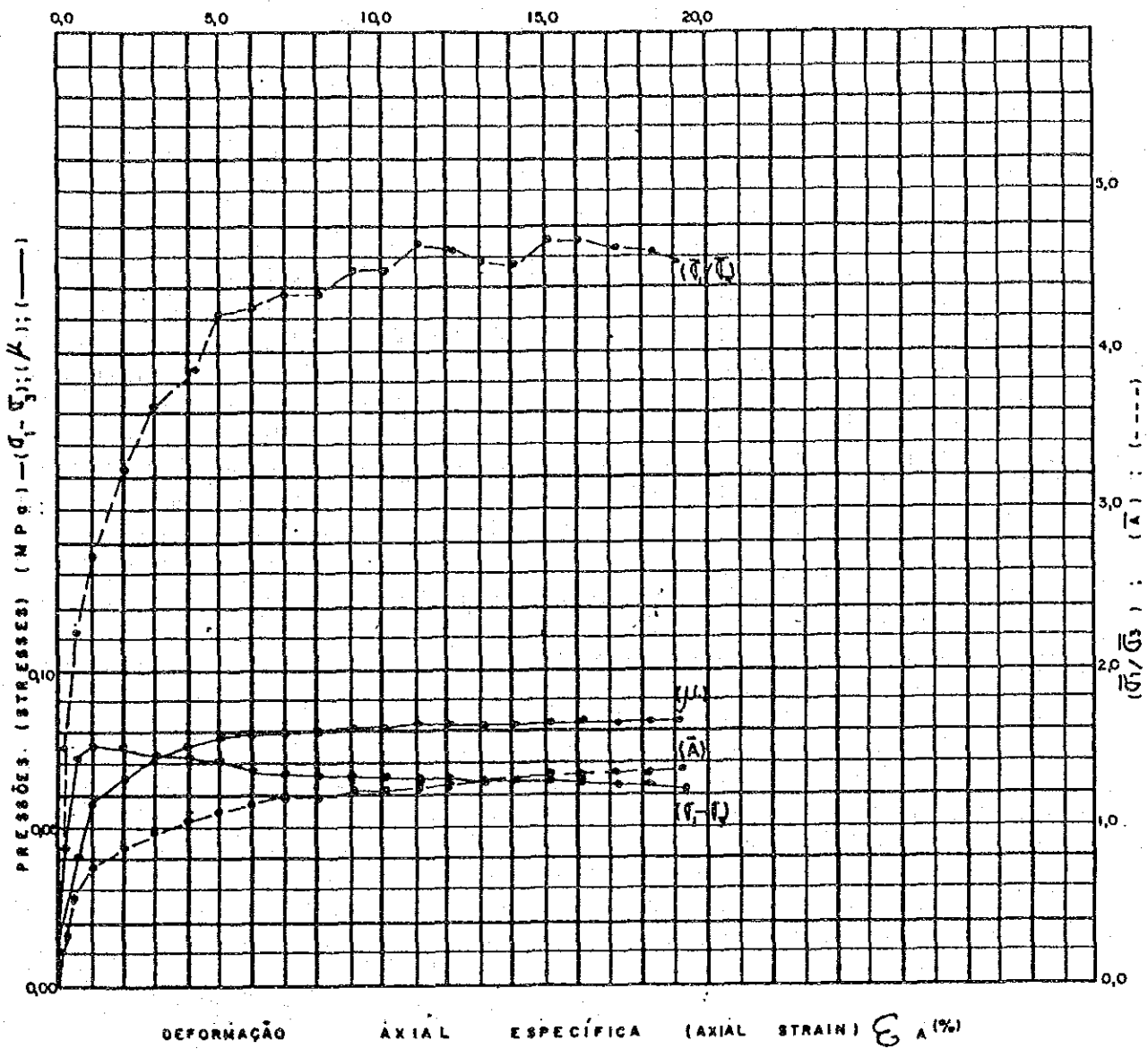
Cliente (Client) JICA

Furo: (Boring) Fa-2 Prof. (m): (Depth) 5,00-600 Des. (Drift by) Adriano Des. n.º: (Drawn) 223.847 Ref.: 00000000

Site: Floodway to Navegantes Coast (Fa-2)



# Triaxial Compression Test



TIPO (TYPE) ADENSADO RÁPIDO CU SATURADO (QUICK CONSOLIDATED)

VELOCIDADE AXIAL (AXIAL VELOCITY)  $0,120 \times 10^{-2}$  mm/s.

CP	N <sub>i</sub>	$\bar{\sigma}_{h1}$	H <sub>i</sub>	D <sub>i</sub>	$\sigma_1$	$\sigma_3$	$\dot{\epsilon}$	$\bar{\sigma}_c$	$(\sigma_3)'$	$(\bar{\sigma}_3)'$	$(\bar{\sigma}_1)'$	$(\sigma_1 - \sigma_3)'$	$(\bar{\sigma}_1/\bar{\sigma}_3)'$	(A)'	$(\epsilon_A)'$	$(\mu)'$
Specimen	(%)	(kg/m <sup>3</sup> )	(cm)	(cm)		(%)		(MPa)	(MPa)	(MPa)	(MPa)	(MPa)			(%)	(MPa)
1	17,3	4767	9,95	5,08	0,73	62	0,83	0,100	0,100	0,043	0,119	0,076	2,77	0,75	1,01	0,057

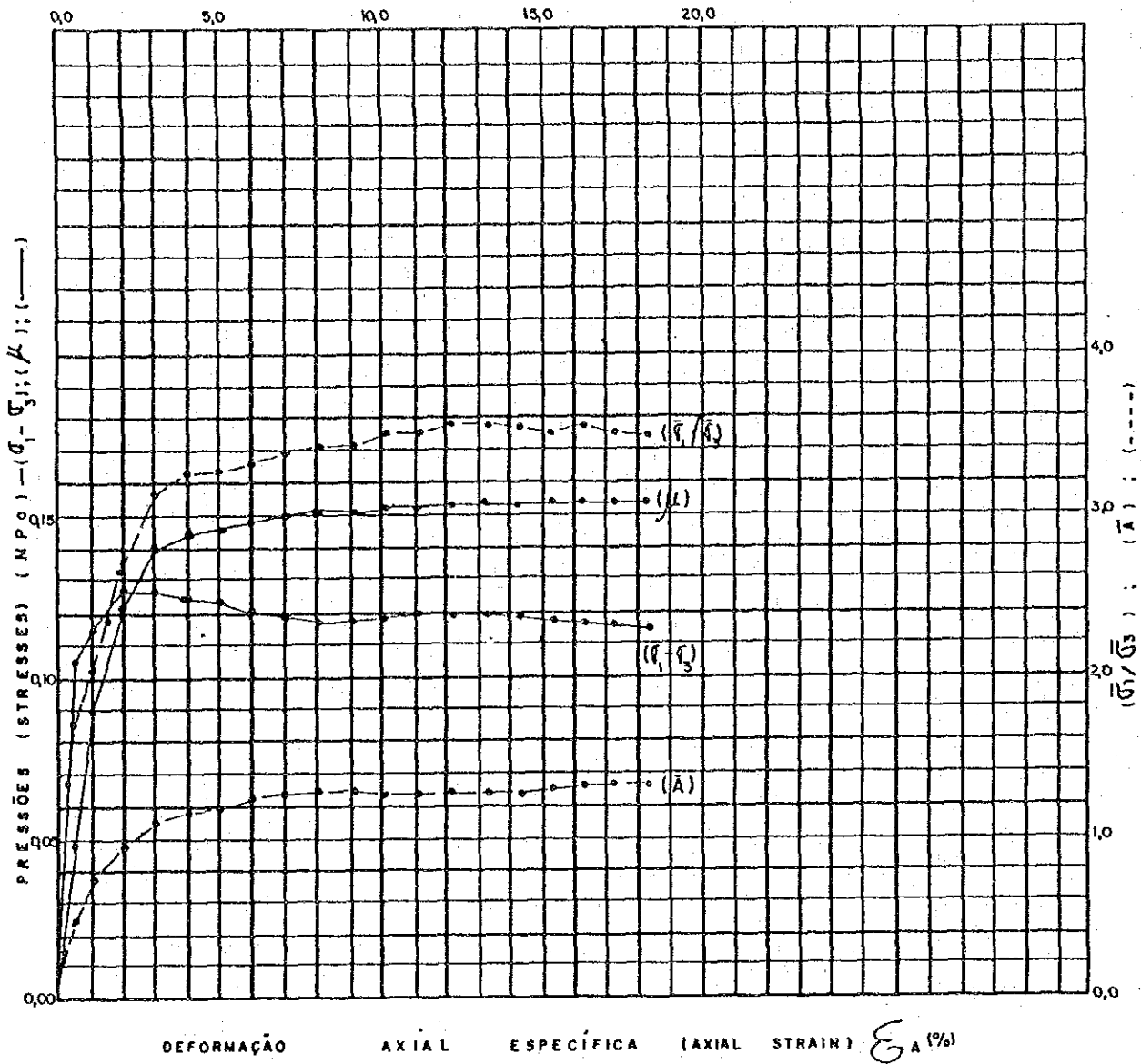
FURO (BORING) Fa-2

AMOSTRA (SAMPLE) 1

PROFUNDIDADE (DEPTH) 5,00-6,00 m

Site : Floodway to Navegantes Coast (Fa-2)

# Triaxial Compression Test



TIPO (TYPE) ADENSADO RÁPIDO CÚ SATURADO (QUICK CONSOLIDATED)

VELOCIDADE AXIAL (AXIAL VELOCITY)  $10,120 \times 10^{-2}$  mm/s.

CP	$h_i$	$\gamma_{h_i}$	$H_i$	$D_i$	$e_i$	$s_i$	$e_c$	$\bar{\sigma}_c$	$(\sigma_3)_i$	$(\bar{\sigma}_3)_i$	$(\bar{\sigma}_1)_i$	$(\sigma_1 - \sigma_3)_i$	$(\bar{\sigma}_1/\bar{\sigma}_3)_i$	(A)	$(e_a)_i$	$(\mu)_i$
Specimen	(%)	(Kg/cm <sup>2</sup> )	(cm)	(cm)		(%)		(MPa)	(MPa)	(MPa)	(MPa)	(MPa)			(%)	(MPa)
2	17,1	1,786	9,95	5,06	0,71	63	0,80	0,200	0,200	0,076	0,205	0,127	2,63	0,96	2,04	0,122

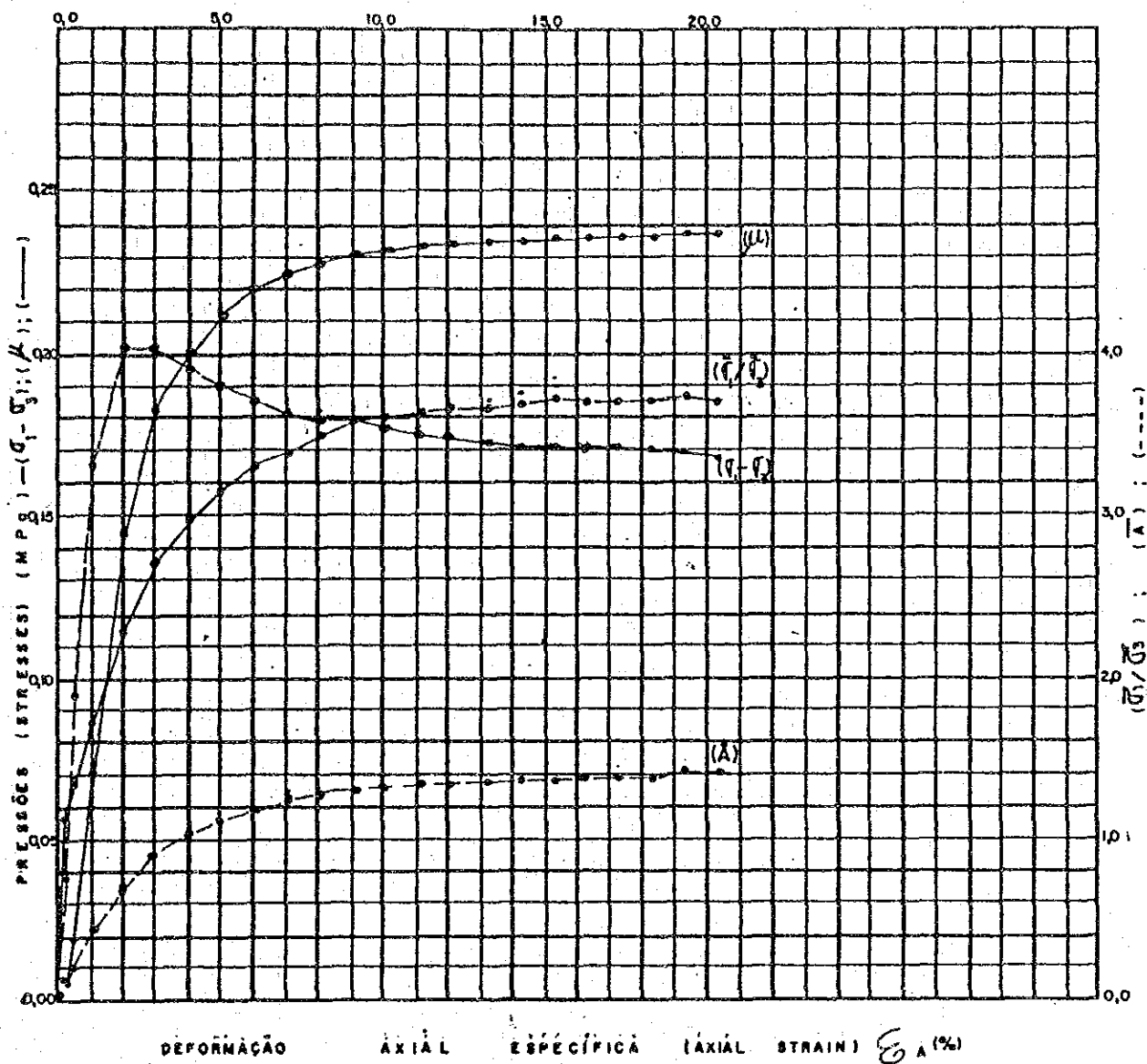
FURO (BORING) Fa-2

AMOSTRA (SAMPLE) 1

PROFUNDIDADE (DEPTH) 5,00-6,00 m

Site : Floodway to Navegantes Coast (Fa-2)

# Triaxial Compression Test



TIPO (TYPE) ADENSADO RÁPIDO C/ SATURADO (QUICK CONSOLIDATED)

VELOCIDADE AXIAL (AXIAL VELOCITY)  $0,120 \times 10^{-2}$  mm/s.

CP	n	$\gamma_h$	H	D	$\sigma_1$	S	$\epsilon$	$\bar{\sigma}_c$	$(\sigma_3)_f$	$(\bar{\sigma}_3)_f$	$(\bar{\sigma}_1)_f$	$(\sigma_1 - \sigma_3)_f$	$(\bar{\sigma}_1/\bar{\sigma}_3)_f$	(A)	$(\epsilon_a)_f$	$(\mu)_f$
Specimen	(%)	(kg/m <sup>3</sup> )	(cm)	(cm)		(%)		(MPa)	(MPa)	(MPa)	(MPa)	(MPa)			(%)	(MPa)
8	17,8	1770	9,98	5,07	0,73	63	0,72	0,300	0,300	0,188	0,888	0,202	2,28	0,71	2,03	0,144

FURO (BORING) F6-2

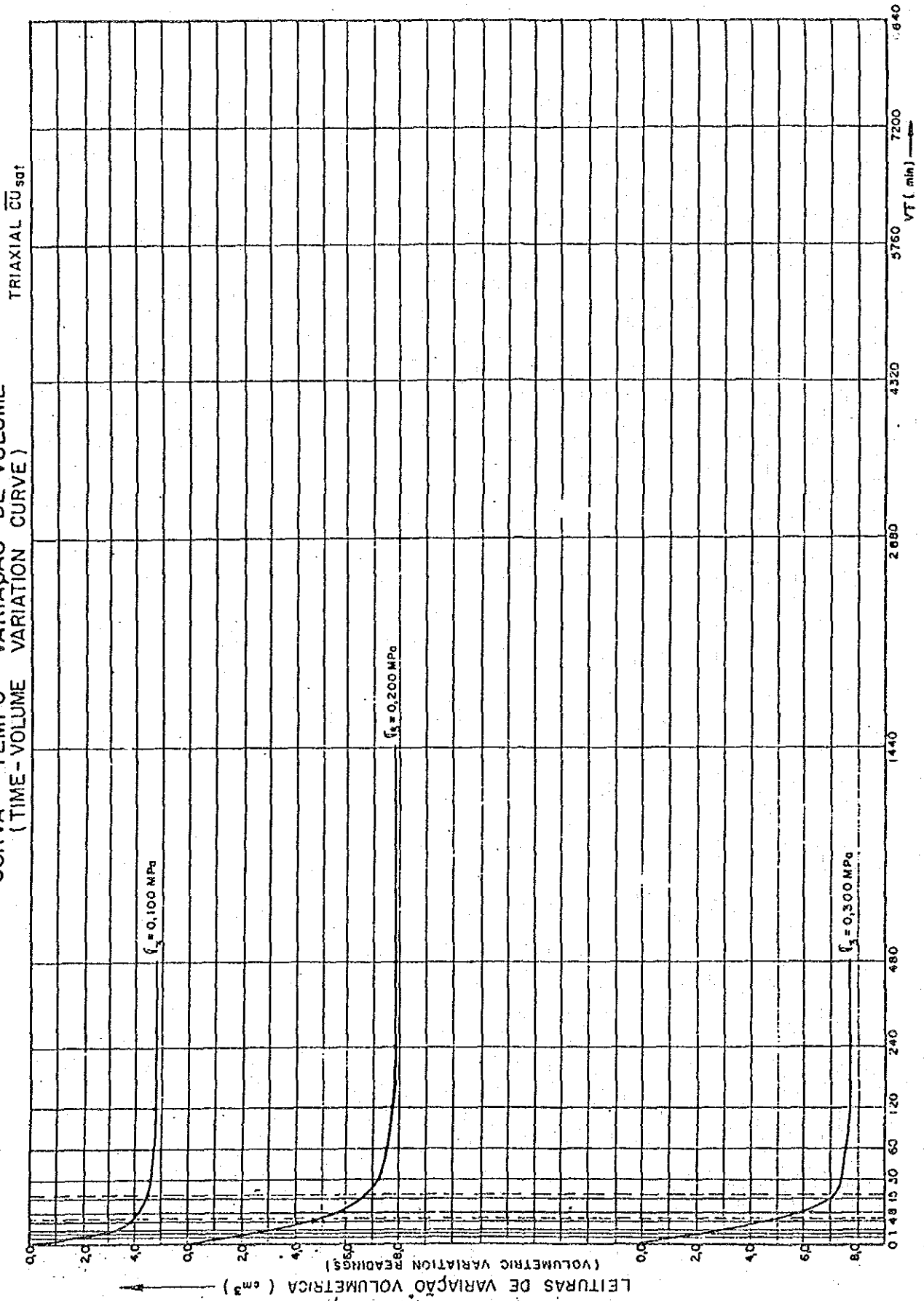
AMOSTRA (SAMPLE) 1

PROFUNDIDADE (DEPTH) 5,00 - 5,00 m

Site : Floodway to Navegantes Coast (Fa-2)

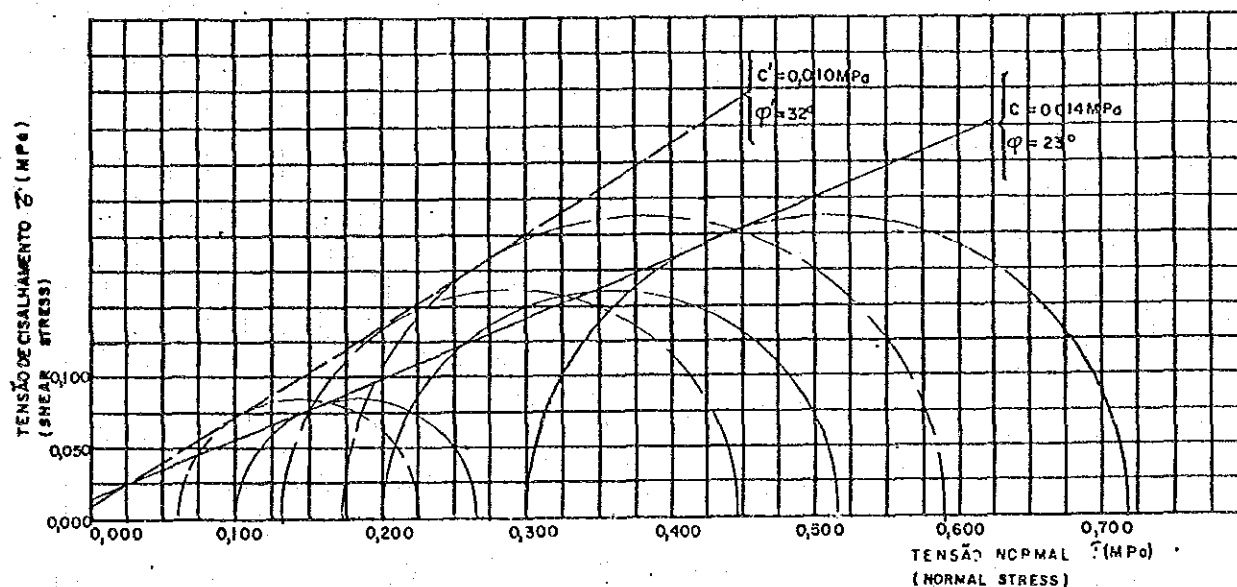
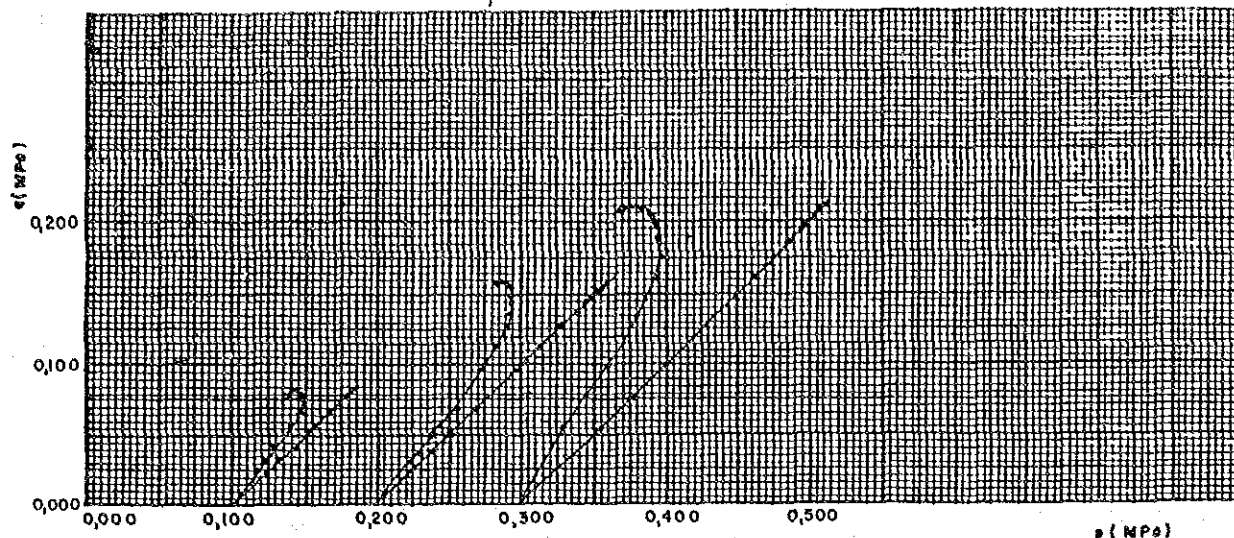
# Triaxial Compression Test

CURVA TEMPO - VARIAÇÃO DE VOLUME  
(TIME - VOLUME VARIATION CURVE)



Site : Floodway to Navegantes Coast (Fa-2)

# Triaxial Compression Test



CP	$h_i$ (%)	$\gamma_{hi}$ (kg/m <sup>3</sup> )	$H_i$ (cm)	$D_i$ (cm)	$e_i$	$S$ (%)	$e_c$	$\bar{\sigma}_c$ (MPa)	$(\bar{\sigma}_3)_i$ (MPa)	$(\bar{\sigma}_3)_f$ (MPa)	$(\bar{\sigma}_1)_f$ (MPa)	$(\bar{\sigma}_1 - \bar{\sigma}_3)_f$ (MPa)	$(\bar{\sigma}_1 / \bar{\sigma}_3)_f$	$(A)_f$	$(\bar{\epsilon}_A)_f$ (%)	$(\mu)_f$ (MPa)
1	26,9	1,779	9,95	5,03	0,85	82	0,84	0,100	0,100	0,060	0,229	0,169	3,81	0,24	10,10	0,040
2	26,9	1,773	9,95	5,04	0,86	81	0,78	0,200	0,200	0,131	0,449	0,318	3,42	0,22	12,22	0,069
3	27,4	1,751	9,92	5,08	0,89	80	0,67	0,300	0,300	0,172	0,591	0,419	3,44	0,31	10,46	0,128

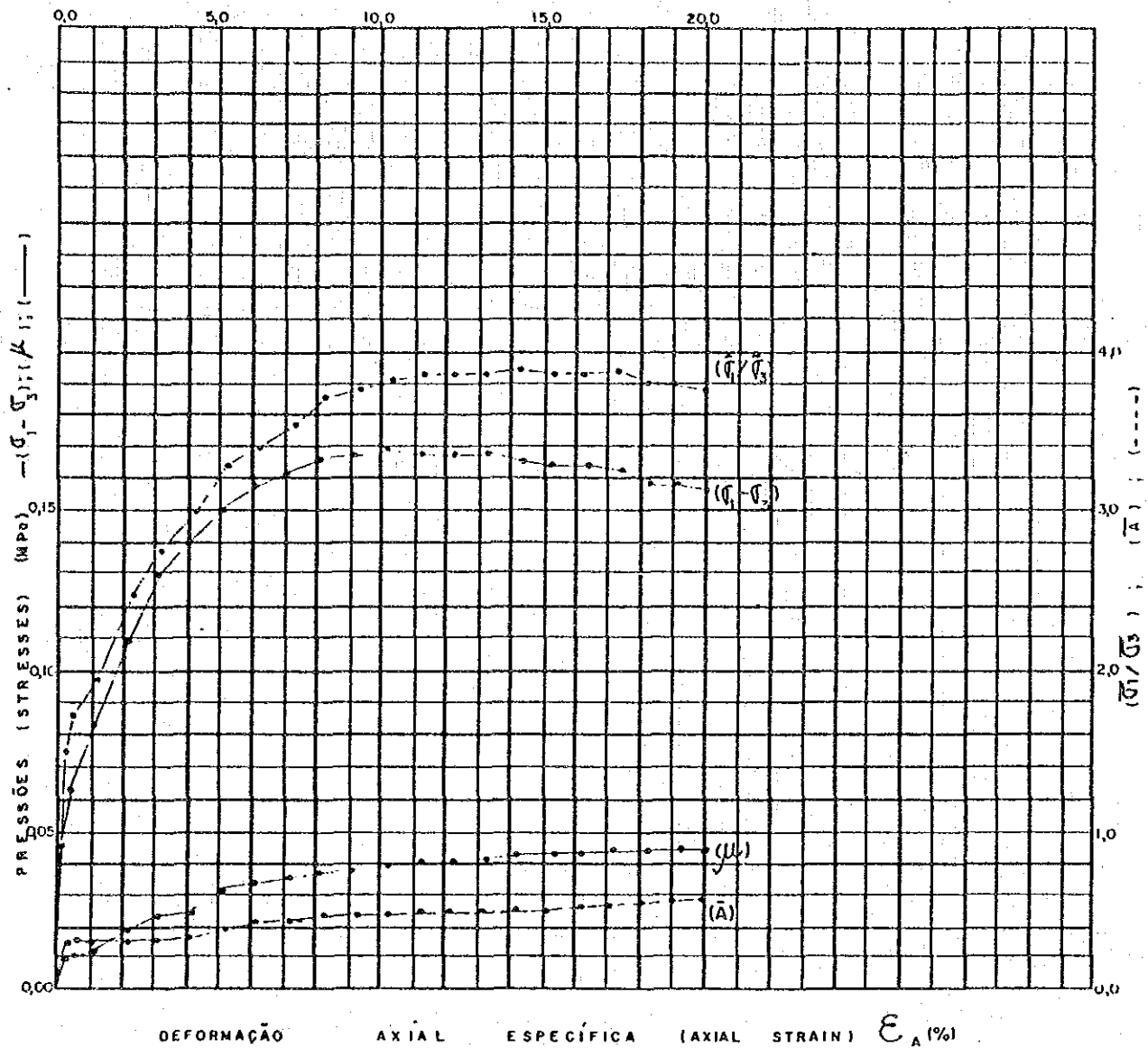
## LEGENDA

- $h$  — UMIDADE (MOISTURE CONTENT)
- $\gamma$  — PESO ESPECÍFICO APARENTE ÚMIDO (WET UNIT WEIGHT)
- $H$  — ALTURA DO CORPO DE PROVA (SPECIMEN HEIGHT)
- $D$  — DIÂMETRO DO CORPO DE PROVA (SPECIMEN DIAMETER)
- $e$  — ÍNDICE DE VAZIOS (VOID RATIO)
- $S$  — GRAU DE SATURAÇÃO (DEGREE OF SATURATION)
- $i$  — CONDIÇÕES INICIAIS (INITIAL CONDITIONS)
- $e_c$  — ÍNDICE DE VAZIOS APÓS O ADENSAMENTO (VOID RATIO AFTER CONSOLIDATION)
- $\bar{\sigma}_c$  — PRESSÃO EFETIVA DE ADENSAMENTO (CONSOLIDATION EFFECTIVE PRESSURE)
- $\bar{\sigma}_3$  — TENSÃO PRINCIPAL MENOR TOTAL (MINOR PRINCIPAL TOTAL STRESS)
- $\bar{\sigma}_3$  — TENSÃO PRINCIPAL MENOR EFETIVA (MINOR PRINCIPAL EFFECTIVE STRESS)
- $\bar{\sigma}_1$  — TENSÃO PRINCIPAL MAIOR EFETIVA (MAJOR PRINCIPAL EFFECTIVE STRESS)
- $\bar{\sigma}_1 - \bar{\sigma}_3$  — DIFERENÇA ENTRE AS TENSÕES PRINCIPAIS MAIOR E MENOR (DEVIATOR STRESS)
- $\bar{\sigma}_1 / \bar{\sigma}_3$  — RAZÃO ENTRE TENSÕES PRINCIPAIS EFETIVAS (PRINCIPAL EFFECTIVE STRESSES RATIO)
- $A$  — PARÂMETRO "A" DE PRESSÃO NEUTRA (PORE PRESSURE PARAMETER A)
- $\bar{\epsilon}_A$  — DEFORMAÇÃO AXIAL ESPECÍFICA (AXIAL STRAIN)
- $\mu$  — TENSÃO NEUTRA (PORE PRESSURE)
- $f$  — CONDIÇÕES NA ROTURA (FAILURE CONDITIONS)

Cliente: (Client)	JICA	Furo: (Boring) Fa - 3	Prof. (m) (Depth) 9,00-10,00	Des. (Dr'g) by <i>[Signature]</i>	Des. n.º (Drawn) 223.852	Ref.:
----------------------	------	--------------------------	---------------------------------	--------------------------------------	-----------------------------	-------

Site : Floodway to Navegantes Coast (Fa-3)

# Triaxial Compression Test



TIPO (TYPE) ADENSADO RÁPIDO CŪ NATURAL (QUICK CONSOLIDATED)

VELOCIDADE AXIAL (AXIAL VELOCITY)  $0,120 \times 10^{-2}$  mm/s.

CP	n <sub>i</sub>	$\bar{\sigma}_{h1}$	H <sub>i</sub>	D <sub>i</sub>	$\sigma_i$	s <sub>i</sub>	$\sigma_c$	$\bar{\sigma}_c$	$(\sigma_3)_f$	$(\bar{\sigma}_3)_f$	$(\bar{\sigma}_1)_f$	$(\sigma_1 - \sigma_3)_f$	$(\bar{\sigma}_1 - \bar{\sigma}_3)_f$	(A) <sub>f</sub>	( $\epsilon_R$ ) <sub>f</sub>	( $\mu$ ) <sub>f</sub>
Specimen	(%)	(kg/m <sup>3</sup> )	(cm)	(cm)		(%)		(MPa)	(MPa)	(MPa)	(MPa)	(MPa)			(%)	(MPa)
1	26,9	1,779	9,95	5,03	0,85	82	0,84	0,100	0,100	0,060	0,229	0,169	3,71	0,24	10,11	0,040

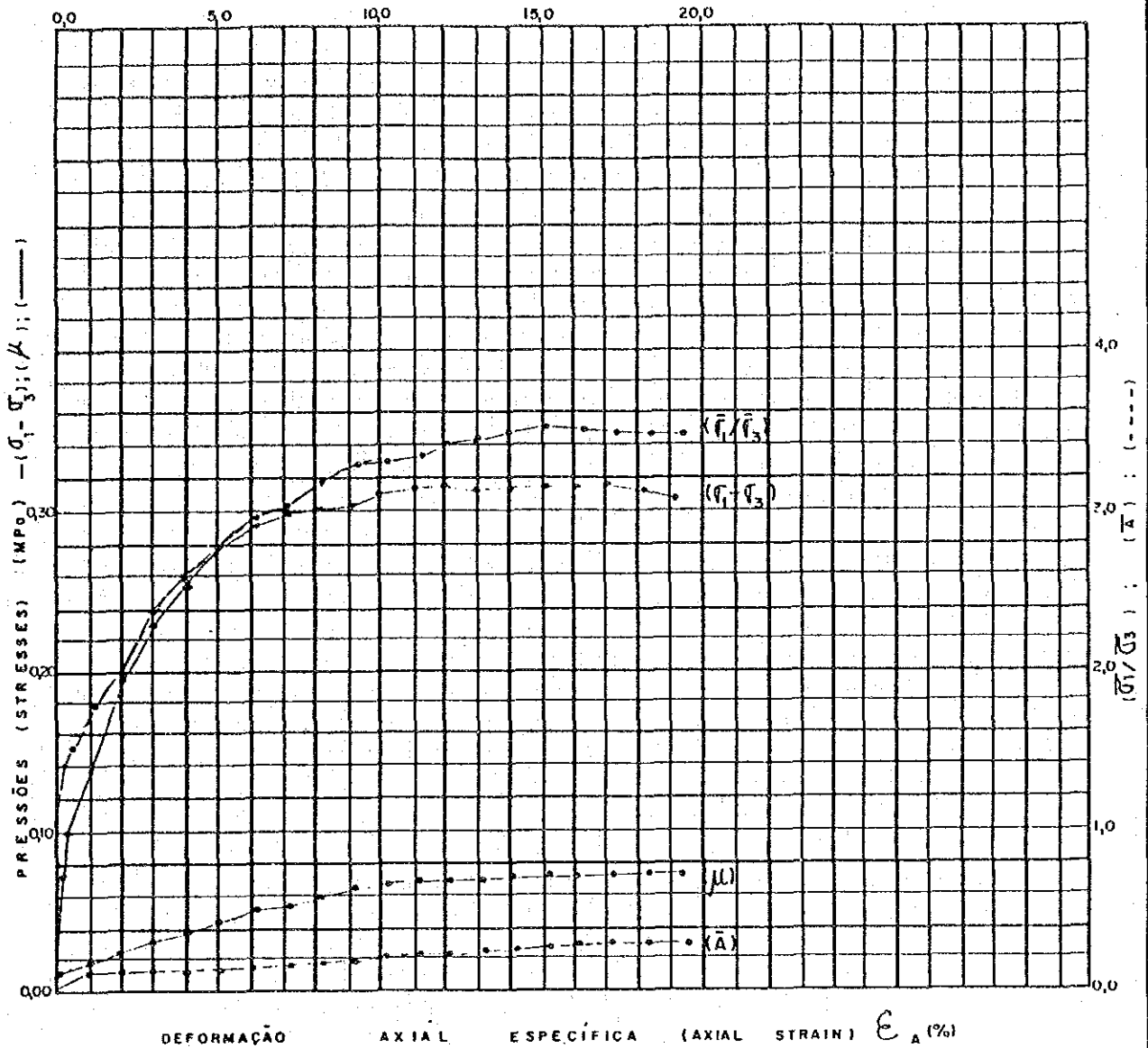
FURO (BORING) Fa - 3

AMOSTRA (SAMPLE) 1

PROFUNDIDADE (DEPTH) 9,00 - 10,00 m

Site : Floodway to Navegantes Coast (Fa-3)

# Triaxial Compression Test



TIPO (TYPE) ADENSADO RÁPIDO CÚ NATURAL (QUICK CONSOLIDATED)

VELOCIDADE AXIAL (AXIAL VELOCITY)  $0,120 \times 10^{-2}$  mm/s.

CP	Ni	$\gamma_{hi}$	$H_i$	$D_i$	$e_i$	$S_i$	$e_c$	$\bar{\sigma}_c$	$(\sigma_3)_f$	$(\bar{\sigma}_3)_f$	$(\bar{\sigma}_1)_f$	$(\sigma_1 - \sigma_3)_f$	$(\bar{\sigma}_1/\bar{\sigma}_3)_f$	$(A)_f$	$(e_a)_f$	$(\mu)_f$
Specimen	(%)	(kg/m <sup>3</sup> )	(cm)	(cm)		(%)		(MPa)	(MPa)	(MPa)	(MPa)	(MPa)			(%)	(MPa)
2	26,9	1,773	9,95	5,04	0,86	81	0,78	0,200	0,200	0,131	0,449	0,318	3,42	0,22	12,22	0,059

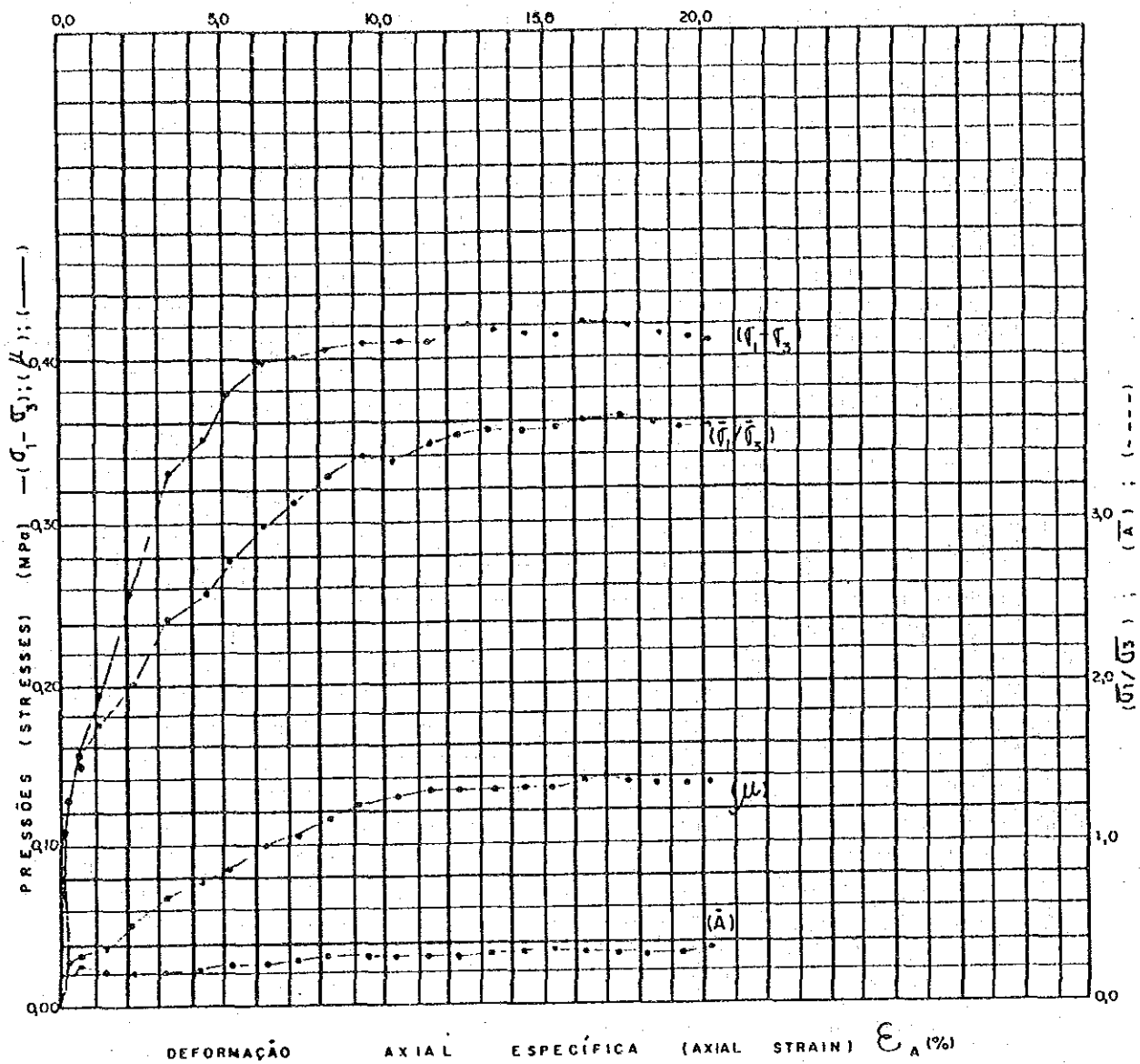
FURO (BORING) F<sub>0</sub> - 3

AMOSTRA (SAMPLE) 11

PROFUNDIDADE (DEPTH) 9,00 - 10,00 m

Site : Floodway to Navegantes Coast (Fa-3)

# Triaxial Compression Test



TIPO (TYPE) ADENSADO RÁPIDO CÚ NATURAL (QUICK CONSOLIDATED)

VELOCIDADE AXIAL (AXIAL VELOCITY)  $0,120 \times 10^{-2}$  mm/s.

CP Specimen	$n_i$ (%)	$\rho_i$ (kg/m <sup>3</sup> )	$H_i$ (cm)	$D_i$ (cm)	$e_i$	$S_i$ (%)	$e_c$	$\bar{\sigma}_c$ (MPa)	$(\sigma_3)_i$ (MPa)	$(\bar{\sigma}_3)_i$ (MPa)	$(\bar{\sigma}_1)_i$ (MPa)	$(\sigma_1 - \sigma_3)_i$ (MPa)	$(\bar{\sigma}_1/\bar{\sigma}_3)_i$	$(A)_i$	$(e_A)_i$ (%)	$(\mu)_i$ (MPa)
3	27,4	1,751	9,92	5,08	0,89	80	0,67	0,300	0,300	0,172	0,591	0,419	3,44	0,31	10,45	0,128

FURO (BORING) Fa-3

AMOSTRA (SAMPLE) 1

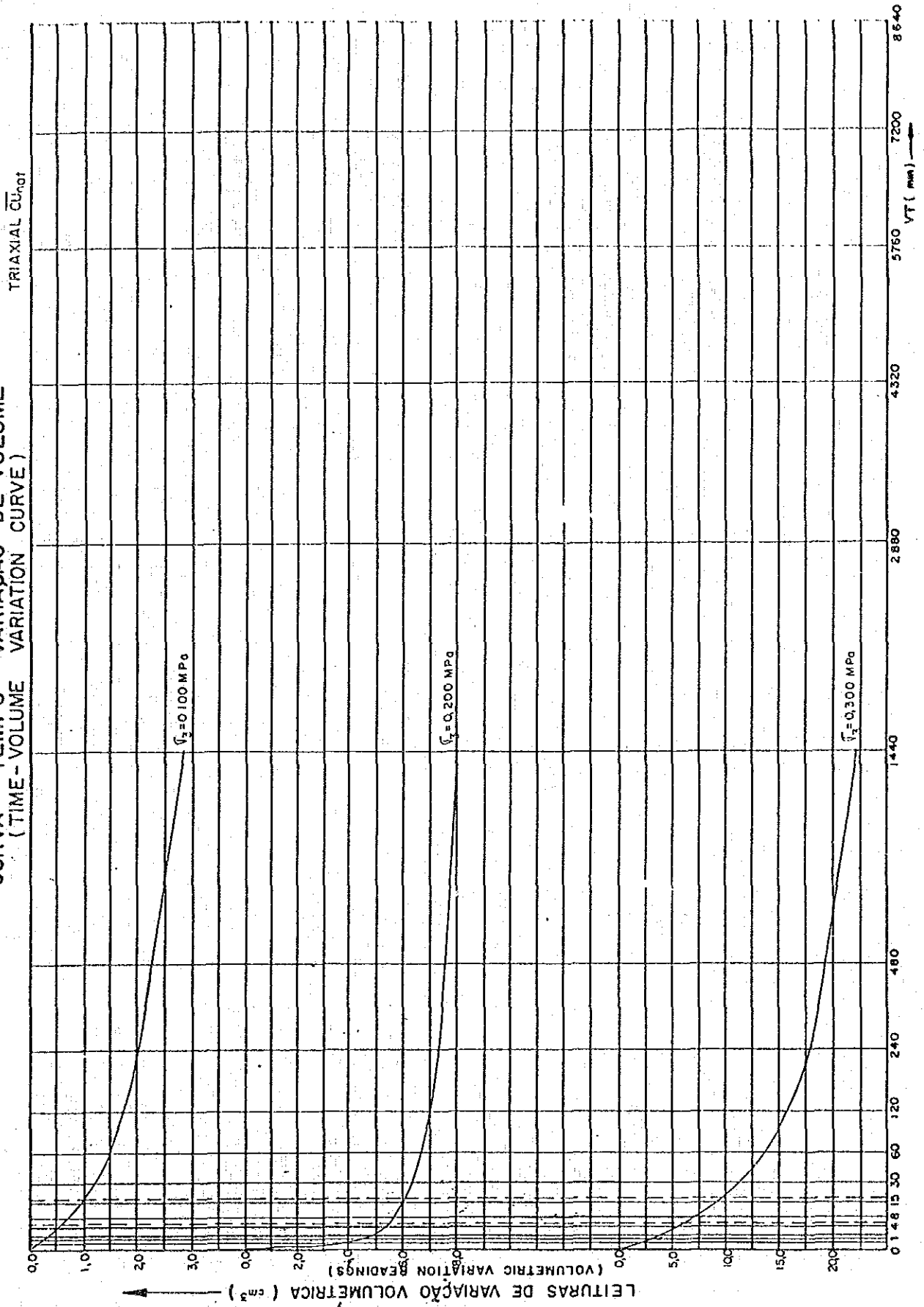
PROFUNDIDADE (DEPTH) 9,00 - 10,00 m

Site : Floodway to Navegantes Coast (Fa-3)



# Triaxial Compression Test

## CURVA TEMPO -- VARIAÇÃO DE VOLUME (TIME - VOLUME VARIATION CURVE)



Site : Floodway to Navegantes Coast (Fa-3)